



پایان نامه کارشناسی ارشد مهندسی برق - گرایش کنترل

کنترل تطبیقی امپدانس سیستم تعليق خودرو

استاد راهنما:

دکتر محمد مهدی فاتح

محقق:

مجید مرادی

تابستان ۸۷

تقدیم:

تقدیم به مردم ایران

لحظه هایست که آدمی را هیچ و پوچ می کند لحظه هایست که انسان را فرسوده و خسته از زندگانی می کند، لحظه هایست که عمر ما را به پایان می رسانند و لحظه هایست که انسان را فریب می دهد ببایید از پس لحظه ها بگریزیم به امید لحظه بعدی زندگی نکنیم اینگونه بیاندیشیم که انگار لحظه بعدی در راه نیست واز همین لحظه لذت ببریم نه به امید لحظه بعدی

«انسان ببیشه به جایی می رسد که از ابتدا شروع کرده بود و لیکن چیزی داین کردش در حال تکامل است و آن اندیشه بشری است»

تشکر و قدردانی:

با تشکر از استاد گرانقدر جناب آقای دکتر محمد مهدی فاتح که در تمام مراحل انجام این پایان نامه
مرا یاری نمودند از خداوند متعال برای ایشان آرزوی موفقیت، بهروزی وسلامتی را خواهانم.

چکیده

سیستم تعليق فعال بین خواسته های مطلوب ولی متضاد شامل راحتی سفر و کنترل رانندگی تعادل برقرار می نماید سیستم کنترل پیشنهادی دارای دو حلقه کنترل نیرو و کنترل موقعیت است در حلقه کنترل موقعیت از کنترل کننده تطبیقی مدل مرجع به منظور ردیابی خروجی استفاده می شود این کنترل کننده دارای عملکردی مقاوم در مقابل پارامتر های متغیر با زمان جرم بدنه و ضریب سختی لاستیک چرخ است مدل مرجع که توسط قانون کنترل امپدانس تعریف می شود، رابطه مطلوبی را بین جابجایی بدنه و نیروی ناشی از اغتشاشات جاده برقرار می کند در این کنترل کننده از سیگنال های جابجایی بدنه و شتاب بدنه استفاده شده است در حلقه کنترل نیروی محرک هیدرولیکی، روش مود لغزشی برای مقاوم کردن سیستم در مقابل عدم قطعیت ها بکار رفته است مقایسه این روش با کنترل تنااسبی نشان می دهد که روش پیشنهادی در مقابل عدم قطعیت های محرکه مقاوم تر بوده و به خطای ردگیری کمتری منجر می شود.

پایداری سیستم بررسی شده است و نتایج شبیه سازی تایید می نمایند که کنترل تطبیقی امپدانس سیستم تعليق خودرو در مقابل عدم قطعیت های پارامتری مقاوم بوده و عملکرد مطلوبی دارد.

كلمات کلیدی: سیستم تعليق فعال، کنترل تطبیقی، روش مود لغزشی، کنترل امپدانس

فهرست مطالب

عنوان	صفحة
بسم ا	آ.....
تقدیم	ت.....
تشکر	ث.....
چکیده	ج.....
فهرست مطالب	ح.....
فهرست شکل ها	ذ.....
فهرست جداول ها	س.....
علامی و نشانه ها	ش.....

۱

فصل اول مقدمه

۱-۱	مقدمه	۲.....
۲-۱	سیستم تعلیق و انواع آن	۳.....
۳-۱	نامعینی در سیستم های تعلیق	۸.....
۴-۱	مروری بر پایان نامه	۱۰.....

۱۲

فصل دوم دینامیک سیستم تعلیق و محرکه

۱-۲	سیستم تعلیق	۱۳.....
۲-۲	محرك هیدرولیکی	۱۵.....
۱-۲-۲	نگاه کلی به سیستمهای هیدرولیک	۱۵.....

۱۷ ۲-۲-۲) نحوه کار محرک هیدرولیکی

فصل سوم کنترل امپدانس

۲۱ ۱-۳) کنترل امپدانس

فصل چهارم استراتژی کنترل

۲۵ ۱-۴) استراتژی کنترل

فصل پنجم کنترل تطبیقی

۳۰ ۱-۵) مقدمه

۳۰ ۲-۵) مفاهیم اساسی در کنترل تطبیقی

۳۲ ۱-۲-۵) انواع کنترل کننده های تطبیقی

۳۲ ۲-۲-۵) جدولبندی بهره

۳۳ ۳-۲-۵) تخمین پارامتر

۳۳ ۱-۳-۲-۵) حداقل مربعات

۳۴ ۴-۲-۵) رگولاتورهای خود تنظیم

۳۵ ۵-۲-۵) کنترل تطبیقی مدل-مرجع

۳۶ ۱-۵-۲-۵) قاعده MIT

۴۱ ۲-۵-۲-۵) مکانیسم تخمین پارامترها

۴۶ ۳-۵) کنترل تطبیقی مقاوم

۴۷ ۱-۳-۵) کنترل مقاوم

۴۸ ۲-۳-۵) شناسایی مقاوم

۵۱	کنترل تطبیقی مدل مرجع مقاوم ۳-۳
۵۴	۴-۳) تحلیل سیستم و کنترل کننده ۵

۵۶

فصل ششم مود لغزشی

۵۷	۱-۶) مود لغزشی ۶
۵۷	۱-۱) طراحی مود لغزشی برای سیستم های یک ورودی ۶
۵۸	۲-۱) شرایط وجود حرکت لغزشی ۶
۵۹	۲-۶) روش کنترل معادل ۶
۶۱	۳-۶) پیاده سازی مود لغزشی بر روی محرکه ۶
۶۴	۴-۶) لرزش کنترل ۶

۶۶

فصل هفتم عملکرد سیستم و نتایج

۶۷	۱-۷) عملکرد سیستم و نتایج ۷
۶۸	۲-۷) شبیه سازی سیستم کنترل با استفاده از مود لغزشی ۷
۷۴	۳-۷) شبیه سازی سیستم کنترل با استفاده از مود لغزشی با در نظر گرفتن عدم قطعیت ۷
۸۰	۴-۷) شبیه سازی سیستم کنترل با وارد کردن محرکه هیدرولیکی به سیستم حلقه بسته با استفاده از کنترل کننده تناسبی ۷
۸۴	۵-۷) مقایسه روش ها ۷

۸۵

فصل هشتم نتایج و پیشنهادات

۸۶	۱-۸) نتایج و پیشنهادات ۸
۸۹	مراجع
۸۹	مراجع ۸

فهرست شکل ها

شکل (۱-۱): (a) سیستم تعلیق غیر فعال (b) تعلیق نیمه فعال (c) تعلیق فعال ۵
شکل (۱-۲): مدل سیستم تعلیق ۱۳
شکل (۲-۲): محرک هیدرولیکی ۱۸
شکل (۴-۱) : ساختار کنترل کننده با در نظر گرفتن محرک و حذف اغتشاش ۲۷
شکل (۴-۲) : ساختار کنترل کننده با در نظر گرفتن محرک ۲۸
شکل (۵-۱): نمودار بلوکی یک رگولاتور خود تنظیم ۳۵
شکل (۵-۲): نمودار بلوکی سیستم تطبیقی مدل مرجع ۳۵
شکل (۳-۵): ساختار کنترل کننده ۳۹
شکل (۴-۵): ساختار کلی سیستم و کنترل کننده ۴۱
شکل (۱-۶) سطح لغزش ۵۷
شکل (۱-۷): بلوک دیاگرام سیستم تعلیق فعال به همراه محرکه و کنترل کننده ۶۷
شکل (۲-۷): بلوک دیاگرام محرکه هیدرولیکی ۶۷
شکل (۳-۷): دست انداز جاده ۶۹
شکل (۴-۷): ردگیری خروجی سیستم و خروجی مدل مرجع ۶۹
شکل (۵-۷): خطای بین خروجی سیستم و خروجی مدل مرجع ۷۰

..... شکل (۶-۷): جابجایی سیستم تعليق در حالت فعال و غير فعال	70
..... شکل (۷-۷): جابجایی چرخ	71
..... شکل (۸-۷): جابجایی بدنه	71
..... شکل (۹-۷): شتاب بدنه	72
..... شکل (۱۰-۷): نیروی محاسبه شده مطلوب و نیروی محرکه	72
..... شکل (۱۱-۷): خطای ردگیری نیرو	73
..... شکل (۱۲-۷): جریان ورودی محرکه	73
..... شکل (۱۳-۷): پارامتر های کنترلر	74
..... شکل (۱۴-۷): ردگیری خروجی با عدم قطعیت	75
..... شکل (۱۵-۷): خطای ردگیری با عدم قطعیت	75
..... شکل (۱۶-۷): جابجایی سیستم تعليق در حالت فعال و غير فعال با عدم قطعیت	76
..... شکل (۱۷-۷): جابجایی چرخ با عدم قطعیت	76
..... شکل (۱۸-۷): جابجایی بدنه با عدم قطعیت	77
..... شکل (۱۹-۷): شتاب بدنه با عدم قطعیت	78
..... شکل (۲۰-۷): نیروی محاسبه شده مطلوب و نیروی محرکه با عدم قطعیت	78
..... شکل (۲۱-۷): خطای ردگیری نیرو با عدم قطعیت	79
..... شکل (۲۲-۷): پارامتر های کنترلر با عدم قطعیت	79
..... شکل (۲۳-۷): ردگیری خروجی سیستم و خروجی مدل مرجع	80
..... شکل (۲۴-۷): خطای بین خروجی سیستم و خروجی مدل مرجع	80
..... شکل (۲۵-۷): جابجایی سیستم تعليق در حالت فعال و غير فعال	81

۸۱ شکل (۲۶-۷): جابجایی چرخ
۸۲ شکل (۲۷-۷): جابجایی بدن
۸۳ شکل (۲۸-۷): شتاب بدن
۸۴ شکل (۲۹-۷): ردگیری نیرو
۸۵ شکل (۳۰-۷): پارامتر های کنترلر

فهرست جدول ها

- جدول(۱-۲): خلاصه ای از مشخصه های محرکه ها ۱۶
- جدول(۷-۱): مقادیر پارامتر های سیستم شبیه سازی شده ۶۶

علام و نشانه ها

k_{sv}	بهره جریان شیر راهنما
w	پهنهای شیر کنترل
τ	ثابت زمانی شیر راهنما
z_s	جابجایی عمودی بدن
z_r	جابجایی عمودی جاده
z_u	جابجایی عمودی چرخ
m_s	جسم بدن
m_u	جسم چرخ
i_{sv}	جریان ورودی محرک
ρ	چگالی سیال هیدرولیک
V_t	حجم محرک
A_p	سطح مقطع پیستون
C_d	ضریب تخلیه
k_t	ضریب سختی چرخ

K_s	ضریب سختی فنر
β_e	ضریب کشیدگی سیال هیدرولیک
b_t	ضریب میرایی چرخ
b_s	ضریب میرایی دمپر
C_{tp}	ضریب نشت
P_r	فشار روغن برگشتی
P_u	فشار روغن در بالای سیلندر
P_l	فشار روغن در پایین سیلندر
P_s	فشار منبع هیدرولیک
x_{sp}	موقعیت شیرراهنما (سوزنی)
f_a	نیروی محرکه

فصل اول:

مقدمه

۱-۱ مقدمه

هنگامی که مردم در مورد کارایی اتومبیل فکر می کنند، معمولاً کلماتی نظیر: اسب بخار، گشتاور و شتاب صفر تا صد به ذهن شان خطور می کند. ولی اگر راننده نتواند خودرو را کنترل کند، همه قدرتی که توسط موتور ایجاد می گردد، بدون استفاده است. به همین دلیل، مهندسین خودرو تقریباً از هنگامی که به فناوری موتورهای احتراق داخلی چهار زمانه دست پیدا کردند، توجهشان به سیستم تعليق معطوف گردید.



كار تعليق خودرو، در به حداکثر رسانیدن اصطکاک بين لاستیک و سطح جاده، برای فراهم آوردن هدایت پایدار، دست فرمان خوب و اطمینان از اینکه سرنشینان در راحتی به سر می برند، خلاصه می شود. اگر جاده ها کاملاً صاف بودند و بدون هیچ دست اندازی، ما نیازی به سیستم تعليق نداشتمیم. ولی جاده ها از صاف بودن فاصله زیادی دارند. حتی جاده هایی هم که به تازگی آسفالت شده اند، دارای ناصافی هایی جزئی هستند که می توانند بر چرخ های خودرو تاثیر بگذارند. این ناصافی ها بر

چرخ ها نیرو وارد می کنند و طبق قوانین حرکت نیوتن، همه نیروها جهت و اندازه دارند. یک دست انداز باعث می شود تا چرخ به صورت عمودی بر سطح جاده بالا و پایین برود. البته نیرو به بزرگی و کوچکی دست انداز بستگی دارد. بدون یک نظام مداخله کننده، همه انرژی عمودی چرخ، به شاسی که در همان جهت در حال حرکت است انتقال می یابد. در چنین شرایطی، ممکن است که چرخ ها به طور کامل از جاده جدا شده و سپس، تحت نیروی جاذبه، مجدداً با سطح جاده برخورد کنند. چیزی که نیاز داریم، سیستمی است که انرژی چرخ را (که دارای شتاب عمودی است) در حال عبور از دست انداز، جذب کرده و به شاسی و بدن اجازه دهد تا به راحتی حرکت کنند.

مطالعه نیروهای موجود در یک خودروی متحرک را دینامیک خودرو می نامند، و برای درک بهتر ضرورت وجود یک سیستم تعلیق، در وحله اول، نیاز به دانستن بعضی مفاهیم می باشد. اکثر مهندسان اتومبیل، دینامیک خودروی متحرک را از دو دیدگاه بررسی می کنند[۴]:

- سواری : توانایی خودرو برای به نرمی عبور کردن از یک جاده پر دست انداز.
- دست فرمان : امنیت خودرو در شتاب، ترمز و در پیچ ها و دورها .

۱-۲ سیستم تعلیق و انواع آن :

سیستم تعلیق خودرو به مجموعه ای از قطعات اطلاق می شود که بدن وسیله نقلیه را به چرخ متصل می کنند. وظیفه اصلی این سیستم کاهش اثر ناهمواری های مسیر بر اجسام یا افراد درون اتومبیل است. در خودرو های سواری این سیستم یک مجموعه فنر و کمک فنر است. فنر انرژی اعمالی از طرف جاده به چرخ را ذخیره و آزاد می کند و بدین ترتیب مانع از تغییر شتاب ناگهانی در بدن در اثر دست انداز های جاده می شود. کمک فنر نیز به میرا شدن هر گونه نوسانات که به دلایلی نظیر ترمز گرفتن، شتاب گرفتن خودرو یا دست انداز جاده در بدن خودرو ایجاد می شود کمک می کند.

عامل دیگری که بر کیفیت نوسانات و کیفیت شتاب خودرو موثر است، ساختمان چرخ ها و لاستیک هاست. عملکرد لاستیک به واسطه خاصیت ارجائی همانند یک فنر است. و این بخصوص در خودرو های سواری منجر به نوسان های فرکانس بالا می شود. برای حذف این نوسانات معمولاً از اتصالات دارای خاصیت ارجائی بین چرخ و محور استفاده می شود. که مانند ضربه گیر عمل می کنند. بنابراین نیروی اعمالی به چرخ ها از طرف دست انداز های جاده، بین سیستم تعليق و بدنه خودرو تقسیم می شود. هر اندازه که سیستم تعليق بتواند انرژی بیشتری در خود ذخیره کند و جابجا شود راحتی سرنشین بیشتر تامین می شود. ولی بدلیل کراندار بودن میزان جابجایی مجموعه فنر و کمک فنر، سیستم تعليق نمی تواند بیش از حد مجاز کشیده یا فشرده شود. و یک تقابل ذاتی بین کاهش شتاب عمودی بدنه و افزایش جابجایی سیستم تعليق وجود دارد. که هنگام طراحی کنترل کننده باید مورد توجه قرار گیرد. کار یک سیستم تعليق برای یک خودرو بهبود راحتی سفر، افزایش تماس چرخ با جاده و کاهش تغییر مکان سیستم تعليق با کنترل نسبی موقعیت و جابجایی بین جرم معلق(جرم بدنه) و جرم نامعلق(جرم چرخ هاو فنرها) می باشد. عملکرد مطلوب با تعادل برقرار کردن بین این خواسته ها بدست می آید[۴].

برای راحتی سفرخوب^۱، نیاز به یک سیستم تعليق نرم^۲ برای کاهش اثر فرکانس های بالای ناشی از ناهمواری های جاده بر بدنه خودرو داریم. رانندگی خوب نیازمند یک سیستم تعليق محکم^۳ برای افزایش افزایش تماس چرخ با جاده است. هدف یک سیستم تعليق کنترل شتاب بدنه به منظور بهبود کاهش تغییر مکان سیستم تعليق می باشد[۵]. عملکرد خوب سیستم تعليق با طراحی کنترلری که بر مینیمم کردن شتاب بدنه، وقتی که جابجایی سیستم تعليق کوچک است و مینیمم کردن جابجایی سیستم تعليق، وقتی که با محدودیت جابجایی روبرو می شویم متمرکز شود بدست می آید[۶].

^۱Ride comfort

^۲Soft suspension

^۳Firm suspension

بطور کلی سیستم تعليق به سه دسته تقسیم می شود :

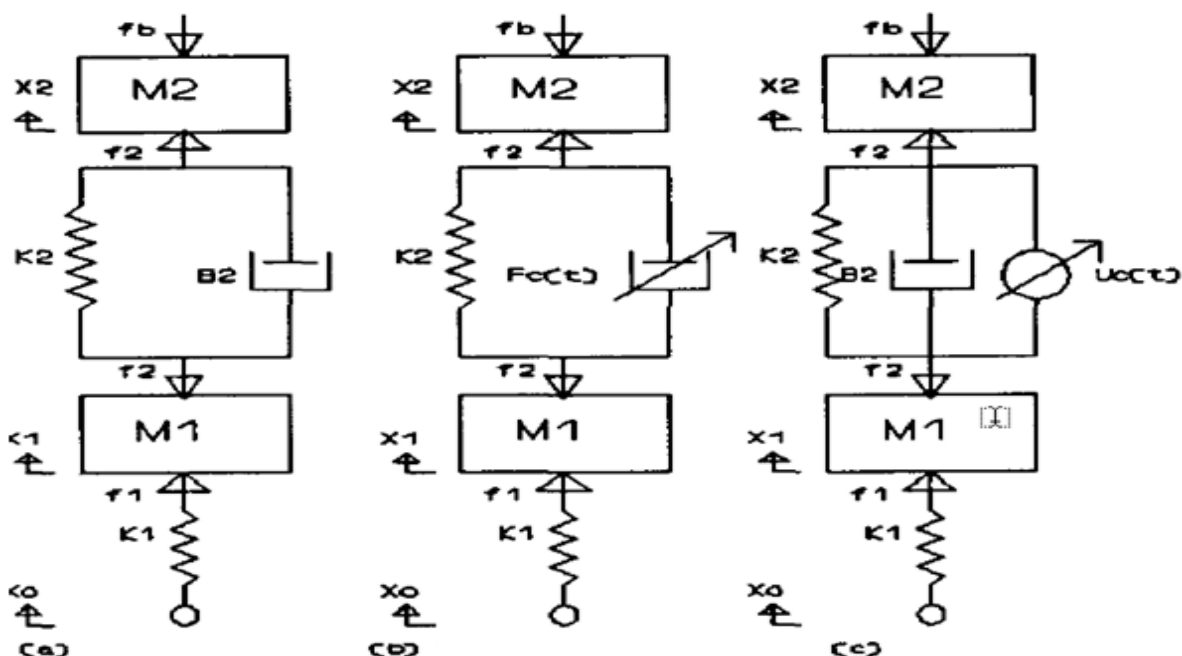
(۱) سیستم تعليق غیر فعال^۴

(۲) سیستم تعليق نیمه فعال^۵

(۳) سیستم تعليق فعال

سیستم تعليق فعال ، نیمه فعال و غیر فعال در شکل (۱-۱) نشان داده شده است.

در سیستم تعليق غیر فعال پارامتر ها ثابت است. انتخاب بهینه پارامتر های طراحی مانند جرم سیستم تعليق، فنر و دمپر های بکار رفته در ساختمان تعليق در محدوده کاری خاصی بهترین پاسخ ارتعاشی را می دهد. اما تغییرات در فرکانس اغتشاش ورودی که از شکل های مختلف ناهمواری در جاده سبب می گردد باعث می شود که سیستم طراحی شده از نقطه کار بهینه خود فاصله گرفته و این امر از اعتبار طراحی های غیر فعال می کاهد در سیستم تعليق غیر فعال هیچ منبع انرژی بین المان های سیستم وجود ندارد [۵].



شکل (۱-۱): (a) سیستم تعليق غیر فعال (b) تعليق نیمه فعال (c) تعليق فعال

^۴Passive

^۵Semi active

در سیستم های تعلیق غیر فعال به دلیل ثابت بودن ضرایب فنر و کمک فنر، نمی توان هدف سیستم تعلیق را در محدوده فرکانس وسیع دست انداز جاده محقق کرد. این موضوع صنایع خودرو سازی را به سمت کنترل سیستم تعلیق سوق داد. در تعلیق نیمه فعال معمولاً فنر بدون تغییر باقی می ماند و فقط ساختار کمک فنر تغییر می کند. به این ترتیب که درون کمک فنر یک صفحه سوراخ دار قرار می گیرد که روغن موجود در کمک فنر برای جابجا شدن باید از درون این سوراخ ها عبور کند. یک صفحه متحرک قابل کنترل روی آن صفحه وجود دارد که با حرکت دادن آن می توان تعداد سوراخ های باز برای عبور روغن را کم و زیاد کرد. با بستن مسیر تعدادی سوراخ ، مسیر عبور روغن کوچک تر می شود و ضریب کمک فنر افزایش می یابد^[۴] و دارای دو روش کنترلی می باشد :

(۱) کنترل پیوسته : در این روش کنترلی تنظیم نیروی میرا کننده با تنظیم سطح دهانه در میرا کننده انجام می شود.

(۲) کنترل وضعیتی (on/off) : این روش کنترلی شیر را در حالت باز(on) یا بسته (off) قرار می دهد^[۱۴].

در سیستم تعلیق فعال با قرار دادن جک های سرو هیدرولیک بصورت موازی با سیستم تعلیق معمول، سعی در کنترل دامنه نیرو های وارد بر جرم بدنه^۶ می گردد. در این روش حرکات خودرو با استفاده از سنسور های مناسب اندازه گیری شده و به یک کامپیوتر محاسب دیجیتال وارد می گردد. کامپیوتر با اعمال استراژی مناسب پالس های کنترلی مناسب را جهت ورود به شیر های سرو هیدرولیک نصب شده بر مسیر جریان روغن صادر می کند^[۴].

سیستم تعلیق فعال در مقایسه با سیستم تعلیق نیمه فعال که فقط نیاز به توان برای سنسور ها، شیر ها و کنترلر دارد، برای تولید نیروی کنترلی، توان زیادی مصرف می کند. سیستم تعلیق نیمه فعال از سیستم تعلیق فعال ارزانتر و مطمئن تر است^[۵].

اخیراً به منظور بهتر نمودن راحتی و کیفیت سفر و بهبود و هدایت خودرو، تحلیل ها و آزمایش های زیادی بر روی سیستم های تعلیق فعال و نیمه فعال انجام گرفته است.

^۶Sprung mass

کنترل تطبیقی مدل مرجع برای سیستم تعليق خودرو بدون در نظر گرفتن دینامیک محرک بررسی شده است. برای یافتن قانون کنترل تطبیقی از تئوری لیاپانوف استفاده شده است. مدلی که به عنوان مدل مرجع استفاده شده است دارای مستهلك کننده ای متصل به نقطه ثابت در فضا است. در نهایت برای بررسی مقاوم بودن روش پیشنهاد شده پاسخ سیستم برای شرایطی که جرم معلق ۳۰٪ افزایش و ضریب فنر و دمپر ۳۰٪ کاهش داده شده است. ترسیمات نشان می دهد که نهایتاً رفتار سیستم تطبیقی به سمت رفتار مدل مرجع میل نموده و در نتیجه رفتار آن را دنبال می کند [۷].

کنترل تطبیقی دیگری نیز برای سیستم تعليق خودرو با در نظر گرفتن دینامیک محرک انجام شده است. برای یافتن قانون کنترل تطبیقی از تئوری لیاپانوف وقتی که شرط اکیدا حقیقی مثبت بودن برقرار باشد^۷ استفاده شده است. در نهایت برای بررسی مقاوم بودن روش پیشنهاد شده پاسخ سیستم برای شرایطی که جرم معلق و ضریب سختی دمپر ۵۰٪ افزایش پیدا کرده رسم شده است. که نتایج نشان از مقاوم بودن الگوریتم پیشنهادی دارد [۹]. در این زمینه کنترل های تطبیقی دیگری نیز استفاده شده است [۱۰] و [۱۱] و [۱۲] و [۱۳].

کنترل تطبیقی امپدانس بر روی ربات انجام شده است [۱۴].

استفاده از فیدبک حالت برای بدست آمدن نیروی مطلوبی که باید بوسیله محرک هیدرولیکی دنبال شود انجام شده است. برای کنترل نیروی محرک از کنترل کننده تناسبی- انتگرالی^۸ استفاده شده است [۱۵].

کنترل فازی سیستم تعليق انجام شده است. از آنجا که کنترلر فازی نسبت به مدل سیستم از حساسیت کمتری برخوردار است . و همچنین بعلت ماهیت غیر خطی از عملکرد بهتری نسبت به کنترلر های خطی مثل LQR و LQG برخوردار است [۱۶] و [۱۱] و [۱۷] و [۱۸] و [۴۲].

^۷ SPR lyapunov approach

^۸ P_i

تکنیک کنترل مد لغزشی برای بهبود عملکرد سیستم تعليق مورد بررسی قرار گرفته است. این تکنیک یک روش برای حفظ پایداری در مقابله با عدم قطعیت و اغتشاش فراهم می کند. مشکل بوجود آمدن لغزش^۹ نیز مورد بررسی قرار گرفته است[۵] و [۱۱] و [۲۰] و [۲۱] و [۲۲].

روش کنترلی حداقل واریانس^{۱۰} بر روی سیستم تعليق مورد بررسی قرار گرفته است. که نتایج نشان می دهد این کنترلر می تواند خود را با شرایط مختلف جاده تطبیق نماید [۲۲].

آنالیز سیستم تعليق با وجود محرک خطی سازی شده و بررسی چند روش برای کاهش اثر صفر های با میرای ضعیف^{۱۱} مورد مطالعه قرار گرفته است[۲۳].

کنترل تاخیر زمانی^{۱۲} به عنوان یک روش نوید بخش در کنترل سیستم های با پارامتر های متغیر و دینامیک نامشخص بر روی سیتم تعليق مورد بررسی قرار گرفته است[۲۴]. کنترل تطبیقی امپدانس سیستم های ارتعاشی ساده انجام شده است[۲۵].

در تحقیقات مدل های متنوعی از خودرو شامل مدل های ۱/۴ و ۱/۲ و مدل کامل خودرو در نظر گرفته شده است. در حالی که رفتار غیرخطی محرکه هیدرولیکی یا در نظر گرفته نشده است [۷]، [۱۸] و [۱۷] یا معادلات خطی سازی شده آن مورد استفاده قرار گرفته است[۲۳] و [۱۲]. این در حالی است که آزمایشات عملی اهمیت رفتار غیر خطی را در تعیین مصالحه مناسب در سیستم تعليق خودرو نشان می دهد. بررسی این عامل غیر خطی، با طراحی کنترل کننده غیر خطی به روش بازگشت به عقب برای بهبود مصالحه بین راحتی سفر و حرکت تعليق در شرایط مختلف جاده انجام گرفته است[۲۷] و [۶].

۱-۳ نامعینی در سیستم های تعليق :

وجود نامعینی و دینامیک های مدل نشده در سیستم تعليق، عملکرد آن را دچار اختلال می کند. دسته مهمی از این نامعینی ها از مدل سازی غیر دقیق ناشی می شود. اغلب طراحان از مدل ربع

^۹chattering

^{۱۰}Minimum variance

^{۱۱}Lightly damped zeros

^{۱۲}Time delay control

خودرو استفاده می کنند. در این مدل سازی خودرو به چهار قسمت تقسیم می شود که هر یک مجزا از دیگری است. ولی در عمل هر یک از این چهار جزء از قسمت های دیگر تاثیر می پذیرد. لذا کنترل کننده ای که برای مدل ایزوله شده ربع خودرو طراحی شده در هنگام پیاده سازی با تاثیرات قسمت های دیگر بصورت دینامیک های مدل نشده روبرو خواهد شد [۳] و [۴]. نوع دیگری از نامعینی در این سیستم ها، تغییرات وسیع در پارامتر های آن است. که به نامعینی ساختار یافته معروف است. مثلاً جرم بدن خودرو با مقدار بار، تعداد سرنشین خودرو و سوخت آن تغییر می کند. همچنین ضریب فنریت لاستیک با سرعت خودرو، افزایش دما و کیفیت جاده تا ۴۰٪ مقدار نامی می تواند تغییر کند. عملگر هیدرولیکی عامل دیگری است که با توجه به دینامیک غیر خطی پیچیده اش باید به آن توجه کرد.

در این پایان نامه نامعینی های زیر بررسی شده است :

- ۱- عدم قطعیت به واسطه عامل غیر خطی اصطحکاک محرک که در معادلات سیستم تعلیق وارد شده است.
- ۲- عدم قطعیت در پارامتر های سیستم تعلیق، جرم بدن و ضریب سختی فنر که بعضاً متغیر با زمان هستند.
- ۳- عدم قطعیت در پارامتر های محرکه
- ۴- عدم قطعیت بواسطه دینامیک های مدل نشده ای که ناشی از مثلاً خطی گرفتن فنر و دمپر است.

بطور کلی در مقالاتی که کنترل تطبیقی را روی سیستم تعلیق انجام داده اند:

- ۱- کنترل تطبیقی مدل کامل ربع خودرو بعنوان یک کنترل کننده فرعی و فقط برای شناسایی دقیق پارامتر های محرکه، برای استفاده در کنترل کننده غیر خطی مبتنی بر مدل بکار رفته است.
- ۲- کنترل کننده های مدل مر جع مقاوم و غیر تطبیقی از دینامیک های چرخ صرفنظر کرده و کاهش شتاب عمودی هم چندان قابل ملاحظه نیست.

در این پایان نامه کنترل کننده مدل مرجعی که پیشنهاد شده است :

- ۱ - کنترل کننده اصلی است که توان مقابله با انواع نامعینی ها در ابعاد وسیع را دارد. و پایداری حلقه بسته تضمین تئوری نیز دارد.
- ۲ - مدل ربع خودرو با اصطحکاک در نظر گرفته شده است. و مقاومت سیستم حلقه بسته در حضور محرکه را نشان می دهد. ضمن اینکه افزایش راحتی و ایمنی سفر قابل ملاحظه است.
- ۳ - روشی که برای مدل ربع خودرو ارائه شده به راحتی به مدل کامل خودرو قابل تعمیم است

مرواری بر پایان نامه :

در این پایان نامه از کنترل کننده تطبیقی برای بهبود عملکرد سیستم تعلیق استفاده می شود. کنترلر دارای دو حلقه است. در حلقه داخلی ردیابی و ثبیت نیرو با استفاده از تکنیک مود لغزشی صورت می گیرد و در حلقه خارجی کنترل کننده تطبیقی مقاوم اثر اغتشاش را تضعیف می کند. در فصل اول مقدمه ای در مورد سیستم تعلیق و کارهای انجام شده در این زمینه بیان شده است. در فصل دوم دینامیک سیستم تعلیق و محرکه مورد بررسی قرار گرفته است. در فصل سوم کنترل امپدانس و روش تعیین ضرایب آن بیان شده است. در فصل چهارم استراتژی کنترل و در فصل پنجم ابتدا مقدمه ای از کنترل تطبیقی و سپس الگوریتم مورد استفاده در پایان نامه بیان شده است. در فصل ششم روش مود لغزشی که در حلقه داخلی برای ردگیری نیرو از آن استفاده شده مورد بررسی قرار گرفته است. در فصل هفتم سیستم تعلیق با استراتژی کنترل پیشنهاد شده شبیه سازی شده است. نتایج شبیه سازی نشان می دهد که سیستم حلقه بسته دارای عملکرد نامی مطلوبی است. و راحتی و ایمنی سفر به مقدار قابل توجه ای بهبود پیدا کرده است. کنترل کننده تطبیقی همچنین دارای عملکرد مقاوم و مطلوب در حضور دینامیک محرک و پارامتر های متغیر با زمان جرم بدنه و ضریب سختی لاستیک چرخ نیز می باشد. در آخر برای مقایسه این روش با روش های دیگر کنترل سیستم تعلیق، دینامیک محرکه را با استفاده از کنترل کننده تناسبی وارد سیستم حلقه بسته کرده

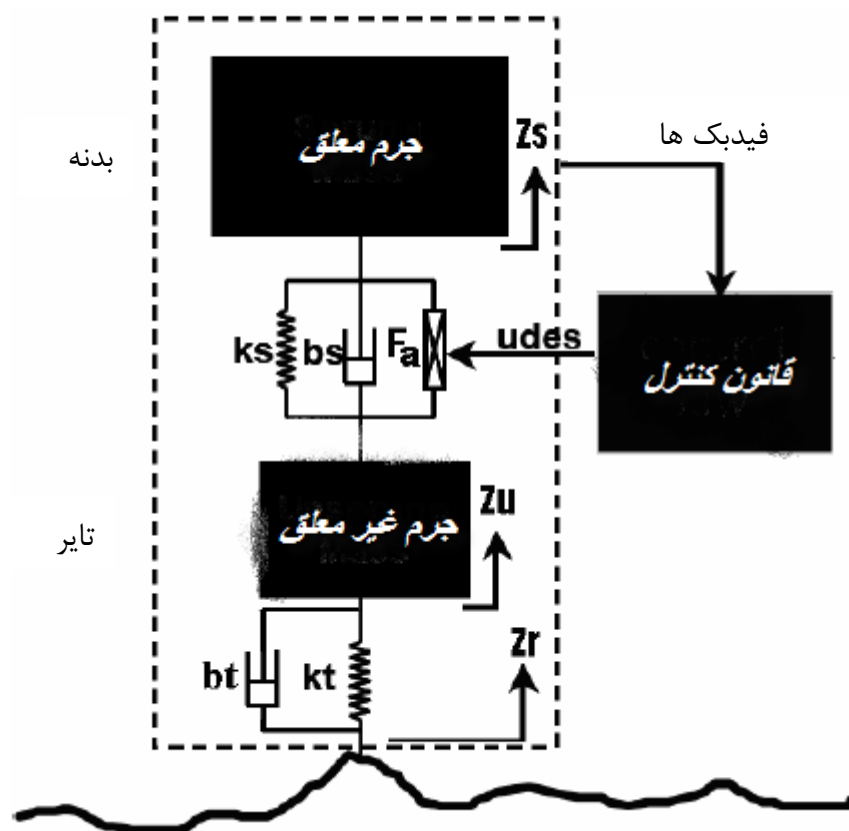
ایم که شبیه سازی ها نشان می دهد روش پیشنهادی در مقایسه با این روش در مقابل عدم قطعیت های محركه مقاوم تر بوده و به خطای ردگیری کمتری منجر می شود. در فصل هشتم نتایج و پیشنهادات آمده است.

فصل دوم:

دینامیک سیستم تعلیق و محرکه

۱-۲ سیستم تعلیق

در این پایان نامه از مدل $\frac{1}{4}$ خودرو سواری مبتنی بر نتایج تجربی [۲۲] برای سیستم تعلیق شکل (۱-۲) استفاده شده است.



شکل (۱-۲): مدل سیستم تعلیق

معادلات سیستم تعلیق حول نقطه تعادل صفر، به صورت زیر بدست می آید:

$$m_s \ddot{z}_s = -b_s(\dot{z}_s - \dot{z}_u) - k_s(z_s - z_u) + f_a \quad (1-2)$$

$$m_u \ddot{z}_u = b_s(\dot{z}_s - \dot{z}_u) + k_s(z_s - z_u) - f_a + f_{dis} \quad (2-2)$$

که m_s ، m_u ، b_t ، b_s ، k_t ، k_s و \dot{z}_u به ترتیب، جرم بدن (جرم معلق)^۱، جرم لاستیک (جرم نامعلق)^۲، ضریب سختی^۳ فنر و لاستیک، ضریب میرایی^۴ دمپر و لاستیک می باشند. متغیر های f_a و f_{dis} به ترتیب موقعیت عمودی^۵ چرخ، بدن و جاده هستند. هم نیرویی است که محرک الکتروهیدرولیکی تولید می کند.

نکاتی در مورد معادلات (۱-۲) :

- ۱- این معادلات حول نقطه کار خطی سازی شده هستند.
- ۲- متغیر های z_u و z_r تغییرات حول نقطه تعادل هستند.
- ۳- نیروی اعمالی به تایر به عنوان یک نیروی اغتشاش^۶ در نظر گرفته شده است.

از این رو:

$$f_{dis} = b_t(\dot{z}_r - \dot{z}_u) + k_t(z_r - z_u) \quad (3-2)$$

که f_{dis} نیروی اعمالی از طرف جاده به چرخ است.

^۱ Sprung mass

^۲ Unsprung mass

^۳ stiffness

^۴ Damping rate

^۵ Vertical position

^۶ Disturbance force

۲-۲ محرک هیدرولیکی

۲-۲-۱ نگاه کلی به سیستمهای هیدرولیک

در بسیاری از فرآیندهای صنعتی، انتقال قدرت به صورت کم هزینه و با دقت زیاد مورد نظر است که با بکارگیری سیال تحت فشار در انتقال و کنترل قدرت انجام می شود.

برای سیستم تعلیق فعال خودرو سه انتخاب پیش رو داریم :

- ۱- محرکه های سلونوئیدی (مغناطیسی)
- ۲- محرکه های نیو ماتیکی (بادی)
- ۳- محرکه های الکترو هیدرولیکی (روغنی)

محرکه های سلونوئیدی شامل یک سیم پیچ و یک هسته متحرک می باشند. هنگامی که سیم پیچ توسط یک جریان الکتریکی تحریک می شود، هسته متحرک جذب می شود. در انتهای دیگر هسته متحرک وسیله ای که باید تغییر موقعیت داده شود، نصب می گردد. سلونوئید ها ممکن است با جریان DC و یا AC و در اندازه های مختلف از ۱۱۵ ولت تا ۵۵۰ ولت ساخته می شوند. عملکرد مستقیم این محرکه ها هنگامی که تغییر مکان کوتاه مد نظر باشد ایده آل بوده و در تغییر مکان های بلند به علت بزرگ شدن هسته متحرک احتیاج به سیم پیچ بزرگی خواهد داشت. نیروی کششی سلونوئید ها حداقل تا حدود ۲۲۲ نیوتون است. در حالی که نیروی لازم برای سیستم تعلیق در حدود ۴۰۰۰ تا ۲۰۰۰ نیوتن می باشد که از توانایی این عمل کننده ها خارج است [۲۷]. از محرکه های بادی در مواردی که نیروهای نسبتاً پایین و یا سرعت های حرکتی بالا مورد نیاز باشد استفاده می کنند. در صورتی که کاربردهای سیستمهای روغنی عمدتاً در مواردی است که قدرتهای بالا و سرعت های کنترل شده دقیق مورد نظر باشد بکار می روند. در سیستم های روغنی و بادی نسبت به سایر سیستمهای مکانیکی قطعات محرک کمتری وجود دارد و می توان در هر نقطه به حرکتهای خطی یا دورانی با قدرت بالا و کنترل مناسب دست یافت، چون انتقال قدرت توسط جریان سیال پر فشار در خطوط انتقال (لوله ها و شیلنگ ها) صورت می گیرد ولی در سیستمهای مکانیکی دیگر برای انتقال

قدرت از اجزایی مانند بادامک، چرخ دنده، محور، اهرم، کلاچ و... استفاده می کنند. کنترل نیرو توسط شیر های الکتریکی انجام می شود. استفاده از شیلنگ های انعطاف پذیر، سیستم های روغنی و بادی را به سیستمهای انعطاف پذیری تبدیل می کند که در آنها از محدودیتهای مکانی که برای نصب سیستمهای دیگر به چشم می خورد خبری نیست. این سیستم ها به خاطر اصطکاک کم و هزینه پایین از راندمان بالایی برخوردار هستند همچنین با استفاده از شیرهای اطمینان و سوئیچهای فشاری و حرارتی می توان سیستمی مقاوم در برابر بارهای ناگهانی، حرارت یا فشار بیش از حد ساخت که نشان از اطمینان بالای این سیستمهای دارد [۲۷]. در جدول (۱-۲) خلاصه ای از مشخصه های محرکه ها آمده است [۲].

بادی	الکتریکی	روغنی
+ قطعات مطمئن + کم هزینه و ساده	+ مناسب برای ربات های مختلف	+ مناسب برای ربات های بزرگ و بار های سنگین
+ فشار کم در مقایسه با روغنی ها	+ کنترل بهتر، مناسب برای ربات های دقیق	+ بالاترین نسبت قدرت به وزن
- سیستم های صدا دار - تغییر شکل در زیر بار	+ مطمئن، نگهداری آسان	+ سیستم سفت، دقت بالا، پاسخ بهتر
- پایین ترین نسبت قدرت به وزن	- نیاز به چرخ دهنده کاهنده	- گران و باصداء، نیاز به نگهداری
	- نیاز به ترمز برای حالت خاموش	- حساس به مواد خارجی در روغن
	- نرمش کم	

جدول (۱-۲): خلاصه ای از مشخصه های محرکه ها

محرکه های الکترو هیدرولیکی (روغنی) دارای ظرفیت ارائه نیروی زیاد و پاسخ سریع می باشند و حداکثر فشار در استفاده معمولی در حدود 3000 psi (20685000 Pa) می باشد [۲].

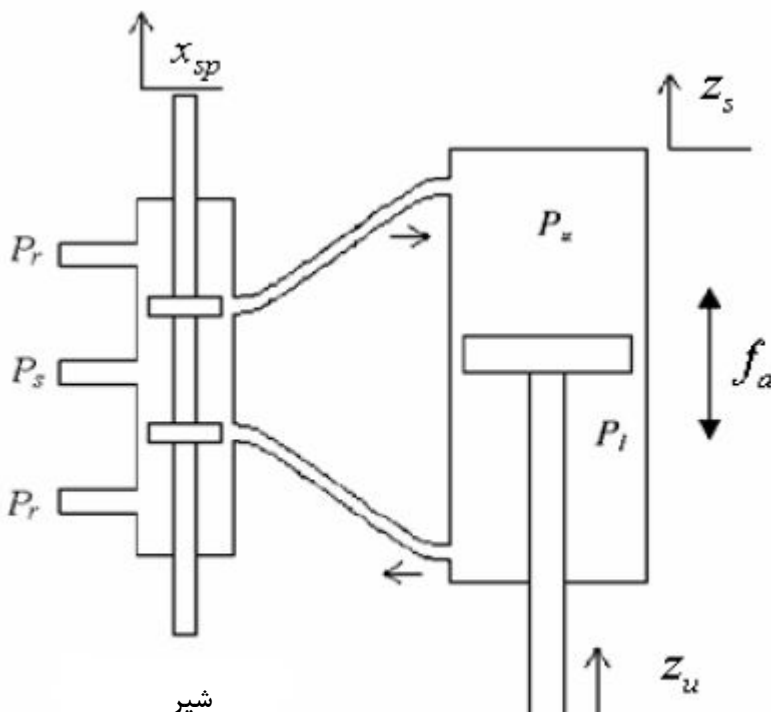
محرکه های بادی نسبت به محرکه های الکترو هیدرولیکی (روغنی) ساده تر هستند، ولی حداکثر فشاری که آنها می توانند اعمال کنند در حدود 300 psi (2068500 Pa) می باشد [۲].

۲-۲-۲ نحوه کار محرکه هیدرولیکی

برای انتقال قدرت به یک سیال تحت فشار (تراکم پذیر یا تراکم ناپذیر) احتیاج داریم که توسط پمپ های هیدرولیک نیروی مکانیکی را تبدیل به قدرت سیال تحت فشار نمود. مرحله بعد انتقال نیرو به نقطه دلخواه است که این وظیفه را لوله ها، شیلنگ ها و بست ها به عهده می گیرند. بعد از کنترل فشار و تعیین جهت جریان توسط شیرها سیال تحت فشار به سمت عملگرها (سیلندرها یا موتور های هیدرولیک) هدایت می شوند تا قدرت سیال به نیروی مکانیکی مورد نیاز (به صورت خطی یا دورانی) تبدیل شود. اساس کار تمام سیستم های هیدرولیکی و نیوماتیکی بر قانون پاسکال استوار است.

با توجه به توضیحاتی که پیش تر آمد، بهترین انتخاب محرک الکتروهیدرولیکی می باشد که می تواند با جریان کم نیروی عظیمی را تولید کند. یک محرک الکتروهیدرولیکی در شکل (۲-۲) نشان داده شده، که شامل محور شیر و سیلندر هیدرولیک^۷ می باشد. p_s فشار منبع هیدرولیک (تغذیه) و p_r فشار برگشتی است. x_{sp} موقعیت محور شیر، p_l و p_u به ترتیب فشار رogen در پایین و بالای سیلندر است، که منشا نیروی تولیدی توسط محرکه هستند [۱۰]. وقتی اختلاف بین p_l و p_u وجود داشته باشد، پیستون حرکت می کند. $z_s - z_u$ جابجایی پیستون نسبت به سیلندر می باشد. x_{sp} که با جریان ورودی مستقیم کنترل می شود، باعث ایجاد نیرو توسط محرک الکتروهیدرولیکی می گردد.

⁷ Hydraulic cylinder



سیلندر هیدرولیکی

شکل (۲-۲): محرک هیدرولیکی

رابطه بین جریان ورودی i_{sv} با موقعیت محور شیر x_{sp} به صورت زیر است [۱۰]:

$$\dot{x}_{sp} = \frac{1}{\tau} (k_{sv} \cdot i_{sv} - x_{sp}) \quad (4-2)$$

که k_{sv} بهره جریان و τ ثابت زمانی شیر می باشد. رابطه غیر خطی بین موقعیت محور شیر و نیروی محرک به صورت زیر است [۱۰].

$$\dot{f}_a = -\alpha A_p (\dot{z}_s - \dot{z}_u) - \beta \cdot f_a + \gamma \cdot x_{sp} \sqrt{P_s - \text{sgn}(x_{sp}) f_a / A_p} \quad (5-2)$$

که

$$\alpha = 4\beta_e A_p / V_t$$

$$\beta = \alpha C_{tp} A_p$$

$$\gamma = \alpha C_d w A_p \sqrt{1/\rho}$$

حجم محرکه^۸ ، ρ چگالی سیال هیدرولیک^۹ ، C_d ضریب تخلیه^{۱۰} ، C_{tp} ضریب نشت^{۱۱} ، سطح مقطع پیستون^{۱۲} ، β_e ضریب کشیدگی سیال هیدرولیک^{۱۳} ، w پهنای شیر کنترل^{۱۴} می باشند.

^۸ Total volume of actuator cylinder chamber

^۹ Specific gravity of hydraulic fluid

^{۱۰} Discharge coefficient

^{۱۱} Leakage coefficient

^{۱۲} Piston area

^{۱۳} Bulk modulus of hydraulic fluid

^{۱۴} Spool valve width

فصل سوم:

کنترل امپدانس

۱-۳ کنترل امپدانس

کنترل امپدانس یکی از روش‌های کنترل فعال می‌باشد. که به منظور فراهم ساختن رفتار دینامیکی مناسب برای انجام کار معین بکار می‌رود. روش کنترلی و انتخاب پارامترها با توجه به رفتار محیط در واکنش به انجام کار و مدل دینامیکی سیستم انتخاب می‌گردد.

هدف از کنترل امپدانس تعیین دقیق موقعیت یا مسیر حرکت و تعیین دقیق نیرو نیست، بلکه تنظیم رابطه دینامیکی حرکت است. یعنی کنترل امپدانس همان تنظیم امپدانس مکانیکی سیستم است. با استفاده از دوگان‌های برق-مکانیک که نیرو را به ولتاژ و سرعت را به جریان متناظر می‌کند. نسبت نیرو به سرعت (گشتاور به سرعت زاویه‌ای) به امپدانس مکانیکی سیستم تعبیر می‌شود که در حوزه فرکانس بوسیله رابطه زیر نمایش داده می‌شود:

$$\frac{F_e(s)}{V(s)} = Z(s) \quad (1-3)$$

که در آن (s) $V(s)$ ، $F_e(s)$ و $Z(s)$ به ترتیب تبدیل لاپلاس‌های نیرو، سرعت و امپدانس مکانیکی است و رابطه دینامیکی مطلوب توسط رابطه زیر داده می‌شود:

$$M\ddot{X} + B\dot{X} + KX = F_e \quad (2-3)$$

که در آن ماتریس‌ها M ، B و K به ترتیب لختی، میرایی و سختی را نشان می‌دهند. معادلات امپدانس به شکل کامل تر در [۲۸] آمده است. کنترل امپدانس یک مجموعه منسجم از انواع استراتژی‌های مختلف کنترل را نشان می‌دهد. استراتژی کنترل سختی حالت خاصی از کنترل امپدانس است

که فقط به حالت ماندگار تغییر مکان – نیرو توجه دارد. وقتی مجری نهايی در فضای آزاد حرکت می کند، نیروی صفر را در سرعت معین به محیط وارد می کند، پس سیستم دارای امپدانس صفر است. برعکس اگر یک بازوی ماهر بطور صلب به دیوار بچسبد به ازای هر مقدار نیروی وارد بر دیوار بدون حرکت خواهد ماند و در نتیجه دارای امپدانس بینهایت است. بنابراین کنترل انحصاری موقعیت و کنترل انحصاری نیرو می تواند به عنوان حالات خاص کنترل امپدانس مورد توجه قرار گیرد که به ترتیب مربوط به امپدانس صفر و امپدانس بینهایت می شوند [۱].

طبق نظریه هوگان، ایده اصلی کنترل امپدانس ربات، اجرای رفتار دینامیکی معین توسط ربات است با این حال که ربات متاثر از تداخل عمل با محیط می باشد. این عملکرد با دینامیک عمومی سیستم جرم و فنر نمایش داده می شود. از ویژگی های کنترل امپدانس، می توان به سادگی و مقاوم بودن در مقابل عدم قطعیت پارامتری اشاره کرد اما معمولاً تاکید بر حرکات تقریباً آرام است [۲۹]. در کنترل امپدانس ضرایب بصورت زیر تعیین می شود [۱]:

✓ برای اجرای دینامیک محدود و کوچک در جهت مورد نظر M بزرگ انتخاب می شود.

✓ برای کاهش انرژی جنبشی در جهت مورد نظر مقدار B بزرگ انتخاب می شود و بنابراین میرا نمودن بیشتر نوسانات را داریم.

✓ در جهتی که کنترل نیرو داریم باید K به قدر کافی کوچک باشد تا نیرو های تماس را محدود کند و در جهتی که کنترل موقعیت داریم باید ضریب سختی بزرگی را برای فراهم کردن دقت در نقطه نهايی تنظیم کرد.

بطور کلی دو روش کنترل امپدانس بسته به آن که سنسور نیرو^۱ بکار رود یا نه معرفی شده است [۳۰]. هوگان در آزمایشی نشان داد که می توان با استفاده از سنسور نیرو جواب بهتری گرفت [۳۰]. نکته دیگر که قابل توجه است اثر بارهای مختلف یا به عبارت دیگر اجسام مختلف بر سیستم است و اینکه این اجسام مختلف چگونه در معادلات ظاهر می شوند.

¹ Force sensor

کنترل امپدانس تطبیقی در تراشکاری پیاده شده است [۳۱] و [۳۲]. سکان هواپیما با قانون کنترل امپدانس شبیه سازی شده است [۳۳]. عملکرد سکان در هواپیمای واقعی مانند یک سیستم جرم و فنر و میراکننده است یعنی خلبان هر چه سکان را از موقعیت تعادل خود بیشتر منحرف کند نیروی بیشتری از طرف سکان به دست خلبان وارد می شود و اگر آن را رها کند سکان به آرامی به موقعیت تعادل خود بر می گردد.

کنترل امپدانس به منظور جا سازی میله در سوراخ برای کارهای مونتاژ کاری پیشنهاد شده است [۳۴]. روش کنترل مقاوم امپدانس در بریدن اجسام ارائه شده است [۳۵].

دامنه وسیع کاربرد های کنترل امپدانس نشان می دهد که می توان آن را به عنوان یک روش کنترلی موثر در هدایت سیستم های دینامیکی بکار برد. کنترل امپدانس که یکی از روش های کنترل اکتیو محسوب می شود، می تواند رفتار دینامیکی سیستم را مطابق با رفتار از پیش تعیین شده تنظیم نماید. از کنترل امپدانس برای کنترل ضریب سختی نیز استفاده می شود. با تعیین پارامتر های آن می توان کنترل موقعیت را نیز انجام داد. در شرایطی که محیط یا نوع کار تغییر می نماید با تنظیم خودکار پارامتر های امپدانس، رفتار دینا میکی سیستم مطابق با شرایط به صورت مطلوب هدایت می گردد. از مزایای کنترل امپدانس می توان به وابسته نبودن آن به مدل و توانایی استفاده از آن در شرایط مختلف جاده اشاره کرد [۳۵].

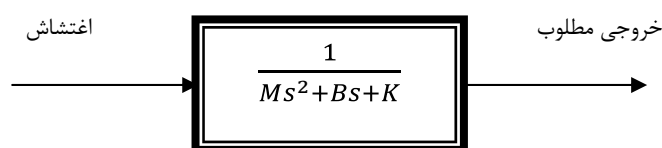
فصل چهارم:

استراتژی کنترل

۱-۴ استراتژی کنترل

هدف اصلی سیستم کنترل امپدانس، این است که سیستم تعليق خودرو، در مقابل اغتشاشات جاده، یک رفتار از پیش تعیین شده ای را داشته باشد. این رفتار مطلوب از پیش تعیین شده توسط قانون کنترل امپدانس بیان می گردد. قانون کنترل امپدانس، سیستم تعليق خودرو را به یک سیستم مطلوب درجه دوم تبدیل می کند. به عبارت دیگر قانون کنترل امپدانس کل سیستم تعليق از دید اغتشاشات جاده، جابجایی بدنه، جابجایی چرخ و جابجایی سیستم تعليق نسبت به ورودی کنترل را به صورت یک سیستم مرتبه دوم مطلوب بیان می کند. از آنجا که در سیستم تعليق محل تماس مجری نهایی با محیط یا سطحی که مجری نهایی با آن برای اعمال نیرو در تماس است چرخ می باشد، و هدف کاهش شتاب عمودی و جابجایی بدنه در مقابل اغتشاشات واردہ از جاده می باشد، لذا قانون کنترل امپدانس را به گونه ای تعریف نموده تا در مقابل نیروی حاصل از اغتشاش جاده رابطه (۲-۳) قرار گرفته و برای جابجایی بدنه سیستم تعليق یک جابجایی مطلوبی را از خود بروز دهد. به عبارت دیگر رفتاری را که می خواهیم سیستم تعليق در مقابل اغتشاشات جاده از خود نشان دهد توسط قانون کنترل امپدانس تعریف می کنیم.

قانون کنترل امپدانس را می توان بصورت زیر نشان داد :



که ضرایب بصورت زیر انتخاب می شوند :

✓ برای اجرای دینامیک محدود و کوچک در جهت مورد نظر M بزرگ انتخاب می شود.

✓ برای کاهش انرژی جنبشی در جهت مورد نظر مقدار B بزرگ انتخاب می شود و بنابراین میرا نمودن بیشتر نوسانات را داریم.

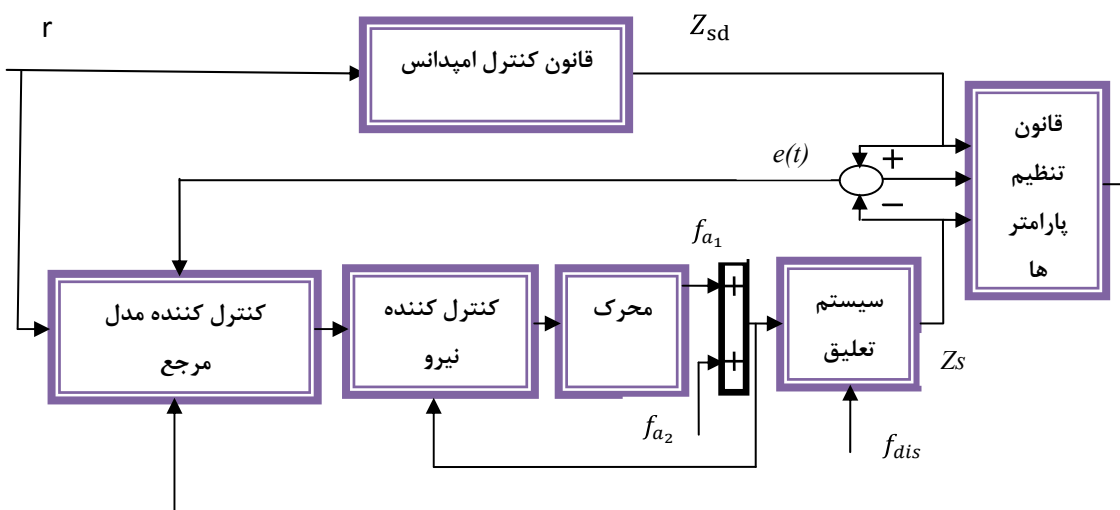
✓ در جهتی که کنترل نیرو داریم باید K به قدر کافی کوچک باشد تا نیرو های تماس را محدود کند، و در جهتی که کنترل موقعیت داریم باید ضریب سختی بزرگی را برای فراهم کردن دقت در نقطه نهایی تنظیم کرد.

به این ترتیب در هر لحظه بسته به مقدار اختشاش واردہ به قانون کنترل امپدانس یک خروجی مطلوب (Z_{sd}) برای جابجایی بدنه که هدف سیستم تعليق می باشد، محاسبه می گردد. برای آنکه هدف سیستم تعليق براورده گردد، باید سیستم کنترل بگونه ای طراحی شود که سیستم تعليق بتواند این خروجی مطلوب بدست آمده از قانون کنترل امپدانس را ردگیری کند که این نیازمند طراحی یک کنترل کننده موقعیت است که خروجی آن نیروی مطلوب بوده و توسط محرکه تولید می شود (f_{a_1}). یکی از راه های افزایش کیفیت رانندگی^۱ طراحی کنترلری است که نیروی تولیدی توسط کنترل کننده موقعیت را ردگیری کند [۲۰]. از این رو نیاز به کنترل کننده ای برای ردگیری نیرو داریم. می توان گفت سیستم کنترل شامل دو حلقه است. حلقه خارجی کنترل کننده موقعیت است و حلقه داخلی کنترل کننده نیرو است. یکی از روش هایی که با آن می توان ردگیری را در حلقه داخلی انجام داد استفاده از کنترل تطبیقی است. با توجه به عدم قطعیت متنوعی که در سیستم تعليق خودرو وجود دارد، و در قسمت های قبل آورده شده به نظرمی رسد کنترل کننده تطبیقی به دلیل ماهیت غیر خطی و متغیر با زمان خود بهتر از کنترل کننده های ساختار ثابت قادر است با این نامعینی ها مقابله کند.

با توجه به ساختار کنترل کننده که در شکل (۴-۱) نشان داده شده است، ابتدا با فیدبک گرفتن از جابجای و سرعت بدنه و مقایسه آن با خروجی مطلوب قانون کنترل امپدانس، نیرویی که برای

¹ Ride quality

ردگیری مسیر تولید شده توسط قانون کنترل امپدانس لازم است، توسط کننده تطبیقی تولید می شود. برای تولید این نیروی محاسبه شده با استفاده از کنترل کننده مود لغزشی دینامیک محرکه را وارد سیستم حلقه بسته کرده ایم. در واقع در حلقه داخلی، محرک هیدرولیکی سیگنال کنترل مورد نیاز حلقه اصلی را فراهم می کند. به این ترتیب دینامیک محرکه وارد سیستم حلقه بسته می شود. و به این صورت یک کنترل کننده تشکیل می شود که در حلقه داخلی ردیابی و تثبیت نیرو صورت می گیرد و در حلقه خارجی کنترل کننده تطبیقی اثر اغتشاش را تضعیف می کند.



شکل (۱-۴) : ساختار کنترل کننده با در نظر گرفتن محرک و حذف اغتشاش

f_{dis} نیروی اعمالی از طرف جاده به چرخ است که به عنوان نیروی اغتشاش در نظر گرفته شده است. برای محاسبه این نیرو در صورتی که ضرایب تایر مشخص باشد می توان از رابطه (۲-۳) استفاده کرد. این کار نیازمند اندازه گیری جابجایی تایر $z_u - z_r$ و مشتق آن با استفاده از سنسور های لیزری است. بعنوان یک روش دیگر برای محاسبه این نیرو در صورتی که دو رابطه (۱-۲) و (۲-۲) را با هم جمع کنیم داریم:

$$f_{dis} = m_s \ddot{z}_s + m_u \ddot{z}_u \quad (1-4)$$

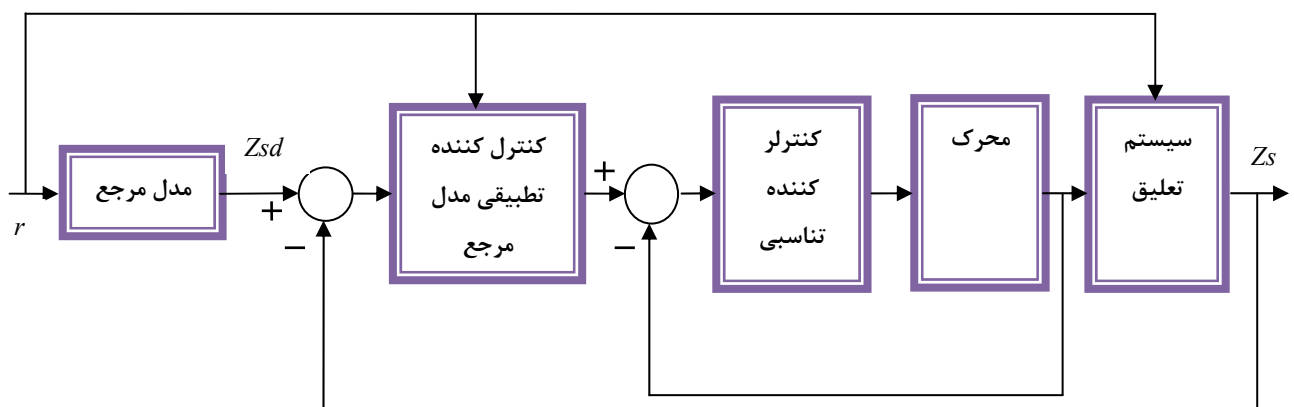
با توجه به رابطه (۱-۴) برای محاسبه f_{dis} ، می توان شتاب جرم معلق و غیر معلق را با استفاده از سنسور های شتاب سنج اندازه گیری کرد [۳۵].

برای حذف اثر این نیرو که به عنوان اغتشاش در نظر گرفته شده است. می توان نیروی اعمالی به سیستم تعليق را بصورت زیر در نظر گرفت:

$$f_a = f_{a_1} + f_{a_2} \quad (2-4)$$

f_{a_1} نیروی است که کنترل کننده تطبیقی تولید می کند و f_{a_2} را می توان نیروی مورد نیاز برای حذف اغتشاش در نظر گرفت. این نیرو را می توان با فرموله کردن دینامیک سیستم تعليق بدست آورده.

در آخر برای مقایسه این روش با روش های دیگر کنترل سیستم تعليق، دینامیک محرکه را با استفاده از کنترل کننده تناسبی وارد سیستم حلقه بسته کرده ایم(شکل ۲-۴) [۱۵]. که شبیه سازی ها نشان می دهد روش پیشنهادی در مقایسه با این روش در مقابل عدم قطعیت های محرکه مقاوم تر بوده و به خطای ردگیری کمتری منجر می شود. همچنین بدلیل حذف اغتشاش قبل از اعمال کنترل کننده در روش اول، نیروی لازم برای کنترل سیستم از حالت دوم کمتر است.



شکل (۲-۴) : ساختار کنترل کننده با در نظر گرفتن محرک

فصل پنجم:

کنترل تطبیقی

۱-۵ مقدمه

در زبان روزمره کلمه "تطبیق" به معنای تغییر رفتار برای وفق یافتن با وضع جدید است. به طور حسی کنترل تطبیقی، کنترلگری است که بتواند رفتارش را در پاسخ به تغییر دینامیک فرایند و اغتشاشها، تغییر دهد. از آنجایی که پسخورد معمولی نیز به منظور کاهش اثرات اغتشاشها و عدم قطعیت فرایند معرفی شده، این سؤال مطرح می شود که تفاوت بین کنترل پسخورد و کنترل تطبیقی چیست؟ "سیستم تطبیقی، هر سیستم فیزیکی است که با دیدی تطبیقی طراحی شده باشد". به حال ما از این دید عملی به مسئله نگاه می کنیم که کنترلگر تطبیقی، کنترلگری است با پارامترهای قابل تنظیم، همراه با مکانیزمی برای تنظیم پارامترها، چنین کنترلگری به دلیل وجود مکانیزم تنظیم، غیر خطی است.^[۲۸] و ^[۳۶].

یک سیستم کنترلگر تطبیقی از دو حلقه تشکیل شده است :

- ۱ - حلقه پسخوری معمولی، شامل فرایند و کنترل کننده
- ۲ - حلقه تنظیم پارامتر (غالبا کندر از حلقه پسخورد معمولی است)

۲-۵ مفاهیم اساسی در کنترل تطبیقی

دلیل اولیه مطرح شدن کنترل تطبیقی، طراحی کنترل کننده ای بود که بتواند با تغییر دینامیک فرآیند و مشخصه های اغتشاش تطبیق یابد. این حقیقت ثابت شده که روشهای تطبیقی برای تنظیم خودکار کنترل کننده ها قابل استفاده است.

در عمل ممکن است تغییرات از منابع مختلفی ناشی شده باشد و همواره ترکیبی از عوامل مختلف مؤثر هستند. در بیشتر حالات دلایل اساسی تغییرات، کاملاً قابل فهم نیست. بیشتر فرایندهای صنعتی بسیار پیچیده هستند و بخوبی قابل فهم نیستند. بررسی منابع تغییرات فرایند نه ممکن و نه اقتصادی است. در این حالتها کنترلگرهای تطبیقی انتخاب خوبی هستند. در سایر حالتها ممکن است برخی از دینامیکها بخوبی قابل فهم باشد، اما سایر قسمتها، نا معلوم باشد. به طور کلی، هدف اصلی کنترل تطبیقی این است که عملکرد سیستم در مقابل عدم قطعیت پارامتری و یا تغییرات نا مشخص آنها به طور سازگار حفظ شود. از آنجا که یک چنین عدم قطعیت پارامتری و یا تغییرات آنها می تواند در بسیاری از مسائل کاربردی صورت پذیرد، کنترل تطبیقی در بسیاری از وضعیتهای صنعتی مفید است.

به عنوان مثال رباتها مجبورند بارهایی را با اندازه، وزن و توزیع وزنهای متفاوتی جابجا کنند. فرض معلوم بودن پارامترهای اینرسی ربات قبل از جابجایی بارخیلی محدود کننده است. اگر پارامترهای بار دقیقاً معلوم نباشد و از کنترل کننده های با بهره ثابت استفاده شود، ممکن است حرکت رباتها بدون دقت و یا ناپایدار باشد. از سوی دیگر، کنترل تطبیقی این امکان را ایجاد می کند که رباتها بارهایی با پارامترهای نا معلوم را با سرعت و دقت بالا جابجا کنند.

مثالی دیگر اینکه مدلهای فرایندهای شیمیایی و متالوژیکی معمولاً پیچیده اند و بدست آوردن آنها کار مشکلی است. پارامترهایی که این فرایندها را مشخص می کنند از یک دسته تا دسته دیگر تغییر می کنند. علاوه بر این، معمولاً شرایط کار نیز تغییر پذیر با زمان است. در حقیقت، کنترل فرایند یکی از مهمترین و فعالترین زمینه های کنترل تطبیقی است. کنترل تطبیقی در زمینه های دیگری مثل سیستمهای قدرت و مهندسی زیست پزشکی نیز به کار گرفته شده است. در اکثر مواردی که از کنترل تطبیقی استفاده می شود، منظور رسیدگی به تغییرات اجتناب نا پذیر پارامترها یا عدم قطعیت آنهاست. اما در بعضی از کاربردها، بخصوص در کنترل فرایندها، جایی که ممکن است صدها حلقه کنترل در یک سیستم وجود داشته باشد، کنترل تطبیقی می تواند در کاهش تعداد تنظیم کننده های دستی به کار رود و به این ترتیب باعث افزایش توانایی و عملی بودن مهندسی شود [۲۸].

۱-۲-۵ انواع کنترل کننده های تطبیقی

کنترل کننده تطبیقی با کنترل کننده معمولی از این جهت فرق می کند که در آن، پارامتر های کنترل کننده قابل تغییر است و برای تنظیم بهنگام این پارامتر ها از مکانیسم مبتنی بر سیگنال های سیستم استفاده می شود.

چهار نوع سیستم تطبیقی وجود دارد :

۱- روش رگولاتورهای خود تنظیم

۲- روش کنترل تطبیقی مدل- مرجع

۳- جدول بندی بهره

۴- کنترل دوگان

در این پایان نامه از کنترل تطبیقی مدل مرجع استفاده شده است.

۲-۲-۵ جدولبندی بهره

در بسیاری از حالات، چگونگی تغییرات دینامیک فرایнд با تغییر شرایط کار، معلوم است. بنابراین، امکان تغییر پارامترهای کنترلگر با مشاهده شرایط کار وجود دارد. این ایده، جدولبندی بهره نامیده می شود، زیرا این روش در اصل فقط بر اساس همراهی با تغییرات بهره فرایند کار می کند. مفهوم جدولبندی بهره با توسعه سیستمهای کنترل پرواز ارتباط تنگاتنگی دارد و خواستگاه اصلی جدولبندی بهره، سیستمهای کنترل پرواز^۱ و حالات خاص همانند طراحی اتوپایلوت برای هواپیماهای با عملکرد بالاست. در این نوع کنترل، پارامترهای کنترلگر به عنوان توابعی از متغیرهای جدولبندی بهره نمایش داده می شود. نمونه ای از این متغیرها عبارت است از: فشار دینامیکی^۲، عدد ماخ^۳، ارتفاع^۴ و زاویه حمله^۵.

¹ flight control system

² Dynamic pressure

³ Mach number

۳-۲-۵ تخمین پارامتر

یکی از نکات اساسی در کنترل تطبیقی مشخص کردن بی درنگ پارامتر های فرایند است، روش حداقل مربعات شیوه‌های اساسی در تخمین پارامتر است.

۱-۳-۲-۵ حداقل مربعات [۳۶]

براساس این قاعده، پارامترهای مجھول مدل ریاضی، باید چنان انتخاب شوند که مجموع مربعات اختلاف بین مشاهده واقعی و مقادیر محاسبه شده ضرب در درجه دقت کمینه شود. هر گاه مدل سیستم بصورت زیر ارائه شود:

$$y(i) = \varphi_1(i)\theta_1^0 + \varphi_2(i)\theta_2^0 + \dots + \varphi_n(i)\theta_n^0 = \varphi^T(i)\theta^0 \quad (1-5)$$

که در آن y متغیر مشاهده شده، $\theta_1^0, \theta_2^0, \dots, \theta_n^0$ پارامترهای مجھول و $\varphi_1, \varphi_2, \dots, \varphi_n$ توابع معلومی هستند که ممکن است به متغیرهای معلوم دیگری وابسته باشند. با در نظر گرفتن بردار های زیر

$$\theta^0 = [\theta_1^0 \quad \theta_2^0 \quad \dots \quad \theta_n^0]^T, \varphi^T(i) = [\varphi_1(i) \quad \varphi_2(i) \quad \dots \quad \varphi_n(i)] \quad (2-5)$$

اندیس i اغلب زمان را نشان می دهد . متغیرهای φ_k متغیرهای رگرسیون می گویند و معادله (۱-۵) مدل رگرسیون نام دارد. پارامتر θ باید به گونه ای انتخاب شود که تابع معیار حداقل مربعات زیر را کمینه کند.

$$V(\theta, t) = \frac{1}{2} \sum_{i=1}^t (y(i) - \varphi^T(i)\theta)^2 \quad (3-5)$$

که در θ آن تخمین θ^0 است. با در نظر گرفتن :

$$\varphi(t) = [\varphi^T(1) \quad \dots \quad \varphi^T(t)]^T \quad (4-5)$$

$$Y(t) = [y(1) \quad y(2) \quad \dots \quad y(t)]^T \quad (5-5)$$

$$E(t) = [\varepsilon(1) \quad \varepsilon(2) \quad \dots \quad \varepsilon(t)]^T \quad (6-5)$$

^۴ Altitude

^۵ Angle of attack

و با تعریف $P(t)$ بصورت زیر

$$P(t) = (\Phi^T(t)\Phi(t))^{-1} = (\sum_{i=1}^t \varphi(i)\varphi^T(i))^{-1} \quad (7-5)$$

$$\varepsilon(i) = y(i) - \hat{y}(i) = y(i) - \varphi^T(i)\theta \quad (8-5)$$

خطای حد اقل مربعات بصورت زیر خواهد بود.

$$V(\theta, t) = \frac{1}{2} \|E\|^2 \quad (9-5)$$

که

$$E = Y - \hat{Y} = Y - \Phi\theta \quad (10-5)$$

تابع معادله (3-5) به ازای پارامترهای $\hat{\theta}$ ، کمینه است که در معادله زیر صدق می کند:

$$\Phi^T\Phi\hat{\theta} = \Phi^T Y \quad (11-5)$$

اگر ماتریس $\Phi^T\Phi$ غیر منفرد باشد این مقدار کمینه یکتاست و داریم :

$$\hat{\theta} = (\Phi^T\Phi)^{-1}\Phi^T Y \quad (12-5)$$

با تغییر دادن تابع معیار (3-5) می توان به صورت زیر خطاهای را به شکل متفاوتی وزن گذاری کرد.

$$V = \frac{1}{2} E^T W E \quad (13-5)$$

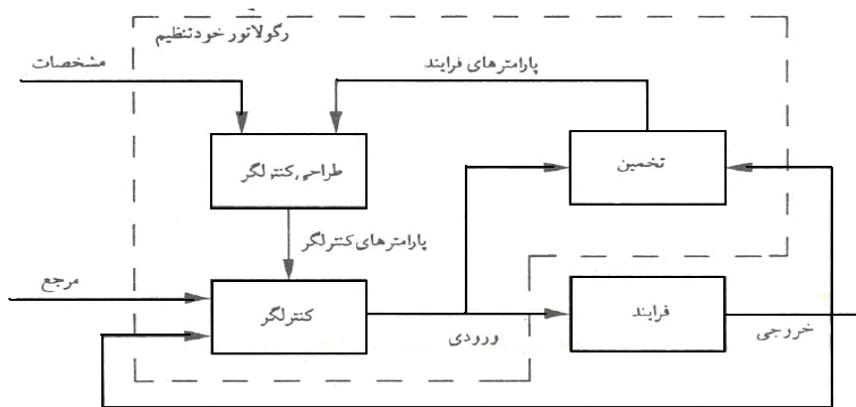
که در آن W ماتریس قطری وزن است. در نتیجه تخمین حد اقل مربعات به کمک تخمین زیر به دست می آید:

$$\hat{\theta} = (\Phi^T W \Phi)^{-1} \Phi^T W Y \quad (14-5)$$

۴-۲-۵ رگولاتورهای خود تنظیم

در کنترلر خود تنظیم ابتدا پارامتر های سیستم را تخمین می زنیم و سپس پارامتر های کنترلر کننده را محاسبه می کنیم. چون در این روش نیاز است که پارامتر های تخمین زده شده به پارامتر

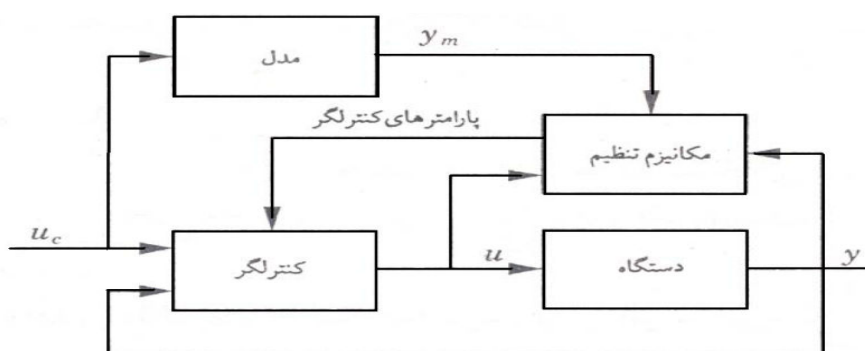
های کنترلر کننده تبدیل شوند. این روش کنترل تطبیقی غیر مستقیم نامیده می شود. اغلب می توان مدل را به گونه ای پارامتری کرد که پارامتر های کنترلر مستقیما قابل تخمین باشند. این روش کنترل تطبیقی مستقیم نامیده می شود. یک نمونه از این رگولاتور ها در شکل (۱-۵) نشان داده شده است [۳۶].



شکل(۱-۵): نمودار بلوکی یک رگولاتور خود تنظیم

۵-۲-۵ کنترل تطبیقی مدل-مرجع

سیستم کنترل تطبیقی مدل-مرجع یکی از کنترلگرهای تطبیقی مهم است. این سیستم را می توان بصورت یک سیستم سِرُو تطبیقی در نظر بگیریم، که در آن عملکرد مطلوب توسط مدل مرجعی که به سیگнал فرمان پاسخ مطلوب می دهد بیان شده است. این کار روشهای مناسب برای ارائه مشخصات یک مسئله سِرُو است. به طور کلی، یک سیستم کنترل تطبیقی مدل-مرجع را می توان به صورت شکل (۲-۵) نمایش داد.



شکل(۲-۵): نمودار بلوکی سیستم تطبیقی مدل مرجع

البته در سیستم کنترل تطبیقی مدل-مرجع، فرض می شود که ساختار دستگاه معلوم داشته باشد، اگر چه پارامترهای آن ناشناخته اند. در دستگاههای خطی، این بدان معنی است که فرض کنیم تعداد قطبها و صفرهای دستگاه معلوم است، ولی محل این قطبها و صفرها معلوم نیست. در دستگاههای غیر خطی، این فرض منتهی می شود به اینکه ساختار معادلات دینامیکی معلوم ولی بعضی از پارامترها نا معلوم است [۳۶].

۱-۵-۲-۵ قاعده ^۶ MIT :

قاعده *MIT* روش اصلی کنترل تطبیقی مدل-مرجع است. نام این قاعده بر اساس این واقعیت است که این روش اولین بار در آزمایشگاه ابزار دقیق در *MIT* مطرح شده است. برای ارائه قاعده *MIT*، سیستم حلقه بسته ای را در نظر می گیریم که در آن کنترلگر دارای یک پارامتر قابل تنظیم θ است. پاسخ حلقه-بسته مطلوب به کمک مدلی با خروجی y_m مشخص می شود. فرض کنید e خطای بین خروجی y سیستم حلقه-بسته و خروجی y_m مدل باشد. یک امکان، تنظیم پارامتر به گونه ای است کهتابع تلف زیر کمینه گردد.

$$J(\theta) = \frac{1}{2} e^2 \quad (15-5)$$

برای کوچک کردن J ، منطقی به نظر می رسد که پارامترها در جهت گرادیان منفی J تغییر دهیم، در نتیجه

$$\frac{d\theta}{dt} = -\lambda e \frac{\partial e}{\partial \theta} \quad (16-5)$$

که در آن λ مقدار ثابتی است. رابطه فوق، قاعده معروف *MIT* است. مشتق جزئی $\frac{\partial e}{\partial \theta}$ که مشتق حساسیت نامیده می شود بیانگر نحوه تأثیر پذیری خطا از پارامترهای قابل تنظیم است. اگر فرض شود که پارامترها بسیار آهسته تراز سایر متغیرهای سیستم تغییر می کنند، مشتقات $\frac{\partial e}{\partial \theta}$ تحت شرایط وجود θ ، قابل محاسبه هستند [۳۶].

⁶ Massachusetts Institute of Technology

حال مراحل پیاده سازی یکی از الگوریتم های کنترل تطبیقی مدل مرجع که در این پایان نامه از آن استفاده شده را بیان می کنیم [۳۷ و [۴۱] :

۱ - سیستم یک ورودی- یک خروجی زیر را در نظر می گیریم

$$y_p = G_p(s)u_p = K_p \frac{Z_p(s)}{R_p(s)} u_p \quad (۱۷-۵)$$

$$R_p(s) = S^{n_p} + a_{n_{p-1}}S^{n_p-1} + \dots + a_1S + a_0 \quad (۱۸-۵)$$

$$Z_p(s) = S^{m_p} + b_{m_{p-1}}S^{m_p-1} + \dots + b_1S + b_0 \quad (۱۹-۵)$$

بهره فرکانس بالای سیستم و $R_p(s)$ ، $Z_p(s)$ چند جمله ای های صفر و قطب K_p سیستم است.

۲ - مدل مرجعی را بصورت زیر انتخاب می کنیم

$$y_m = w_m(s)r \quad (۲۰-۵)$$

$$w_m(s) = k_m \frac{Z_m(s)}{R_m(s)} \quad (۲۱-۵)$$

$$R_m(s) = S^{p_m} + a_{p_{m-1}}S^{p_m-1} + \dots + a_1S + a_0 \quad (۲۲-۵)$$

$$Z_m(s) = S^{q_m} + b_{q_{m-1}}S^{q_m-1} + \dots + b_1S + b_0 \quad (۲۳-۵)$$

بهره ثابت و k_m چند جمله ای های صفر و قطب است. ورودی مرجع نیز r است.

قبل از انتخاب ساختار کنترل کننده فرضیاتی برای سیستم و مدل مرجع در نظر می گیریم. این محدودیتها از آنجا ناشی می شود که مثلاً درجه ی کنترل کننده ناخواسته بزرگ نشود و یا حذف صفر و قطبی در صفرهای غیر مینیمم فاز رخ ندهد.

➤ فرضیات سیستم

$Z_p(s)$ چند جمله ای هورویتز (سیستم مینیمم فاز است) و تکین از درجه ی m_p است.

- درجه ی n_p و حد بالای آن n است. $R_p(s)$ -P2

- درجه ای نسبی سیستم $n^* = n_p - m_p$ معلوم است. $P3$

- علامت بهره ای فرکانس بالای سیستم معلوم است. $P4$

➤ فرضیات مدل مرجع

$q_m < n$ هستند که $Z_m(s)$ و $R_m(s)$ چند جمله ای های هوروتویز تکین از درجه q_m, p_m هستند.

- درجه نسبی مدل مرجع با درجه ای نسبی سیستم برابر است، $M2$

چنانچه بخواهیم محدودیتهای فوق را تخفیف دهیم لازم است ساختار کنترل را پیچیده تر کنیم.

-۳ انتخاب ساختار کنترل کننده

سیکنال کنترل را بصورت زیر انتخاب می کنیم که فقط سیکنالهای قابل اندازه گیری در آن لحاظ شده است.

$$u_p = \theta_1^{*T} \frac{\alpha(s)}{A(s)} u_p + \theta_2^{*T} \frac{\alpha(s)}{A(s)} y_p + \theta_3^* y_p + c_0^* r \quad (24-5)$$

بردار پارامترهای کنترل کننده را اینگونه تعریف می کنیم که ابعاد آن به درجه سیستم بستگی دارد.

$$\begin{aligned} \theta^* &= [\theta_1^{*T}, \theta_2^{*T}, \theta_3^*, c_0^*]^T \\ \theta_1^*, \theta_2^* &\in R^{n-1} \\ c_0^*, \theta_3^* &\in R^n \end{aligned} \quad (25-5)$$

دیگر چند جمله ای های استفاده شده نیز به این صورت هستند.

$$\alpha(s) = \alpha_{n-2}(s) = [s^{n-2}, s^{n-3}, \dots, s, 1]^T \quad for \quad n \geq 2 \quad (26-5)$$

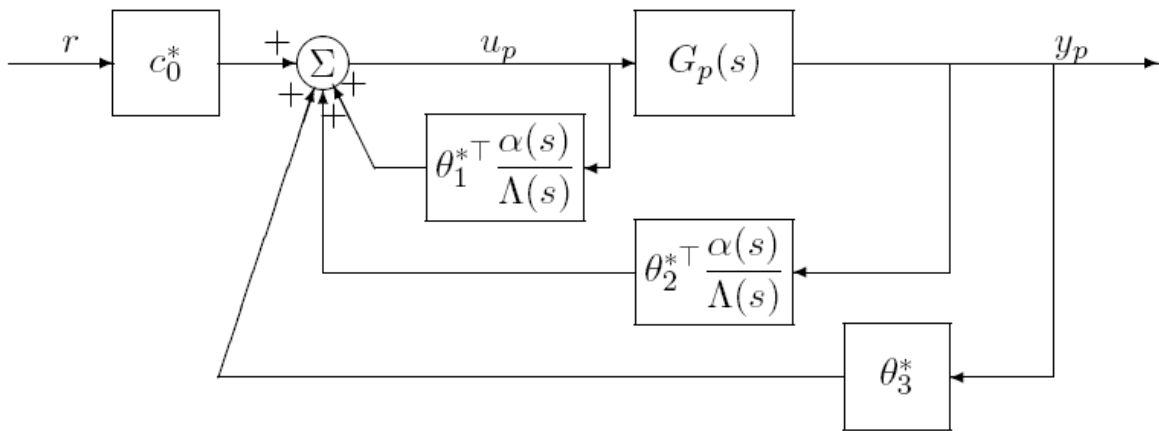
$$(27-5)$$

هم چند جمله ای با درجه $n-1$ ، دلخواه و تکین و پایدار است و دارای عامل $Z_m(s)$ است.

$$A(s) = A_0(s) Z_m(s) \quad (28-5)$$

هم چندجمله ای با درجه $n-1-q_m$ ، دلخواه و تکین پایدار است).

بلوک دیاگرام این ساختار کنترلی در شکل(۳-۵) زیر نشان داده شده است :



شکل (۳-۵): ساختار کنترل کننده

حالا می توان سیستم حلقه بسته را با این سیکنال کنترل تشکیل داد که لازم است برابر تابع تبدیل مدل مرجع باشد ولی چون درجه ی این دو سیستم برابر نیست باید حذف صفر و قطبی در ساختار حلقه بسته رخ دهد و به دلیل مینیمم فاز بودن سیستم و پایدار بودن کنترل کننده این حذف صفر و قطب در ناحیه C^- صورت گرفته و ناپایداری داخلی ایجاد نمی شود. لذا سیستم حلقه بسته پایدار خواهد بود.

باتوجه به سیستم حلقه بسته کشیده شده در شکل(۷-۵) :

$$y_p = G_c(s)r \quad (29-5)$$

$$G_c(s) = \frac{c_0^* k_p Z_p \Lambda^2}{\Lambda [(\Lambda - \theta_1^{*T} \alpha(s)) R_p - K_p Z_p (\theta_2^{*T} \alpha(s) + \theta_3^{*T} \Lambda)]} \quad (30-5)$$

حال اگر پارامترهای کنترلر را به گونه ای انتخاب کنیم که سیستم حلقه بسته حاصل پایدار شود در اینصورت رابطه $G_c(s) = W_m(s)$ برقرار خواهد بود یعنی :

$$\frac{c_0^* k_p Z_p \Lambda^2}{\Lambda [(\Lambda - \theta_1^{*T} \alpha(s)) R_p - K_p Z_p (\theta_2^{*T} \alpha(s) + \theta_3^{*T} \Lambda)]} = k_m \frac{Z_m}{R_m} \quad (31-5)$$

با ساده سازی به رابطه زیر می رسیم :

$$\alpha(s)R_p(s) + k_p(\theta_2^{*T}\alpha(s) + \theta_3^*\Lambda(s))Z_p = \Lambda(s)R_p(s) - Z_p(s)\Lambda_0(s)R_m \quad (32-5)$$

این رابطه معادله سازگاری^۷ نام دارد. قطب های سیستم حلقه بسته در $Z_p(s)\Lambda_0(s)R_m(s)$ جایابی می شوند. لذا درجه ی سیستم حلقه بسته $2n-1$ است و کنترل کننده مدل مرجع با مرتبه $n-1$ حداقل است.

قانون کنترل بالا را می توان به صورت فضای حالت هم بیان کرد در واقع با تحقق فضای حالت از سیکنال کنترل، فیلتر زیر حاصل می شود.

$$\dot{w}_1 = Fw_1 + gu_p \quad w_1(0) = 0 \quad (33-5)$$

$$\dot{w}_2 = Fw_2 + gy_p \quad w_2(0) = 0 \quad (34-5)$$

$$u_p = \theta^{*T}w \quad (35-5)$$

$$w = [w_1^T \quad w_2^T \quad y_p \quad r]^T \quad (35-5)$$

$$\theta^* = [\theta_1^{*T}, \theta_2^{*T}, \theta_3^*, c_0^*]^T, \quad c_0^*, \theta_3^{*T} \in R^1 \quad \theta_1^*, \theta_2^* \in R^{n-1} \quad (36-5)$$

فیلتر شده u_p, y_p و w_1, w_2

$$F = \begin{bmatrix} -\lambda_{n-2} & -\lambda_{n-3} & -\lambda_{n-4} & \cdots & -\lambda_0 \\ 1 & 0 & 0 & \cdots & 0 \\ 0 & 1 & 0 & \cdots & 0 \\ \vdots & \vdots & \ddots & \ddots & \vdots \\ 0 & 0 & \dots & 1 & 0 \end{bmatrix}, \quad g = \begin{bmatrix} 1 \\ 0 \\ \vdots \\ 0 \end{bmatrix} \quad (37-5)$$

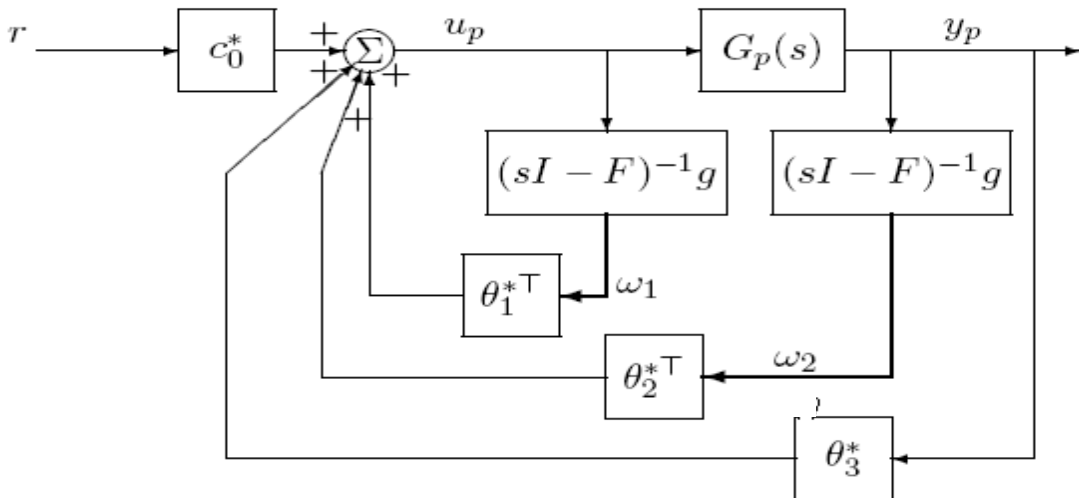
λ_i ها ضرایب $\Lambda(s)$ هستند.

$$\Lambda(s) = s^{n-1} + \lambda_{n-2}s^{n-2} + \cdots + \lambda_1s + \lambda_0 = \det(sI - F) \quad (38-5)$$

$$(sI - F)^{-1}g = \frac{\alpha(s)}{\Lambda(s)}$$

بلوک دیاگرام سیستم حلقه بسته با ساختار کنترل کننده فوق در شکل (۴-۵) نشان داده شده است:

^۷ Matching Equation



شکل (۴-۵): ساختار کلی سیستم و کنترل کننده

۲-۵-۲ مکانیسم تخمین پارامترها

در این بخش یک مدل پارامتری مشابه ساختار سیستم در نظر گرفته می شود که خروجی آن $\hat{Y}(t, \theta)$ است و بردار پارامترها $\theta(t)$ را بطور لحظه ای تنظیم می کند تا سیگنال ورودی به سیستم با گذشت زمان، پاسخ سیستم اصلی $y(t)$ و سیستم فرضی $\hat{Y}(t, \theta)$ را بهم نزدیک کند. در این صورت بردار پارامترها در لحظه $\theta(t)$ تخمین مناسبی از بردار پارامترهای نامعلوم سیستم است. قانون تطابق بردار پارامترها در لحظه $\theta(t)$ این $\hat{\theta}(t)$ است که حالت های آن θ_i ها هستند و به گونه ای طراحی می شود که اغلب یک معادله دیفرانسیل است که حالت های آن $\dot{\theta}_i$ ها هستند و به گونه ای طراحی می شود که تابع هزینه ای که خطای بین $y(t)$ و $\hat{Y}(t, \theta)$ ^۸ است را حداقل کند. مانند روش گرادیان خطأ^۹ و روش حداقل مربعات خطأ^{۱۰} یا یک شرط پایداری را برآورده کند مثل انتخاب یک تابع لیاپانوف^{۱۱}. در روش اخیر بین خطای تخمین $y(t) - \hat{Y}(t, \theta)$ و خطای پارامترهای سیستم $\theta(t) - \hat{\theta}(t)$ ، از طریق یک تابع اکید حقیقی مثبت که همان تابع لیاپانوف است و معمولاً مربعی انتخاب می شود ارتباط برقرار می شود و از لم کالمون یاکوبوویچ برای استخراج قانون تطابقی که مشتق زمانی تابع لیاپانوف را غیر مثبت کند، استفاده می گردد. همچنین از لم باربالات [۲۸] برای نتیجه گیری در مورد صفر شدن خطای سیستم استفاده می شود. در اینجا لازم است چند مفهوم و لم آورده شود.

⁸ MIT Rule

⁹ Least square method

¹⁰ lyapunove

➤ برای تابع زمانی $x(t)$ داریم

هرگاه $x \in L_\infty$ موجود و متناهی باشد.

هرگاه برای $x \in L_p$ موجود و متناهی باشد $(\int_0^\infty |x(t)|^p dt)^{\frac{1}{p}}$, $p \in [1, \infty)$

➤ تعریف مثبت حقیقی بودن (SPR)^{11}

یک تابع تبدیل گویای $G(s)$ با درجه نسبی $n < I$, اکیداً مثبت حقیقی است اگر و تنها اگر

قطب و صفر ناپایداری نداشته باشد. .a

برای هر $\omega \in (-\infty, \infty)$ داشته باشیم .b

$\lim_{|w| \rightarrow \infty} \frac{w^2 \operatorname{Re}[G(jw)]}{jw} > 0$ آنگاه $n^* = I$ اگر .c

$\lim_{|w| \rightarrow \infty} \frac{\operatorname{Re}[G(jw)]}{jw} > 0$ آنگاه $n^* = -I$ اگر

➤ لم کالمن یاکوبوویچ $(MKY)^{12}$

اگر تابع تبدیل $G(s)$ با ماتریس های فضای حالت $A, B, C, d > 0$, اکید مثبت حقیقی باشد ، آنگاه برای هر ماتریس مثبت و متقارن L ، بردار q و کمیت نرده ای $v > 0$ ، ماتریس مثبت و متقارن p وجود دارد که در معادلات زیر صدق می کند.

$$\begin{aligned} P_c A_c + A_c^T P_c &= -qq^T - v_c L_c \\ P_c \bar{B}_c &= C_c \\ L_c = L_c^T > 0 \quad \text{and} \quad v_c > \end{aligned} \tag{39-5}$$

q یک بردار و شرطی روی کنترل پذیری و روئیت پذیری سیستم نیست.

¹¹ Strictly positive Real

¹² Meye kalman yakubovich lemma

► لم بار بالات^{۱۳}

اگر g تابع حقیقی از متغیر t و بطور یکنواخت پیوسته باشد و $\lim_{t \rightarrow \infty} \int_0^t g(s)ds$ موجود و متناهی باشد، آنگاه $\lim_{t \rightarrow \infty} g(t) = 0$ از این لم برای اثبات صفر شدن خطای تخمین استفاده می شود.

در ادامه روش تخمین پارامترها به روش مبتنی بر انتخاب تابع لیاپانوف، آورده شده است.

مدل پارامتری خطی زیر را برای سیستم در نظر می گیریم

$$z = W(s)\rho^* \theta^{*T} \varphi \quad (40-5)$$

φ بردار ورودی- خروجی و $\rho^* \theta^{*T}$ به پارامترهای سیستم بستگی دارد. $W(s)$ هم تابع تبدیلی مثبت حقیقی است. (می توان نشان داد با فیلتر کردن سیگنال های ورودی خروجی سیستم، چنین مدلی از سیستم قابل دستیابی است). اگر مقدار واقعی پارامترها، θ^* باشد و تخمین آن در لحظه t ، باشد و تخمین z در لحظه t ، $\hat{z} = \theta - \tilde{\theta}$ باشد، خطای تخمین را به این صورت تعریف می کنیم :

$$\begin{aligned} \hat{z} &= W(s)\rho^* \theta^T \varphi \\ \varepsilon &= z - \hat{z} = W(s)\rho^* (\tilde{\theta}^T \varphi) \end{aligned} \quad (41-5)$$

که می تواند خروجی سیستمی با تحقق فضای حالت زیر باشد.

$$\dot{Y}_c = A_0 Y_c + B_c u_p, \quad Y_c(0) = Y_0$$

$$y_p = C_c^T Y_c$$

$$u_p = \theta^T w$$

$$\begin{aligned} A_0 &= \begin{bmatrix} A_p & 0 & 0 \\ 0 & F & 0 \\ gC_p^T & 0 & F \end{bmatrix}, \quad B_c = \begin{bmatrix} B_p \\ g \\ 0 \end{bmatrix} \\ C_c^T &= [C_p^T, 0, 0] \end{aligned} \quad (42-5)$$

¹³ Barbalat lemma

با اضافه و کم کردن $B_c \theta^{*T} w$ داریم :

$$\dot{Y}_c = A_0 Y_c + B_c \theta^{*T} w + B_c (u_p - \theta^{*T} w) \quad (43-5)$$

با ساده سازی :

$$\dot{Y}_c = A_0 Y_c + B_c c_0^* r + B_c (u_p - \theta^{*T} w), \quad Y_c(0) = Y_0$$

$$y_p = C_c^T Y_c$$

$$A_c = \begin{bmatrix} A_p + B_p \theta_3^* C_p^T & B_p \theta_1^* & B_p \theta_2^{*T} \\ g \theta_3^* C_p^T & F + g \theta_1^{*T} & g \theta_2^{*T} \\ g C_p^T & 0 & F \end{bmatrix}, \quad B_c = \begin{bmatrix} B_p \\ g \\ 0 \end{bmatrix}$$

$$C_c^T = [C_p^T, 0, 0] \quad (44-5)$$

حال اگر خطای را بصورت زیر تعریف کنیم

$$e = Y_c - Y_m \quad (45-5)$$

$$e_1 = y_p - y_m$$

خروجی مطلوب مدل مرجع است (Y_m)

معادله خطای زیر بدست می آید :

$$\dot{e} = A_c e + B_c (u_p - \theta^{*T} w), \quad e(0) = e_0 \quad (46-5)$$

چون

$$C_c^T (sI - A_c)^{-1} B_c C_0^* = w_m(s) \quad (47-5)$$

با ساده سازی رابطه زیر بدست می آید :

$$e_1 = w_m(s) \rho^* (u_p - \theta^{*T} w)$$

$$\rho^* = \frac{1}{c_0^*} \quad (48-5)$$

که با جایگزینی $u_p = \theta^T(t)w$ معادله زیر بدست می آید :

$$\dot{e} = A_c e + \bar{B}_c \rho^* \tilde{\theta}^T w, \quad e(0) = e_0 \quad (49-5)$$

$$e_1 = C_c^T e$$

یا

$$e_1 = w_m(s) \rho^* \tilde{\theta}^T w \quad (50-5)$$

$$\bar{B}_c = B_c c_0^*$$

حال نوبت به انتخاب تابع لیاپانوف می رسد. این تابع رابطه ای از خطای سیستم و خطای همگرایی پارامترهاست. به این صورت

$$V(\tilde{\theta}, e) = -\frac{1}{2} e^T q q^T e - \frac{\nu}{2} e^T L_c e - e^T P_c B_c \rho^* \tilde{\theta}^T w + \tilde{\theta}^T \Gamma^{-1} \dot{\tilde{\theta}} |\rho^*| \quad (51-5)$$

که در آن ماتریس Γ متقارن و مثبت معین است و در لم MKY صدق می کند. اگر مشتق

این تابع را حساب کنیم داریم:

$$\dot{V} = -\frac{e^T q q^T e}{2} - \frac{\nu}{2} e^T L_c e + e^T P_c \bar{B}_c \rho^* \tilde{\theta}^T w + \tilde{\theta}^T \Gamma^{-1} \dot{\tilde{\theta}} |\rho^*| \quad (52-5)$$

برای پایداری سیستم لازم است مشتق تابع لیاپانوف مثبت نشود به این منظور قانون تطابق را مطابق زیر انتخاب می کنیم. Γ نیز بهره تنظیم است.

$$\dot{\tilde{\theta}} = \dot{\theta} = -\Gamma e_1 w sgn(\rho^*) \quad (53-5)$$

که با این انتخاب $\dot{V} = -\frac{e^T q q^T e}{2} - \frac{\nu_c}{2} e^T L_c e$ عبارتی غیر مثبت است. لذا سیستم حلقه بسته پایدار است.

این مکانیسم تخمین تضمین می کند :

- ۱ تمامی سیکنالهای حلقه بسته کراندار باشند ($\varepsilon, \theta \in L_\infty$)
- ۲ اگر ورودی تحریک کننده پایا از مرتبه $2n$ باشد و $Z_p(s), R_p(s)$ نسبت به هم اول باشند در این صورت خطای ردیابی بصورت نمایی به صفر میل می کند و پارامترها نیز به مقادیر واقعی سریع همگرا می شوند.

این کنترل کننده تضمین می کند در زمان محدود، پاسخ سیستم خروجی مدل مرجع را دنبال کند. البته در این جا مهم صفر شدن خطای ردیابی است و پارامترهای کنترل کننده می توانند به مقادیر درستی همگرا نشوند ولی خطای ردیابی صفر شود [۳۷] و [۳۸].

۳-۵ کنترل تطبیقی مقاوم

کنترل تطبیقی مدل مرجع ابتدا برای سیستم های زمان پیوسته و قطعی ارائه شد و بعد به سیستم های زمان گسسته و سیستم های با اغتشاشات اتفاقی تعمیم داده شد. در بخش قبل از قواعد کنترلی و تنظیمی استفاده شد که بر مبنای ساختاری بدون اغتشاش، نویز و دینامیک های مدل نشده بود، حال آنکه سیستم واقعی می تواند ابعاد نامتناهی^{۱۴}، دینامیک های غیر خطی مدل نشده و دارای ورودی خروجی های آشفته از اغتشاش های خارجی و نویز باشد. از اینرو پیاده سازی آنچه در پیشتر بدست آمد بر روی سیستم واقعی ممکن است به ناپایداری سیستم حلقه بسته بینجامد و سیستم حلقه بسته به اصطلاح مقاومت^{۱۵} لازم در مقابل پاره ای از نامعینی^{۱۶} ها و اغتشاش ها نداشته باشد. این نامعینی ها را می توان به شکل های مختلفی نشان داد: نامعینی جمع شونده^{۱۷}، نامعینی ضرب شونده^{۱۸} و... گروهی دیگر از نامعینی ها ناشی از تغییر در مقدار پارامترهای سیستم به دلیل تغییر نقطه کار یا فرسوده شدن قطعات سیستم است که به آن نامعینی نامعینی ساختار یافته^{۱۹} می گویند. نمونه هایی از ناپایداری در ساختارهای تطبیقی با قانون های تطابقی ایده آل عبارتند از: انحراف پارامترها^{۲۰} به بینهایت، ناپایداری ناشی از بهره بزرگ^{۲۱}، ناپایداری ناشی تطابق سریع^{۲۲}، ناپایداری در فرکانس های بالا^{۲۳}. پس لازم است ساختار تطبیقی که طراحی کرده ایم، برای مواجه با این پدیده ها مقاوم کنیم. روش های متنوعی برای این کار ارائه شده که دسته بندی کلی آن شامل مقاوم کردن شناسایی و مقاوم کردن کنترل کننده است [۲۸] و [۳۹] و [۳۷].

^{۱۴} Infinite Dimension

^{۱۵} Robustness

^{۱۶} uncertainty

^{۱۷} Additive uncertainty

^{۱۸} Multiplicative uncertainty

^{۱۹} Structured uncertainty

^{۲۰} Parameter Drift

^{۲۱} High gain instability

^{۲۲} Fast adaptation

^{۲۳} High frequency instability

۱-۳-۵ کنترل مقاوم

در این مورد با تغییر شکل سیگنال کنترل مقاومت لازم را ایجاد می کنند. مثلاً در کنترل کننده تطبیقی ساختار متغیر^{۲۴} سیگنال به شکل $u = \theta^T w + u_{vs}$ است که جزء سوئیچینگ u_{vs} به روش‌های متعددی تعیین می شود.

کنترل تطبیقی ساختار متغیر [۴۰]

سیستم و مدل مرجع را مطابق رابطه (۱-۵) و (۲-۵) و با همان فرضیات $P1-P4$ و $M1-M2$ در نظر می گیریم. چنانچه یک ترم نامعینی که می تواند اغتشاش d باشد، به سیستم اعمال شود معادله خطای سیستم بصورت زیر خواهد بود.

$$e = F_m e + g\tilde{\theta}^T \varphi + gd \quad |d(t)| \leq \hat{d} \quad (۵۴-۵)$$

$$e_1 = [1 \cdots 0]e$$

$$\varphi = [w_1 \quad y_p \quad w_2 \quad r]^T$$

$$\theta = [\theta_1 \quad \dots \quad \theta_{2n}]$$

که (F_m, g) تحقیق مینیمال $W_m(s)$ است. در این صورت با انتخاب تابع لیاپانوف (۵۵-۵) می توان نشان داد سیستم حلقه بسته با سیگنال کنترل ساختار متغیر (۵-۵) و تخمین گر (۲۰-۵) پایدار است.

$$V(\hat{\theta}, \hat{d}, e) = \frac{e^T p_c e}{2} + \frac{\hat{\theta}^T I^{-1} \hat{\theta}}{2} |\rho^*| + \frac{\alpha^{-1} \tilde{d} \tilde{d}}{2} |\rho^*|, \quad \tilde{d} = \hat{d} - d \quad (۵۶-۵)$$

$$u = \theta^T \varphi + u_{vs} \quad (۵۷-۵)$$

$$u_{vs} = -\hat{d} sgn(e_1) \quad (۵۸-۵)$$

$$\begin{aligned} \dot{\theta} &= -\gamma u e_1 \\ \hat{d} &= \alpha |e_1| \quad \alpha > 0 \end{aligned} \quad (۵۹-۵)$$

²⁴ Variable structure control

۵-۳-۲ شناسایی مقاوم

یکی از قسمت های اصلی ساختار تطبیقی واحد شناسایی و تخمین پارامتر ها ست و باز یکی از عوامل مهم ناپایدار شدن ساختار تطبیقی در مواجه با اختشاش و نامعینی، بیکاران شدن خروجی این واحد یعنی تخمین ها است. برای این منظور دو روش کلی وجود دارد.

✓ استفاده از سیگنالهای ورودی با خاصیت تحریک پایا (PE)

یکی از شرطهای همگرا شدن تخمین پارامتر ها به مقادیر واقعی، وجود تحریک پایا در شناسایی است بنابراین پایا بودن سیگنال مرجع و در نتیجه^{۲۶} نوعی مقاومت در حضور اختشاش ایجاد می کند.

✓ اصلاح قانون تطابق

مقاوم نبودن ساختار تطبیقی، ابتدا به مکانیسم تطابق بر می گردد چرا که ذات غیر خطی آن ناشی از خطاهای مدل سازی است. بنابر این یکی از راه های مقاوم کردن سیستم، اصلاح قانون های تطابق با هدف نزدیک کردن خواص ایده آل آنها با حالتی است که اختشاش و نامعینی در سیستم وجود داشته باشد. این خواص عبارتند از:

$$\varepsilon, \theta \in L_{\infty} - 1$$

$$\dot{\varepsilon}, \dot{\theta} \in L_2 - 2$$

که اولی کراندار بودن سیگنال های حلقه بسته و دومی صفر شدن خطای سیستم را تضمین می کند.

افرودن جمله نشتی^{۲۵}، استفاده از باند سکوت^{۲۶} [۲۸] و تصویر کردن پارامترها^{۲۷} و نرمالیزه کردن داده ها^{۲۸} از روشهای معمول اصلاح قانون تطابق است[۳۷]. در این پایان نامه افروزدن جمله نشتی ثابت به قانون تطابق برای مقاوم کردن ساختار تطبیقی استفاده شده است که نشان می دهیم سیستم حلقه بسته با این اصلاح، در حضور نامعینی یا اختشاش پایدار است.

²⁵ leakage

²⁶ Dead zone

²⁷ Parameter projection

²⁸ Normalization

► افزودن جمله نشتی

در این روش برای جلوگیری از انحراف پارامترها، یک جمله به قانون تطابق افزوده می‌شود تا مشتق تابع لیا لپانوف را در زمان هایی که پارامترها از محدوده ای تجاوز می‌کنند منفی نیمه معین کند. قانون تطابق را اینگونه اصلاح می‌کنیم.

$$\dot{\theta} = -\Gamma e_1 \varphi - \Gamma w(t) \theta \quad (59-5)$$

$w(t)$ متغیر طراحی است و انتخاب‌های متنوعی برای آن مطابق زیر وجود دارد [۳۷]:

fixedσ-modification - ۱

یک انتخاب ساده برای w ، چنین است: $w(t) = \sigma > 0$ که

$$\dot{\theta} = -\Gamma e_1 \varphi - \Gamma \sigma \theta \quad (60-5)$$

می‌توان نشان داد هرچند سیستم حلقه بسته پایدار است و تخمین پارامترها بی‌کران نمی‌شود لکن ردیابی بطور کامل انجام نمی‌شود و حتی بعد از حذف شدن اغتشاش خطای حالت ماندگار وجود دارد.

σ-Switching - ۲

از جمله نشتی به منظور جلوگیری از انحراف پارامترها استفاده کردیم بنابر این لازم نیست که مکانیسم اصلاح در زمانی که پارامترها در محدوده مناسب قرار دارند فعال باشد. یک راه حل برای این منظور چنین است:

$$w(t) = \sigma_s, \quad \sigma_s = \begin{cases} 0 & \text{if } |\theta| \leq M_0 \\ (\frac{|\theta|}{M_0} - 1)^{q_0} \sigma_0 & \text{if } M_0 < |\theta| \leq 2M_0 \\ \sigma_0 & \text{if } |\theta| > 2M_0 \end{cases} \quad (61-5)$$

که $\sigma_0 / \theta^* / \leq M_0$ کران بالای پارامترهاست. با این انتخاب ضمن پایداری حلقه بسته، خطای حالت دائمی بعد از حذف اغتشاش صفر می‌شود (البته به شرط تحریک

پایا بودن w) ولی خطای همگرایی در حضور اغتشاش همچنان وجود دارد. ضعف دیگر این روش نیاز به دانستن کران بالای پارامترهاست که در حالت عادی نامعلوم است.

$\varepsilon_1 - modification$ - ۳

در حالت ایده آل خطای سیستم e_1 , با گذشت زمان صفر می شود، پس بالانتخاب $w(t) = |e_1|v_0$ جمله نشته را در زمان بعد از برطرف شدن اغتشاش صفر می کنیم. به این ترتیب خواص قانون تطابق ایده آل پس از بر طرف شدن اغتشاش تحت تأثیر جمله نشته قرار نمی گیرد.

► نرمالیزه کردن داده ها^{۲۹}

روشهایی که برای ایجاد مقاومت در ساختار تطبیقی استفاده می کنیم برای $L_\infty \in u$ یعنی ورودی کراندار صادق بود ولی ممکن است ورودی سیستم کراندار نباشد این امر در سیستم هایی که ناپایدارهستند رخ می دهد. برای آنکه بتوان از این روش ها برای سیستم های ناپایدار استفاده کرد راه حلی وجود دارد و آن نرمالیزه کردن سیگنالهای ورودی است. هر چند سیستمی که در این پایان نامه مورد نظر است پایدار است و نیازی به نرمالیزه کردن سیگنال ها نیست ولی برای ارائه اثبات پایداری حالت کلی، چگونگی طراحی سیگنال نرمالیزه را برای یک حالت ساده نشان می دهیم.

سیستم ساده زیر را در نظر می گیریم :

$$y(t) = \theta^* u(t) \quad (62-5)$$

که سیگنال های u, y لزوماً کراندار نیستند .

خطای تخمین e_1 را بصورت زیر در نظر می گیریم :

$$\begin{aligned} \hat{y} &= \theta u \\ e_1 &= y - \hat{y} \end{aligned} \quad (63-5)$$

(θ تخمین θ^* است)

چون تضمینی برای کران دار بودن y, u وجود ندارد. مسئله مینیمم سازی زیر خوش تعریف نیست^{۳۰}. بنابراین از روش های مرسوم برای بدست آوردن قانون تطبیق نمی توانیم استفاده کنیم.

²⁹ Normalizaion

³⁰ ill posed

$$\min_{\theta}^{J(\theta)} = \min \frac{(y - \theta u)^2}{2} \quad (64-5)$$

این مشکل با تقسیم کردن طرفین (۶۲-۵) بر یکتابع که به سیگنال نرمالیزه شده^{۳۱} معروف است
بر طرف می شود :

$$\bar{y} = \theta^* \bar{u} \quad (65-5)$$

که

$$\bar{y} = \frac{y}{m} , \bar{u} = \frac{u}{m} \quad (66-5)$$

بترتیب مقادیر نرمالیزه شده y و u هستند. و $n_s^2 = m^2 = 1 + n_s^2$ که سیگنال n_s به گونه ای انتخاب
می شود که

$$\frac{u}{m} \in L_{\infty} \quad (67-5)$$

یک انتخاب ساده برای n_s می تواند بصورت زیر باشد :

$$n_s = u \rightarrow m^2 = 1 + u^2 \quad (68-5)$$

چون $\bar{u} \in L_{\infty}$ حال می توانیم قانون کنترل تطبیق را پیدا کنیم :

$$\min_{\theta}^{J(\theta)} = \min \frac{(\bar{y} - \theta \bar{u})^2}{2} = \min \frac{(y - \theta u)^2}{2m^2} \quad (69-5)$$

با استفاده از روش گرادیان(۱۶-۵) می توان بسادگی قانون تطبیق را بدست آورد :

$$\dot{\theta} = \gamma \bar{\epsilon}_1 \bar{u} , \gamma > 0 \quad (70-5)$$

۳-۳-۵ کنترل تطبیقی مدل مرتع مقاوم [۹]

سیستم با معادلات (۱۳-۵) را در نظر می گیریم در صورتی که سیستم فرضیات ذکر شده برای
سیستم و مدل مرتع ($P1, P2, P3, P4, M1, M2$) را برآورده کند در اینصورت معادله خطای حلقه
بسته را می توان بصورت زیر نوشت :

$$\begin{aligned} \dot{e} &= A_c e + B_c \frac{k_p}{k_m} (u_p - \theta^{*T} w + \eta^*) \\ e_1 &= C_c^T \end{aligned} \quad (71-5)$$

^{۳۱} Normalizing signal

که η^* یک اغتشاش محدود و A_c, B_c, C_c تحقق مینیمال مدل مرجع هستند یعنی :

$$\eta^* = \frac{1}{k_p k_m} (1 - \theta_1^{*T} F(s)) w_m(s) d \quad (72-5)$$

$$C_c^T (SI - A_c)^{-1} B_c = W_m(s) \quad (73-5)$$

θ^* باید با استفاده از یک مکانیسم تطبیقی تخمین زده شود. از اینرو معادلات (۲۴-۵) را می

توان بصورت زیر نوشت :

$$\begin{aligned} u_p &= \theta^T w \\ \tilde{\theta} &= \theta - \theta^* \\ \dot{e} &= A_c e + B_c \frac{k_p}{k_m} (\tilde{\theta}^T w + \eta) \\ e_1 &= C_c^T e = w_m(s) \frac{k_p}{k_m} (\tilde{\theta}^T w + \eta^*) \end{aligned} \quad (74-5)$$

حال نوبت به انتخاب تابع لیاپانوف می رسد. این تابع رابطه ای از خطای سیستم و خطای همگرایی پارامترهاست. به این صورت

$$V(\tilde{\theta}, e) = \frac{e^T P_c e}{2} + \frac{\tilde{\theta}^T \Gamma^{-1} \tilde{\theta}}{2} |\rho^*| \quad (75-5)$$

که در آن ماتریس Γ^{-1} متقارن و مثبت معین است و P_c در لم MKY صدق می کند. برای در نظر گرفتن اثر اغتشاش یک قانون تطبیقی اصلاح شده با افزودن یک جمله نشتبه در نظر گرفته می شود:

$$\dot{\theta} = -\Gamma e_1 w \operatorname{sgn}\left(\frac{k_p}{k_m}\right) - \Gamma \sigma \theta \operatorname{sgn}\left(\frac{k_p}{k_m}\right) \quad (76-5)$$

σ یک ثابت کوچک است.

می توان نشان داد که مشتق تابع لیاپانوف با در نظر گرفتن (۷۶-۵) بصورت زیر است:

$$\dot{V}(\tilde{\theta}, e) = \frac{-1}{2} e^T L_c e + e_1 \left(\frac{k_p}{k_m}\right) \eta^* - \tilde{\theta}^T \sigma \left(\frac{k_p}{k_m}\right) \quad (77-5)$$

$$-\sigma^* \tilde{\theta}^T \theta \leq -\frac{\sigma^*}{2} |\tilde{\theta}|^2 + \frac{\sigma^*}{2} |\theta^*|^2 \quad (78-5)$$

که

$$\sigma^* = \sigma\left(\frac{k_p}{k_m}\right) \quad (79-5)$$

$$e_1\left(\frac{k_p}{k_m}\right)\eta^* \leq c|e|\bar{\eta} \quad (80-5)$$

$$c = \|C_c^T\|, \bar{\eta} = \sup_{t>0} \left| \eta^*\left(\frac{k_p}{k_m}\right) \right| \quad (81-5)$$

$$-\frac{1}{2}e^T L_c e \leq -\frac{1}{2}\lambda_c |e|^2 \leq -\frac{1}{2}\frac{\lambda_c}{c}e_1^2 \quad (82-5)$$

از اینرو پس از ساده سازی داریم:

$$\dot{V}(\tilde{\theta}, e) \leq -\frac{1}{2}\lambda_c |e|^2 + c|e|\bar{\eta} - \frac{\sigma^*}{2}|\tilde{\theta}|^2 + \frac{\sigma^*}{2}|\theta^*|^2 \quad (83-5)$$

می توان نشان داد که

$$-\frac{1}{2}\lambda_c |e|^2 + c|e|\bar{\eta} \leq -\frac{1}{4}\lambda_c |e|^2 + \frac{c^2}{\lambda_c} \bar{\eta}^2 \quad (84-5)$$

برای

$$\begin{aligned} \lambda_p &= \lambda_{max}(p_c) \\ \lambda_T &= \lambda_{max}(\Gamma^{-1}\left(\frac{k_p}{k_m}\right)) \end{aligned} \quad (85-5)$$

داریم

$$V(\tilde{\theta}, e) = \frac{e^T p_c e}{2} + \frac{\tilde{\theta}^T \Gamma^{-1} \tilde{\theta}}{2} \left| \frac{k_p}{k_m} \right| \leq \frac{\lambda_p}{2} |e|^2 + \frac{\lambda_T}{2} |\tilde{\theta}|^2 \quad (86-5)$$

با اضافه و کم کردن $\alpha V(\hat{\theta}, e)$ به طرف چپ (83-5) :

$$\dot{V}(\tilde{\theta}, e) \leq -\alpha V - \left(\frac{\lambda_c}{2\lambda_p} - \alpha \right) \frac{\lambda_p}{2} |e|^2 - \left(\frac{\sigma^*}{\lambda_T} - \alpha \right) \frac{\lambda}{2} |\tilde{\theta}|^2 + \frac{c^2}{\lambda_c} \bar{\eta}^2 + \frac{\sigma^*}{2} |\theta^*|^2 \quad (87-5)$$

حال با انتخاب $\alpha = \min\left\{\frac{\lambda_c}{2\lambda_p}, \frac{\sigma^*}{\lambda_T}\right\}$ و ساده سازی :

$$\dot{V}(\tilde{\theta}, e) \leq -\alpha V + \frac{c^2}{\lambda_c} \bar{\eta}^2 + \frac{\sigma^*}{2} |\theta^*|^2 \quad (88-5)$$

پس برای

$$V_0 = \frac{c^2}{\lambda_c \alpha} \bar{\eta}^2 + \frac{\sigma^*}{2\alpha} |\theta^*|^2 \quad (89-5)$$

معادلات (75-5) و (83-5) کراندار بودن کلیه سیگنال های حلقه بسته را تضمین می کند.

۳-۵ ۴- تحلیل سیستم و کنترل کننده :

با انتخاب خروجی به صورت جابجایی بدن و شتاب بدن که هر دو قابل اندازه گیری هستند و بنابرای نیازی به رویتگر نیست، تابع انتقال سیستم به ورودی کنترل (f_a) به صورت زیر است :

$$y_p = z_s + \frac{1}{s}(\ddot{z}_s) \quad (90-5)$$

$$y_p = G_u(s)f_a + G_d(s)z_r \quad (91-5)$$

$$G_u(s) = \frac{A}{B} \quad (92-5)$$

$$G_d(s) = \frac{C}{B} \quad (93-5)$$

$$A = m_u s^3 + (m_u + b_s + b_t)s^2 + (b_s + b_t + k_s + k_t)s + k_s + k_t$$

$$B = m_s m_u s^4 + (m_s(b_s + b_t) + m_u b_s)s^3 + (m_s(k_s + k_t) + b_s b_t +$$

$$m_u k_s)s^2 + (b_s k_t + b_t k_s)s + k_s k_t \quad (94-5)$$

$$C = b_s b_t s^3 + (b_s k_t + k_t b_t + b_s b_t)s^2 + (b_s k_t + k_s b_t + k_s k_t)s + k_s k_t$$

ضرایب چند جمله‌ای‌های صفر و قطب سیستم به پارامترهای $m_s, m_u, b_s, k_t, b_t, m_s, m_u$ بستگی دارد و همانطور که گفته شد این پارامترها متغیر با زمان هستند.

با استفاده از مقادیر جدول (۱-۷) :

$$G_u(s) = .003 \frac{s^3 + s^2 + 3700s + 3700}{s^4 + 20.4s^3 + 3563s^2 + 1.11e4s + 1.86e5} \quad (95-5)$$

تابع انتقال نامی سیستم مینیمم فاز و پایدار از مرتبه ۴ با درجه نسبی ۱ است. قطب‌های سیستم در $[-4.12e-12 \mp 7.19i] - 1.46 \mp 58.15i$ و صفرهای آن در $[56.74i - 1]$ قرار دارد. بهره فرکانس بالای آن ۰.۰۰۳ می‌باشد. رتبه ماتریس کنترل پذیری و رویت پذیری کامل است لذا سیستم کنترل پذیر و رویت پذیر است. تابع انتقال مدل مرجع همان قانون کنترل امپدانس در نظر گرفته شده است. بهره فرکانس بالای آن ۱ است. سیستم و مدل مرجع شرایط $p1$ تا $p4$ و $M2, M1$ را دارد. بنابراین با توجه به مطالبی که پیشتر آمد ساختار کنترل کننده تطبیقی مطابق زیر خواهد بود :

$$\dot{w}_1 = Fw_1 + gu_p \quad w_1(0) = 0 \quad (94-5)$$

$$\dot{w}_2 = Fw_2 + gy_p \quad w_2(0) = 0 \quad (95-5)$$

$$F = \begin{bmatrix} -12 & -15 & -12 \\ 1 & 0 & 0 \\ 0 & 1 & 0 \end{bmatrix} \quad g = \begin{bmatrix} 1 \\ 0 \\ 0 \end{bmatrix} \quad (96-5)$$

$$u_p = \theta^{*T} w \quad (97-5)$$

$$w = [w_1^T \quad w_2^T \quad y_p \quad r] \quad w_1^T, w_2^T \in R^3 \quad (98-5)$$

$$\theta^* = [\theta_1^{*T} \quad \theta_2^{*T} \quad \theta_3^* \quad c_0^*] \quad \theta_1^{*T}, \theta_2^{*T} \in R^3 \quad (99-5)$$

بردار پارامتر های کنترلر ۸ تایی و فیلتر سیگنال های ورودی خروجی از مرتبه ۳ است. با توجه به روابطی پیشتر آمد سیستم با هر شرایط اولیه ای پایدار است و قانون بروز کرد پارامترهای کنترلر به صورت زیر است :

$$\dot{\theta} = -\Gamma e_1 w \operatorname{sgn}\left(\frac{K_p}{K_m}\right) - \Gamma \sigma \theta \operatorname{sgn}\left(\frac{K_p}{K_m}\right) \quad (100-5)$$

برای حذف اغتشاش ناشی از ناهمواریهای جاده که قابل اندازه گیری می باشد. با توجه به مطالبی که در فصل ۴ آمد می توان نیروی اعمالی به سیستم تعليق را بصورت زیر در نظر گرفت:

$$f_a = f_{a_1} + f_{a_2} \quad (101-5)$$

f_{a_1} نیروی است که کنترل کننده تطبیقی تولید می کند و f_{a_2} را می توان نیروی مورد نیاز برای حذف اغتشاش در نظر گرفت. این نیرو را می توان با فرموله کردن دینامیک سیستم تعليق بدست آورد. با فرض $G_f(s) = \frac{A}{B}$ و $G_u(s) = \frac{K}{B}$ داریم:

$$y_p = G_u(s)f_a + G_f(s)f_{dis} \quad (102-5)$$

$$y_p = \frac{A}{B}(f_{a_1} + f_{a_2}) + \frac{K}{B}f_{dis} = \frac{A}{B}f_{a_1} + \frac{A}{B}f_{a_2} + \frac{K}{B}f_{dis} \quad (103-5)$$

با انتخاب

$$f_{a_2} = -\frac{K}{A}f_{dis} = -\frac{(b_s s^2 + (b_s + K_s)s + K_s)}{m_u s^3 + m_u s^2} f_{dis} \quad (104-5)$$

و اندازه گیری f_{dis} با استفاده از رابطه (۱-۴) اغتشاش حذف می شود.

فصل ششم:

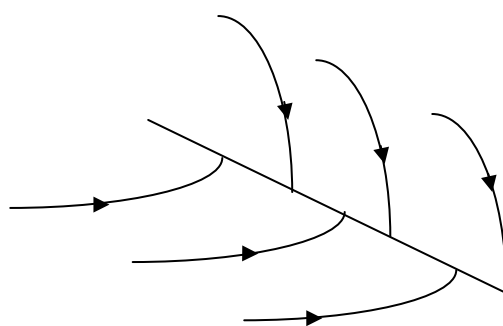
مود لغزشی

۱-۶ مود لغزشی^۱

دو روش اصلی و مکمل برای مقابله با عدم قطعیت های مدل، کنترل مقاوم و کنترل تطبیقی است که در فصل قبل بحث شد. یک روش ساده برای کنترل مقاوم، روش مود لغزشی است.

۱-۱-۱ طراحی مود لغزشی برای سیستم های یک ورودی

ایده ای که در کنترل مود لغزشی قرار دارد انتخاب یک سطح مناسب در فضای حالت است که معمولاً یک سطح ویژه خطی است و سطح کلید زنی نامیده می شود، که ورودی کنترل را روی این سطح کلید زنی نماییم. انتخاب ورودی کنترل مناسب تضمین می کند که مسیر های نزدیک سطح لغزش^۲ به طرف سطح جهت گیری کنند شکل (۱-۶). وقتی که سیستم روی سطح مهار گردید دینامیک حلقه بسته بطور کامل توسط معادلاتی اداره می شود که سطح را تعریف می کنند. در این روش از آنجا که پارامترهای تعریف کننده سطح بوسیله طراح انتخاب می شود دینامیک حلقه بسته سیستم بستگی به عدم قطعیت در پارامتر های سیستم و مقاومت آن خواهد داشت [۱].



شکل (۱-۶) سطح لغزش

^۱ Sliding mode

^۲ Sliding surface

طراحی قانون کنترل مود لغزشی را می توان در سه مرحله انجام داد:

۱- یک سطح لغزش متغیر با زمان مناسب $s(t)$ در فضای حالت $R^{(n)}$ با معادله اسکالر

$$s(x, t) = 0 \quad \text{تعریف می کنیم}$$

$$s(x, t) = \left(\frac{d}{dt} + \lambda\right)^{n-1} \quad (1-6)$$

و λ یک ثابت اکیدا مثبت است.

۲- یک قانون کنترل مناسب انتخاب می کنیم بطوری که مسیر های نزدیک سطح

بسوی سطح جهت گیری نمایند.

۳- دینامیک سیستم را روی سطح تعیین می کنیم.

۲-۱ شرایط وجود حرکت لغزشی

اگر همه مسیر های اطراف به سوی سطح لغزش جهت گیری کنند آنگاه سیستم روی سطح مهار خواهد شد. رفتار سیستم مقید به سطح، رژیم لغزش نامیده می شود. فرض کنید که سیستم ساختار متغیر زیر را داریم :

$$x = f(x) = \begin{cases} f^+(x) & \text{if } s(x) > 0 \\ f^-(x) & \text{if } s(x) < 0 \end{cases} \quad (2-6)$$

همانطور که می بینیم سیستم در $s=0$ تعریف نمی شود، اما فرض می کنیم که

$$\lim_{s \rightarrow 0^-} f(x) = f^-(x) \quad (3-6)$$

$$\lim_{s \rightarrow 0^+} f(x) = f^+(x) \quad (4-6)$$

که در آن بردار های $f^+(x)$ و $f^-(x)$ بخوبی تعریف می شوند. با محاسبه مشتق s نسبت به زمان از آنجا که مطلوب است که مسیر سیستم در اطراف سطح لغزش به سوی سطح جهت گیری نماید با توجه به معادلات فوق می توان شرط کافی برای وجود رژیم لغزش را به صورت زیر تعریف کرد:

$$\lim_{s \rightarrow 0} s \frac{ds}{dt} < 0 \quad (5-6)$$

یا

$$\lim_{s \rightarrow 0} \frac{1}{2} \frac{d}{dt} (s^2) < 0 \quad (6-6)$$

که بیانگر این است که $s^2 = v$ نقش تابع پیشنهادی لیاپانوف برای سیستم نسبت به سطح $S=0$ را بازی می کند [1].

می توان با انتخاب قانون کنترل u شرایط را به گونه ای بدست آورد که خارج از $(S(t)$

$$\frac{1}{2} \frac{d}{dt} (s^2) < -\eta |s| \quad (7-6)$$

در این رابطه η ثابت اکیدا حقیقی مثبت است. (7-6) بیان می کند که مربع فاصله تا این سطح، همچنان که با s^2 اندازه گیری شده، در امتداد تمامی مسیر های سیستم کاهش می یابد. لذا، شامل مسیر هایی است که به سمت سطح $(t) S$ است، همچنان که در شکل (1-6) نشان داده شده است [28].

به طور خاص، هنگامی که سیستم بر روی این سطح قرار بگیرد، مسیر های سیستم بر روی آن باقی می مانند. به عبارت دیگر، برقراری شرط (7-6)، یا شرط لغزش، این سطح را یک مجموعه نا متغیر می کند. این شرط همچنین ایجاب می کند که بعضی آشفتگی ها یا عدم قطعیت های دینامیکی را بتوان تحمل کرد در حالی که هنوز هم این سطح یک مجموعه نا متغیر باقی می ماند. (7-6) برقرار کننده (7-6) به عنوان سطح لغزش نامیده می شود، و به رفتار سیستم هنگامی که روی آن قرار می گیرد حالت لغزشی یا مود لغزشی می گویند [28].

۲-۶ روش کنترل معادل

روش کنترل معادل برای تعریف رفتار سیستم روی سطح لغزش است. در این روش متوسط ورودی کنترل را در نظر می گیریم. و پاسخ سیستم روی این سطح بعنوان پاسخ به این کنترل ایده آل است.

کنترل معادل با شرایط زیر تعریف می شود :

$$s = 0 \quad (8-6)$$

$$\dot{s} = 0 \quad (9-6)$$

اولین شرط (8-6)، تضمین می کند که سیستم روی سطح لغزش است. و دومین شرط (9-6)، تضمین می کند که سطح را ترک نمی کند. سیستم دینامیکی غیر خطی تک ورودی زیر را در نظر می گیریم:

$$x^{(n)} = f(x) + g(x) \quad (10-6)$$

که در آن اسکالر x خروجی مورد نظر، اسکالر u ورودی کنترل و $x^{(n-1)}$ بردار حالت اند. در معادله (10-6) تابع $f(x)$ و $g(x)$ دقیقاً معلوم نیست، ولی میزان عدم دقت بر روی آنها با یک تابع پیوسته معلوم از x محدود شده از بالاست. مسئله کنترل این است که حالت x را چنان بیابیم که یک حالت متغیر با زمان مشخص $x_d = [x_d \quad \dot{x}_d \quad \dots \quad x_d^{(n-1)}]^T$ را با وجود خطأ در تعقیب $f(x), g(x)$ کند.

با توجه به شرط (9-6) داریم:

$$\frac{ds}{dt} = \langle ds, f + gu \rangle = \langle ds, f \rangle + \langle ds, g \rangle u = 0 \quad (11-6)$$

اگر $\langle ds, g \rangle \neq 0$ آنگاه کنترل معادل که با u_{eq} نشان داده می شود به صورت زیر بدست می آید.

$$u_{eq} = -\frac{\langle ds, f \rangle}{\langle ds, g \rangle} \quad (12-6)$$

در این صورت دینامیک ایده آل سیستم روی سطح لغزش بصورت زیر بدست می آید.

$$\dot{x} = f(x) + g(x)u_{eq} = \left(I - \frac{gds}{\langle ds, f \rangle}\right)f(x) \quad (13-6)$$

۳-۶ پیاده سازی مود لغزشی بر روی محرکه

همانطور که پیش تر آمد سیستم کنترل دارای دو حلقه است. در حلقه بیرونی نیروی مطلوب توسط کنترل کننده تطبیقی تولید می شود و در حلقه داخلی ردگیری نیرو انجام می شود. در این پایان نامه برای ردگیری نیرو در حلقه داخلی از روش مود لغزشی استفاده شده است.

همانطور که در فصل ۲ آمد مدل یک محرکه هیدرولیکی را می توان بصورت زیر در نظر گرفت :

$$\dot{f}_a = -\alpha A_p(z_s - \dot{z}_u) - \beta f_a + \gamma x_{sp} \sqrt{P_s - sign(x_{sp})f_a/A_p} \quad (14-6)$$

که

$$\begin{aligned} \alpha &= 4\beta_e A_p/V_t \\ \beta &= \alpha C_{tp} A_p \\ \gamma &= \alpha C_d w A_p \sqrt{1/\rho} \end{aligned}$$

رابطه بین جریان ورودی i_{sv} با موقعیت شیر سوزنی x_{sp} به صورت زیر است [۱۰] :

$$\dot{x}_{sp} = \frac{1}{\tau} (k_{sv} \cdot i_{sv} - x_{sp}) \quad (15-6)$$

با توجه به این که τ بسیار کوچک است، دینامیک شیر بسیار سریعتر از دینامیک محرک عمل می کند. از این رو در کاربردهای عملی معادله (۱۵-۶) را می توان بصورت زیر ساده کرد [۲۰] :

$$k_{sv} \cdot i_{sv} - x_{sp} = 0 \quad (16-6)$$

در نتیجه (۱۴-۶) را می توان بصورت زیر ساده کرد :

$$\begin{aligned} \dot{f}_a &= -\alpha A_p(z_s - \dot{z}_u) - \beta f_a + \gamma k_{sv} u \sqrt{P_s - sign(u)f_a/A_p} \\ u &= i_{sv} \end{aligned} \quad (17-6)$$

با توجه به اینکه محرک ممکن است دینامیک مدل نشده و یا عدم قطعیت متغیر با زمان^۳ داشته باشد. برای داشتن عملکرد کنترلی مناسب فرض می کنیم تمام عدم قطعیت ها در دوتابع متغیر با زمان ($f(x_r, t), g(x_r, t)$) جمع شده است^۴ یعنی:

$$\dot{f}_a = f(x_r, t) + g(x_r, t)u \quad (18-6)$$

۶

$$f(x_r, t) = -\alpha A_p(z_s - z_u) - \beta f_a \quad (19-6)$$

$$g(x_r, t) = \gamma k_{sv} \sqrt{P_s - sgn(u)f_a/A_p} \quad (20-6)$$

که $x_r = [x_1 \ x_2 \ x_3 \ x_4 \ x_5]^T$ بردار حالت است. فرض می کنیم که محدوده تغییرات $f(x_r, t)$ و $g(x_r, t)$ مشخص است. تابع $f(x_r, t)$ و $g(x_r, t)$ را بصورت زیر در نظر می گیریم:

$$g(x_r, t) = g_m \cdot \Delta g \quad (21-6)$$

که g_m مقدار نامی و Δg عدم قطعیت ضرب شونده^۵ است. که در رابطه زیر صدق می کند [۲۰]:

$$0 < \beta_{min} \leq \Delta g \leq \beta_{max} \quad (22-6)$$

همچنین فرض می کنیم دینامیک $f(x_r, t)$ کاملاً مشخص نیست و تخمین آن \hat{f} است. خطای تخمین را بصورت زیر در نظر می گیریم:

$$|\hat{f} - f| \leq F \quad (23-6)$$

(تابع مشخصی است).

همانطور که پیش تر آمد یکی از راه های افزایش کیفیت رانندگی^۶ طراحی کنترلری است که نیروی تولیدی توسط حلقه خارجی (کنترل کننده تطبیقی) یا F_a را ردگیری کند. از این رو سطح لغزش را بصورت زیر در نظر می گیریم:

$$S = F_a - F_d + \int (F_a - F_d) dt = 0 \quad (24-6)$$

(نیرویی است که محرکه تولید می کند).

³ Time-varying uncertainty

⁴ Lumped

⁵ Multiplicative uncertainty

⁶ Ride quality

دینامیک خطای سیگنال S را می توان بصورت زیر محاسبه کرد :

$$\dot{S} = \dot{F}_a - \dot{F}_d + F_a - F_d \quad (25-6)$$

با جایگزاری (۱۸-۶) در (۲۵-۶) داریم :

$$\dot{S} = f(x_r, t) + g(x_r, t)u - \dot{F}_d = f(x_r, t) + g_m \cdot (\Delta g - 1)u + g_m u - \dot{F}_d + F_a - F_d \quad (26-6)$$

در نتیجه کنترل معادل را می توان بصورت زیر محاسبه کرد :

$$u_{eq} = \frac{1}{g_m} [-\hat{f} + \dot{F}_d - F_a + F_d] \quad (27-6)$$

که \hat{f} تخمین f است. برای اینکه شرط لغزش (۷-۶) علی رغم عدم قطعیت در دینامیک های f ،

برقرار باشد، بر روی سطح $S=0$ یک جمله ناپیوسته به u_{eq} اضافه می کنیم :

$$u = \frac{1}{g_m} [-\hat{f} + \dot{F}_d - F_a + F_d - \eta_1 S - \eta_2 sgn(S)] \quad (28-6)$$

پارامتر های η_1 و η_2 ثابت هایی هستند که باید انتخاب شوند.

با جایگزاری (۲۸-۶) در (۲۶-۶) دینامیک خطای رديابي برای محرکه بدست می آيد:

$$\dot{S} = -\eta_1 S - \eta_2 sgn(S) + (f - \hat{f}) + g_m \cdot (\Delta g - 1)u \quad (29-6)$$

حال اگر تابع لیاپانوف را بصورت زیر در نظر بگیریم:

$$V = \frac{1}{2} S^2 \quad (30-6)$$

با محاسبه مشتق (۳۰-۶) بصورت زیر:

$$\dot{V} = -\eta_1 S^2 - \eta_2 |S| + (f - \hat{f})S + g_m \cdot (\Delta g - 1)Su \quad (31-6)$$

با انتخاب η_1 و η_2 بصورت زیر:

$$\eta_2 = g_m \cdot (\beta_{max} - 1)u + F \quad (31-6)$$

داریم :

$$\dot{V} \leq -\eta_1 S^2 \quad (32-6)$$

در نتیجه پایداری مجانبی S با استفاده از لم باربالات^۷ اثبات می شود. که این نشان می دهد که رد گیری نیرو به خوبی انجام می شود.

⁷ Barbalat's lemma

۴-۶ لرزش کنترل^۸

در عمل اجرای کنترل کننده های ساختار متغیر به لرزش کنترل منجر می شود. رفتار ایده آل مود لغزشی از لحاظ تئوری وقتی است که بسامد کلید زنی بینهایت شود در عمل تاخیر کوچک، اما غیر صفر در کلید زنی کنترل باعث می شود که به هنگام کلید زنی، مسیر اندکی از سطح کلید زنی خارج شود. در عمل ناپیوستگی بزرگتر کنترل، لرزش کنترلی بیشتری را در پی خواهد داشت. در نتیجه مصالحه روشنی بین عدم قطعیت بیش از مقدار u_{eq} و اندازه طبیعت کنترل وجود دارد.

در برخی حالات، لرزش باعث تحریک فرکانس های بالا می شود و دینامیک مدل نشده در سیستم را تحریک می کند که منجر به از دست رفتن کیفیت عملکرد می شود. اما در بعضی حالات، کنترل می تواند برای یک کلید زنی در یک فرکانس خارج از فرکانس های تشدید سیستم برقرار گردد و لرزش قابل قبول است. نظیر آنکه با لوازم الکترونیک قدرت جدید می توان ولتاژ ورودی موتورها را در محدوده مگاهرتز کلید زنی کرد. در سایر حالات، مثلا وقتی گشتاور مفصل بعنوان ورودی انتخاب می شود فرکانس بالای کلید زنی قابل حصول نیست. همچنین در محرکه های هیدرولیک فرکانس باز و بسته کردن شیر ها می تواند منجر به آسیب سریع شود که نامطلوب است. یک روش برای غلبه بر اثرات نامطلوب لرزش کنترل معرفی لایه مرزی در اطراف سطح لرزش و تقریب کنترل کلید زنی بوسیله یک کنترل پیوسته داخل این لایه مرزی است [۱] و [۷]. بنابراین قانون کنترل ناپیوسته (۶-۲۸) را می توان با تقریب پیوسته زیر جایگزین کرد :

$$u = \frac{1}{g_m} [-\hat{f} + \dot{F}_d - \eta_1 S - \eta_2 sat(S/\varepsilon)] \quad (33-6)$$

که در آن $sat(S/\varepsilon)$ به صورت زیر تعریف می شود :

$$sat(S/\varepsilon) = \begin{cases} sgn(S/\varepsilon) & |S/\varepsilon| > 1 \\ (S/\varepsilon) & |S/\varepsilon| \leq 1 \end{cases} \quad (34-6)$$

⁸ Control Chattering

فصل هفتم:

عملکرد سیستم و نتایج

۱-۷ عملکرد سیستم و نتایج

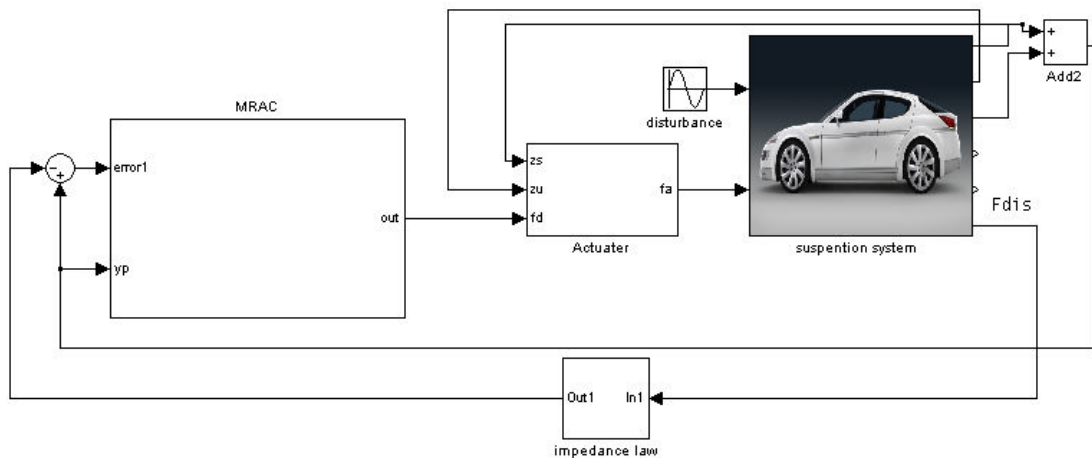
در فصل های قبل سیستم تحت کنترل و ساختار کنترل کننده بررسی گردید. در این فصل نتایج شبیه سازی ارائه می گردد.

شبیه سازی برای مقادیر سیستم تعليق و محرک هیدرولیک مطابق جدول (۱-۷) انجام شده است [۶].

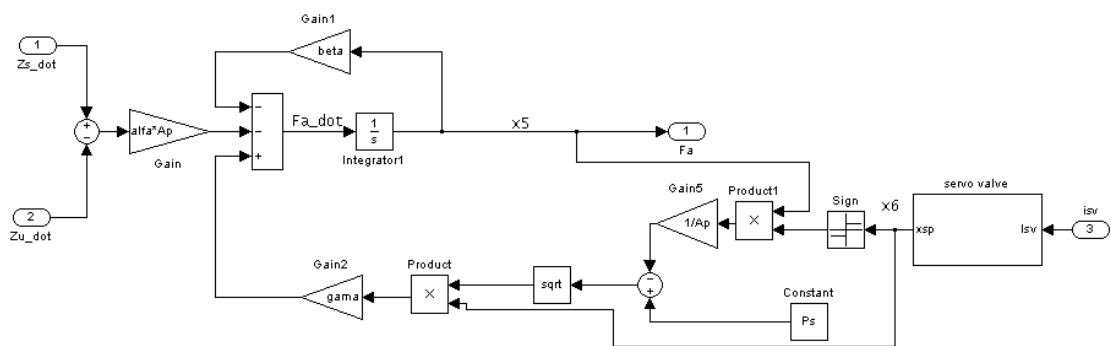
$m_s = 290 \text{ kg}$	$b_s = 1000 \text{ N}/(\frac{m}{\text{sec}})$	$k_s = 16812 \text{ N/m}$
$m_u = 59 \text{ kg}$	$b_t = 413 \text{ N}/(\frac{m}{\text{sec}})$	$k_t = 190000 \text{ N/m}$
$\beta = 1$	$A_p = 3.35e - 4 \text{ m}^2$	$\alpha = 4.51e13$
$\tau = .003 \text{ sec}$	$p_s = 10342500 \text{ Pa}$	$\gamma = 1.54e9$

جدول (۱-۷): مقادیر پارامتر های سیستم شبیه سازی شده

نمای کلی شبیه سازی سیستم تعليق فعال به همراه محرکه و کنترل کننده ها نرم افزار در شکل (۱-۷) آمده است. در شکل (۲-۷) بلوک دیاگرام محرک هیدرولیکی نشان داده شده است.



شکل (۱-۷): بلوك دياگرام سيسنتم تعليق فعال به همراه محركه و كنترل کننده



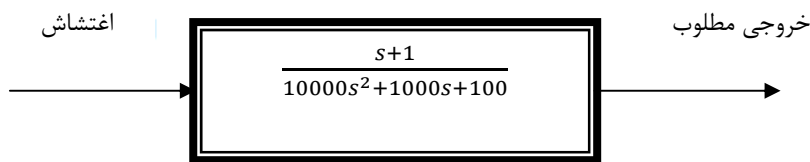
شکل (۲-۷): بلوك دياگرام محركه هيدروليكي

قانون کنترل اميدانس استفاده شده با انتخاب $M = 10000, B = 1000, K = 100$ بصورت زير

است:

$$\text{اعتراض} \rightarrow \frac{1}{10000s^2 + 1000s + 100} \rightarrow \text{خروجى مطلوب}$$

با توجه به مطالبی که در فصل ۵ آمد، مدل مرجع باید اکیداً حقیقی مثبت^۱ باشد لذا صفر تابع تبدیل با دقت انتخاب می‌شود:



دست انداز جاده به صورت زیر در نظر گرفته شده است [۵]:

$$z_r = .05 \sin(2\pi t)$$

ضرایب قانون تطبیق به صورت زیر انتخاب شده است :

$$\Gamma = 3e6$$

$$\sigma = 1e - 4$$

شبیه سازس سیستم کنترل در سه مرحله انجام شده است :

۲-۷ شبیه سازی سیستم کنترل با وارد کردن حرکه هیدرولیکی به سیستم حلقه بسته با استفاده از مود لغزشی

ضرایب قانون کنترل مود لغزشی نیز به صورت زیر انتخاب شده اند :

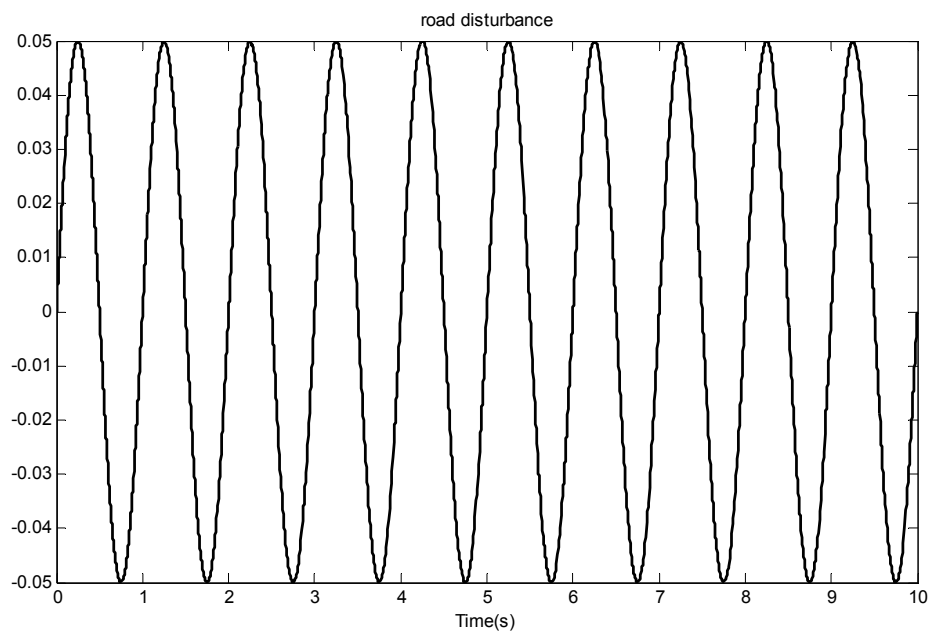
$$\eta_1 = 3e5 \quad \eta_2 = 100$$

نتایج شبیه سازی در ادامه آمده است :

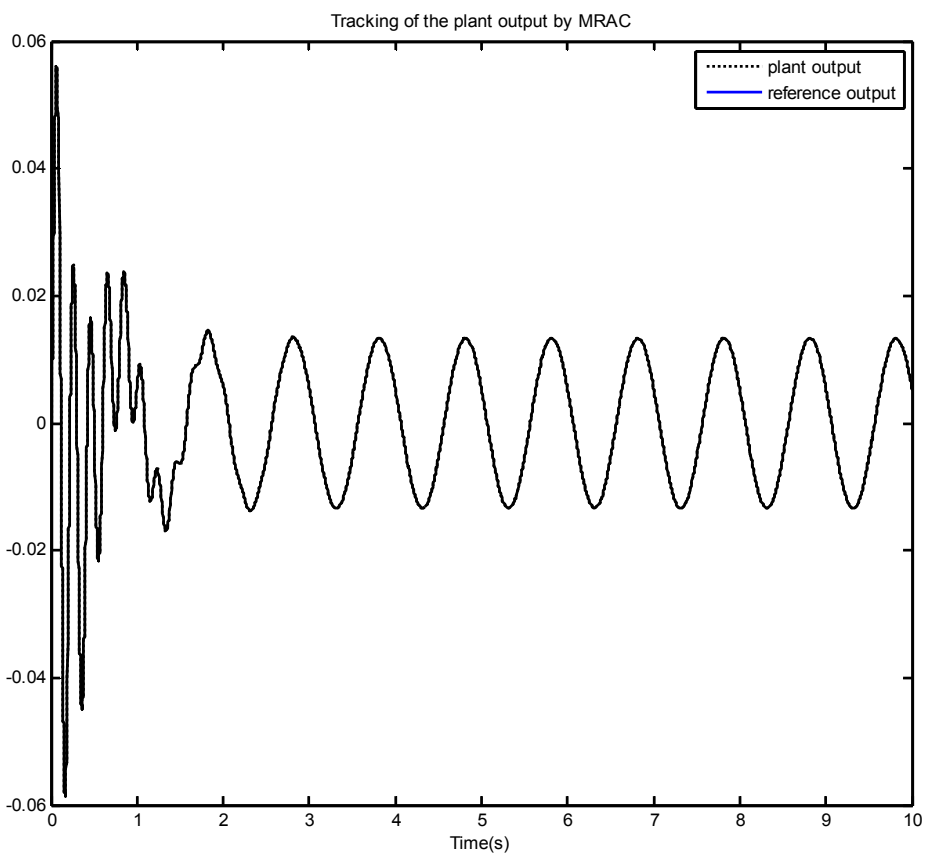
در شکل (۳-۷) اغتشاش جاده که به صورت یک دست انداز به سیستم تعليق خودرو وارد می‌شود نشان داده شده است.

در شکل (۴-۷) خروجی سیستم و خروجی مطلوب آورده شده، که با توجه به شکل (۶-۷) که خطای بین این دو را نشان می‌دهد، می‌توان به توانایی بسیار خوب و سریع سیستم کنترل در ردگیری خروجی مطلوب پی برد.

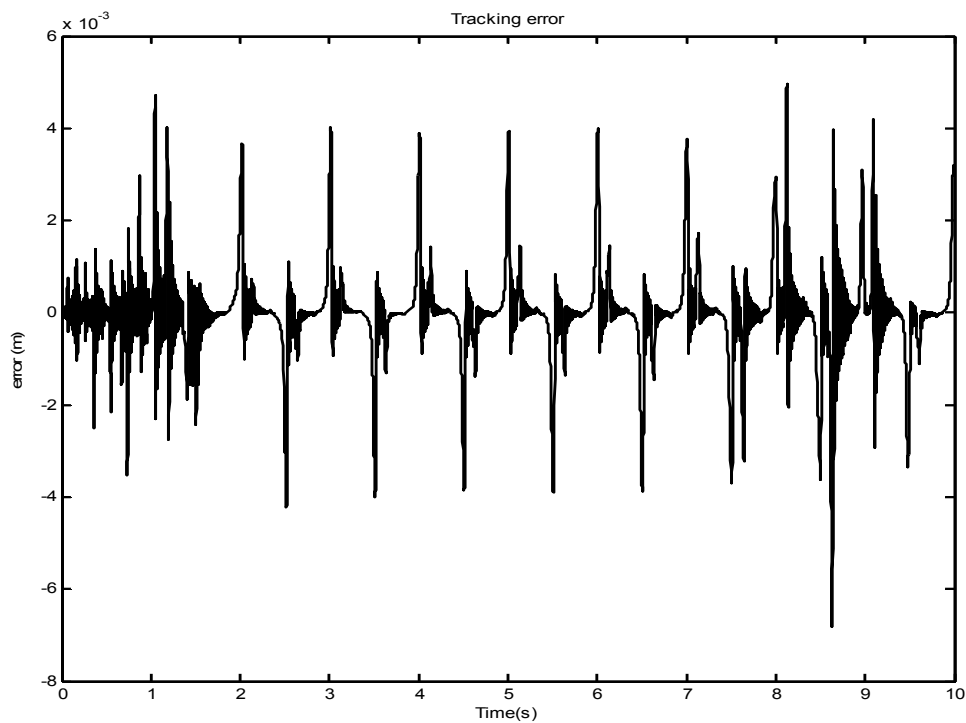
¹ SPR



شکل (۳-۷): دست انداز جاده

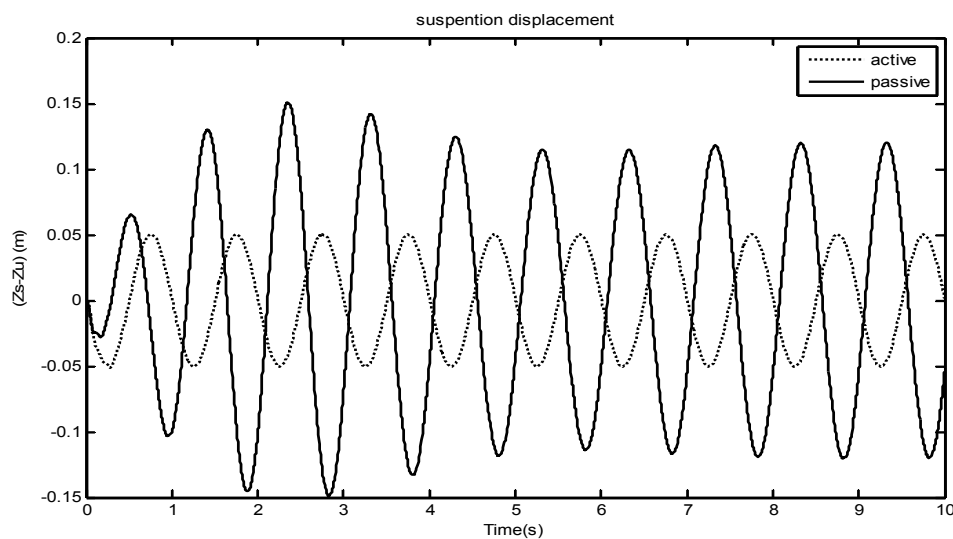


شکل (۵-۷): ردگیری خروجی سیستم و خروجی مدل مرجع



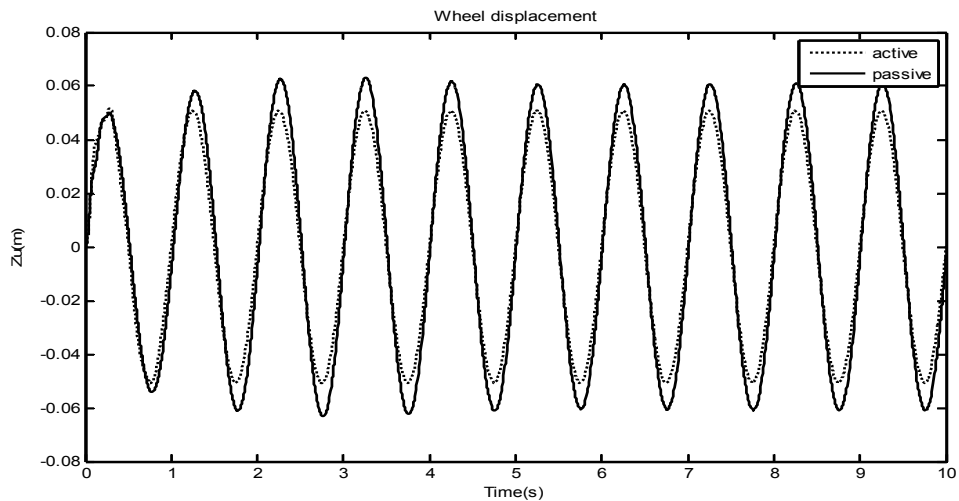
شکل (۷-۵): خطای بین خروجی سیستم و خروجی مدل مرجع

شکل (۷-۶) جابجایی سیستم تعليق برای دو حالت فعال و غیر فعال را نشان می دهد. همان گونه که مشاهده می شود در سیستم تعليق فعال نوسان به سرعت میرا گردیده است.



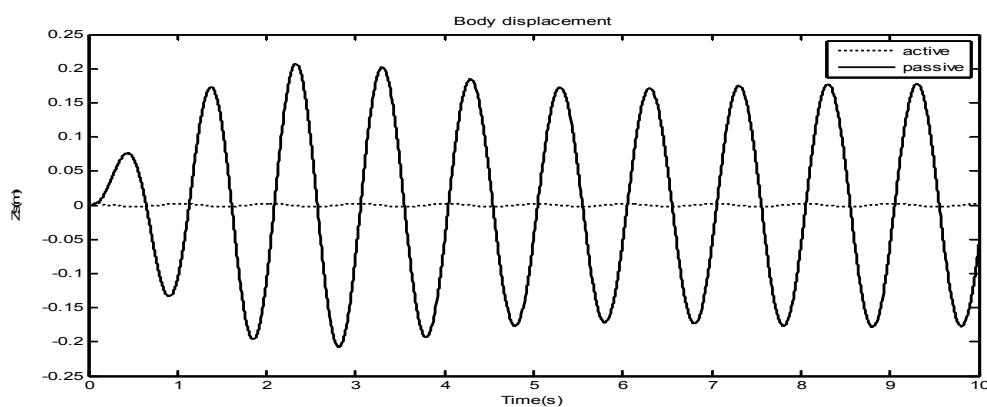
شکل (۷-۶): جابجایی سیستم تعليق در حالت فعال و غیر فعال

شکل (۷-۷) جابجایی عمودی چرخ در دو حالت فعال و غیر فعال را نشان می دهد. همان طور که مشاهده می شود در حالت فعال جابجایی عمودی چرخ کمتر است.



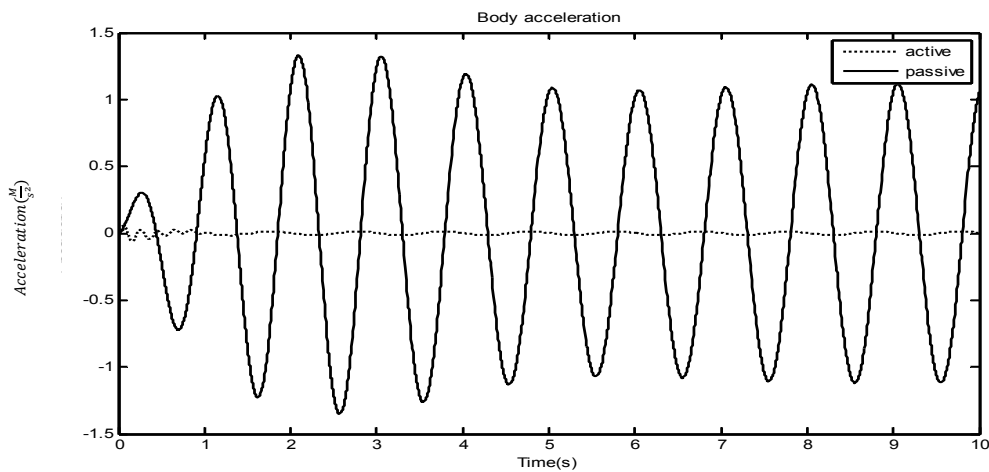
شکل (۷-۷): جابجایی چرخ

شکل (۸-۷) جابجایی عمودی بدن خودرو (جرم فعال) برای دو حالت تعليق فعال و غیر فعال نمایش داده شده که توانایی سیستم تعليق فعال در دفع اغتشاش جاده مشاهده می شود. جابجایی سیستم تعليق غیر فعال برای دست انداز جاده در حدود $177m$ است، در حالی که جابجایی سیستم تعليق فعال در حدود $200m$ می باشد که بهبودی در حدود 99% را نشان می دهد.



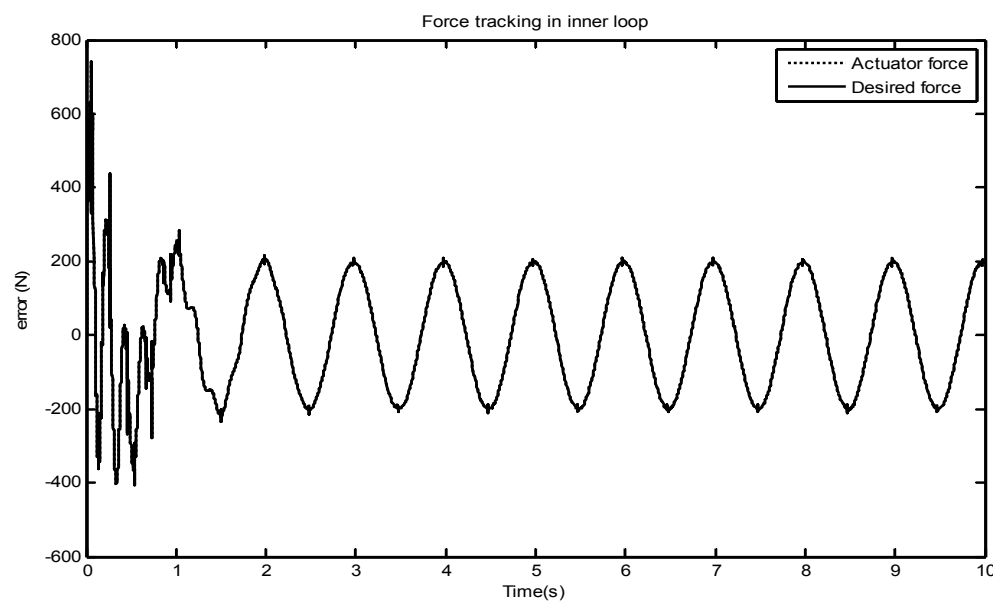
شکل (۸-۷): جابجایی بدن

شکل (۹-۷) شتاب عمودی بدن برای دو حالت تعليق فعال و غير فعال و توانایي سیستم تعليق فعال در کاهش شتاب عمودی را نشان می دهد. همانگونه که مشاهده می شود شتاب عمودی بدن در حالت تعليق فعال در حدود 14 m/s^2 در حالی که شتاب عمودی بدن در حالت تعليق غی فعال در حدود 1.1 m/s^2 می باشد که بهبودی حدود ۹۸٪ را نشان می دهد.



شکل (۹-۷): شتاب بدن

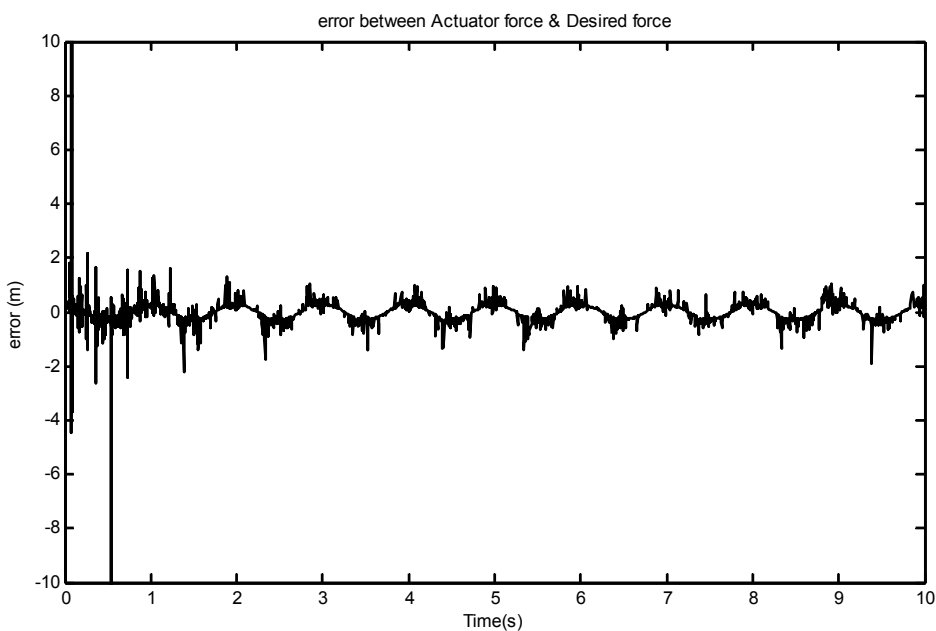
شکل (۱۰-۷) نیروی تولیدی توسط محرک هیدرولیکی و نیروی حاصل از کنترل کننده تطبیقی نشان داده شده است. همانطور که مشاهده می شود بدلیل حذف اغتشاش قبل از اعمال کنترل



شکل (۱۰-۷): نیروی محاسبه شده مطلوب و نیروی محرک

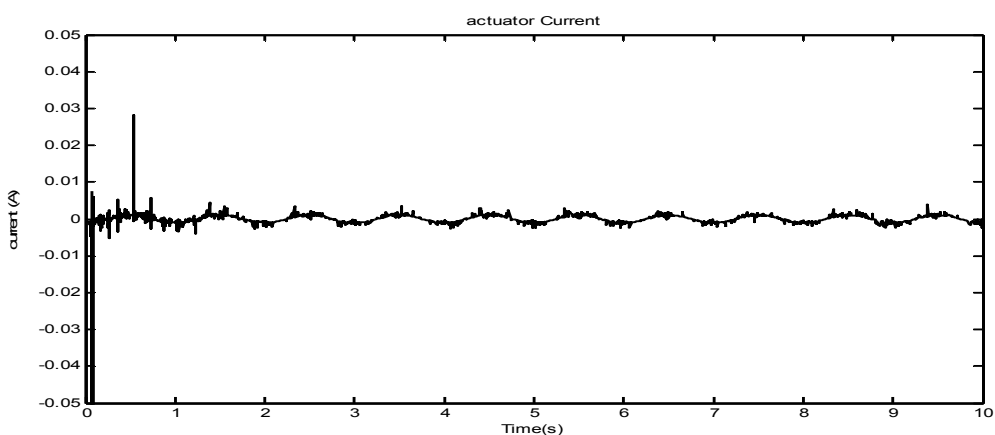
کننده نیروی تولیدی کم است یعنی با نیروی کمتری می‌توان سیستم را بخوبی کنترل کرد.

شکل (۱۱-۷) خطای ردگیری نیرو و شکل (۱۲-۷) جریان محرک هیدروليکی را نشان می‌دهد.

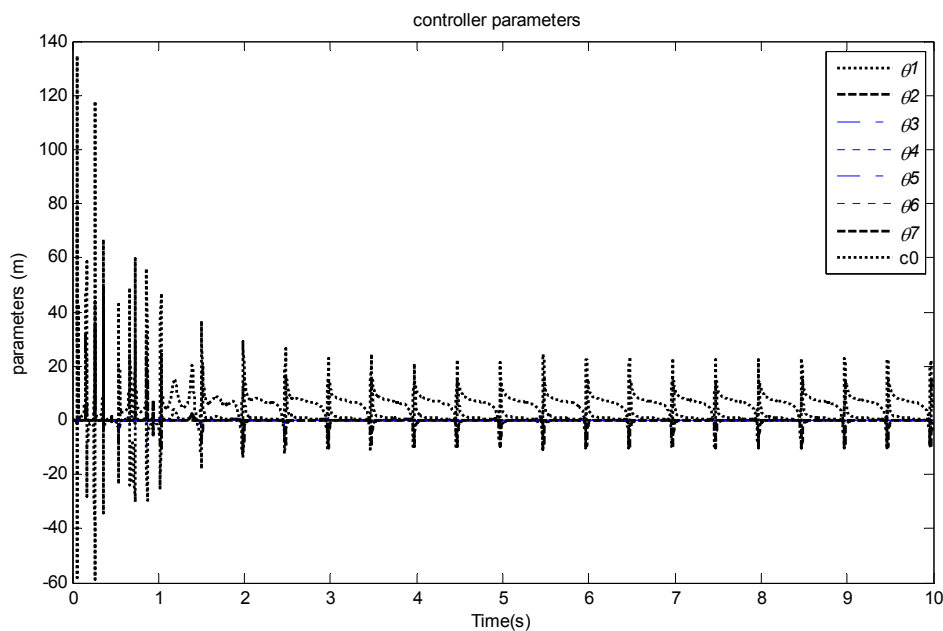


شکل (۱۱-۷): خطای ردگیری نیرو

شکل (۱۳-۷) پارامترهای کنترل را نشان می‌دهد و همانطور که مشاهده می‌شود همه پارامترهای کنترلر کوئندار هستند.



شکل (۱۲-۷): جریان ورودی محرک



شکل (۱۳-۷): پارامتر های کنترلر

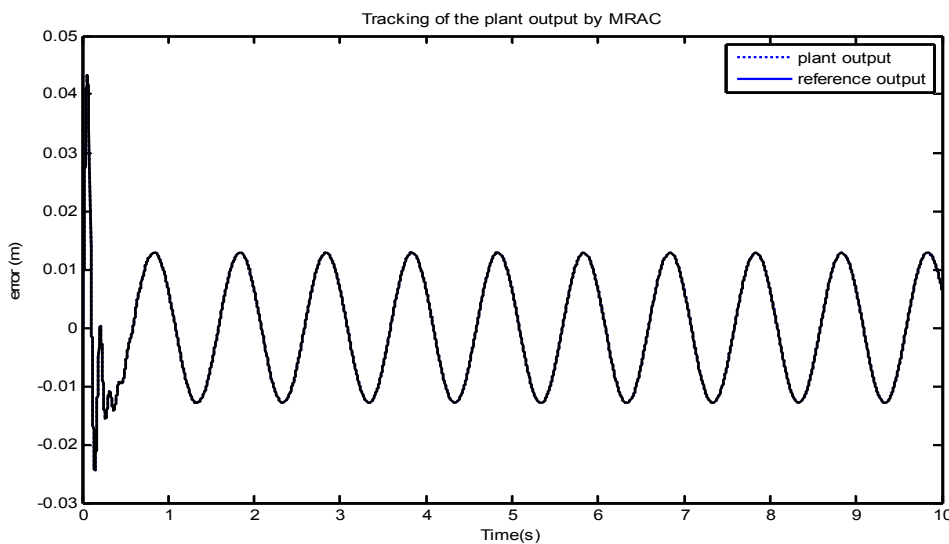
تمام پاسخ های فوق با فرض دقیق بودن مدل محرکه هیدرولیکی و مدل سیستم تعليق، بدون در نظر گرفتن عدم قطعیت می باشند.

۳-۷ شبیه سازی سیستم کنترل با وارد کردن محرکه هیدرولیکی به سیستم حلقه بسته با استفاده از مود لغزشی و در نظر گرفتن عدم قطعیت

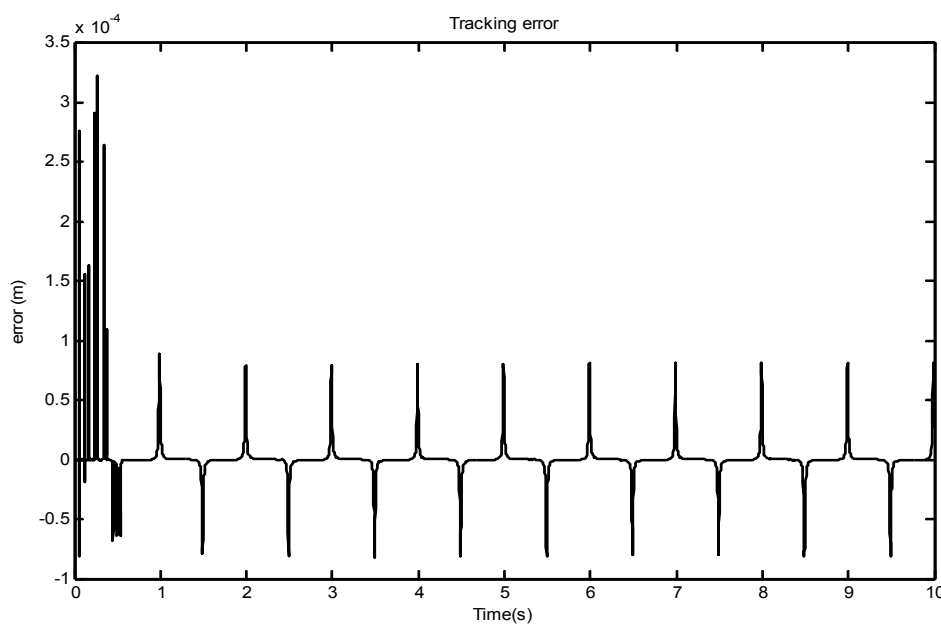
جرم بدنه خودرو و ضریب سختی لاستیک دو پارامتر مهم هستند که تغییرات وسیعی دارند، مثلا جرم خودرو به تعداد سرنشین و سوت آن بستگی دارد. ضریب کمک فنر هم تغییرات مشابه ای دارد. برای نشان دادن عملکرد کاملا موفق کنترل کننده، تغییرات این دو پارامتر به ترتیب ۳۰٪ و ۴۰٪ مقدار آنها و تغییرات ضرایب α , β , γ محرکه نیز ۴۰٪ مقادیر آنها در نظر گرفته شده است. شکل های زیر عملکرد مقاوم و مطلوب ساختار حلقه بسته را در مقابل این تغییرات نشان می دهد.

نتایج شبیه سازی در ادامه آمده است :

در شکل (۱۴-۷) خروجی سیستم و خروجی مطلوب با در نظر گرفتن عدم قطعیت آورده شده، که با توجه به شکل (۱۵-۷) که خطای بین این دو را نشان می‌دهد، می‌توان به توانایی بسیار خوب و سریع سیستم کنترل در ردگیری خروجی مطلوب حتی در حظور عدم قطعیت پی‌برد.

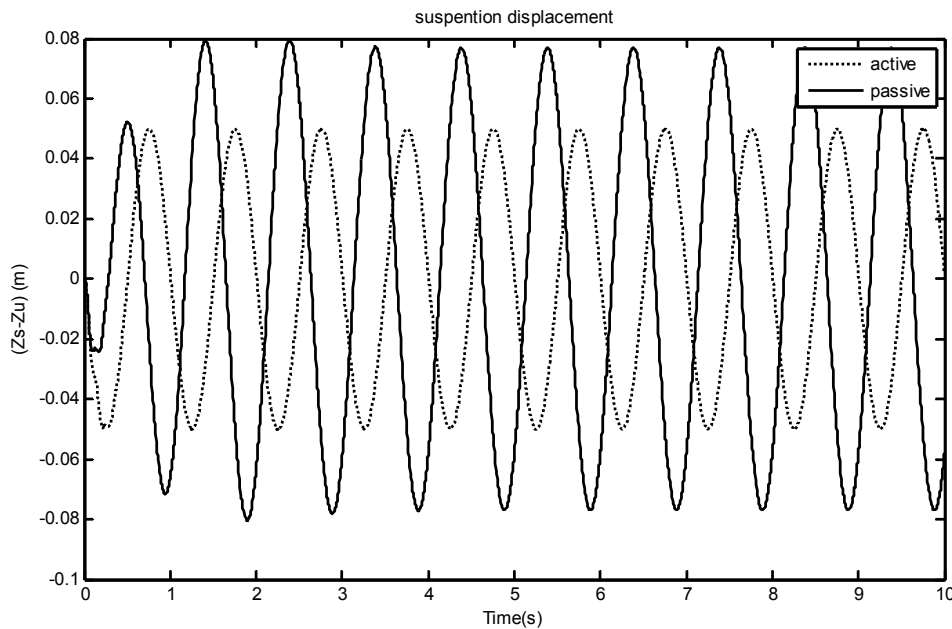


شکل (۱۴-۷): ردگیری خروجی سیستم و خروجی مدل مرجع با عدم قطعیت

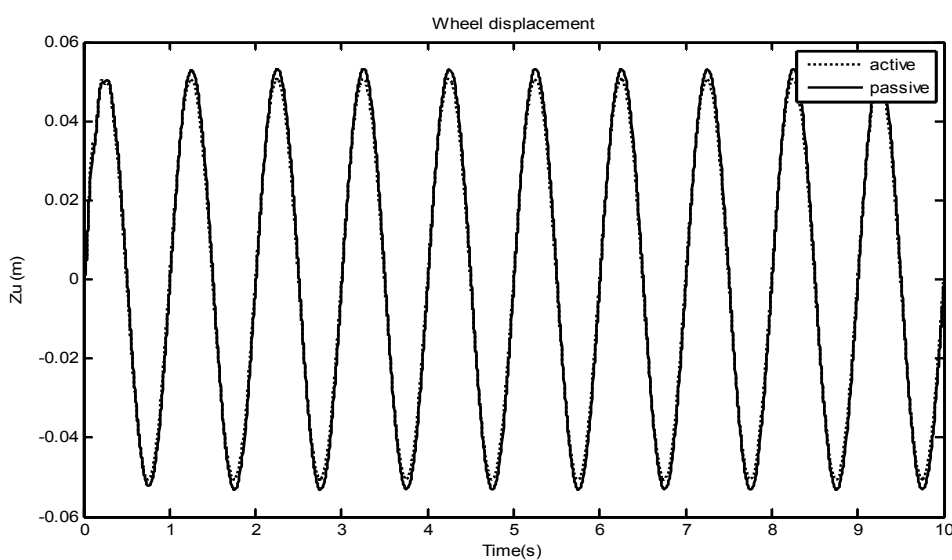


شکل (۱۵-۷): خطای ردگیری با عدم قطعیت

شکل (۱۶-۷) جابجایی سیستم تعليق برای دو حالت فعال و غیر فعال را نشان می دهد. همان گونه که مشاهده می شود در سیستم تعليق فعال با وجود عدم قطعیت نوسان جابجایی کمتر است.

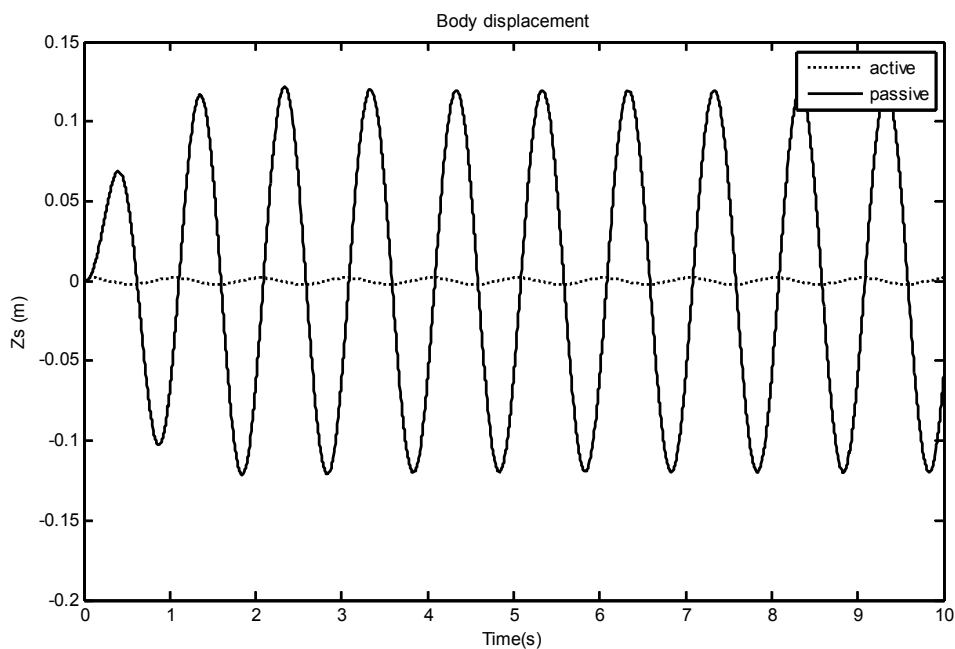


شکل (۱۶-۷): جابجایی سیستم تعليق در حالت فعال و غیر فعال با عدم قطعیت
شکل (۱۷-۷) جابجایی عمودی چرخ در دو حالت فعال و غیر فعال را نشان می دهد. که توانایی سیستم کنترل در حضور عدم قطعیت قابل توجه است.



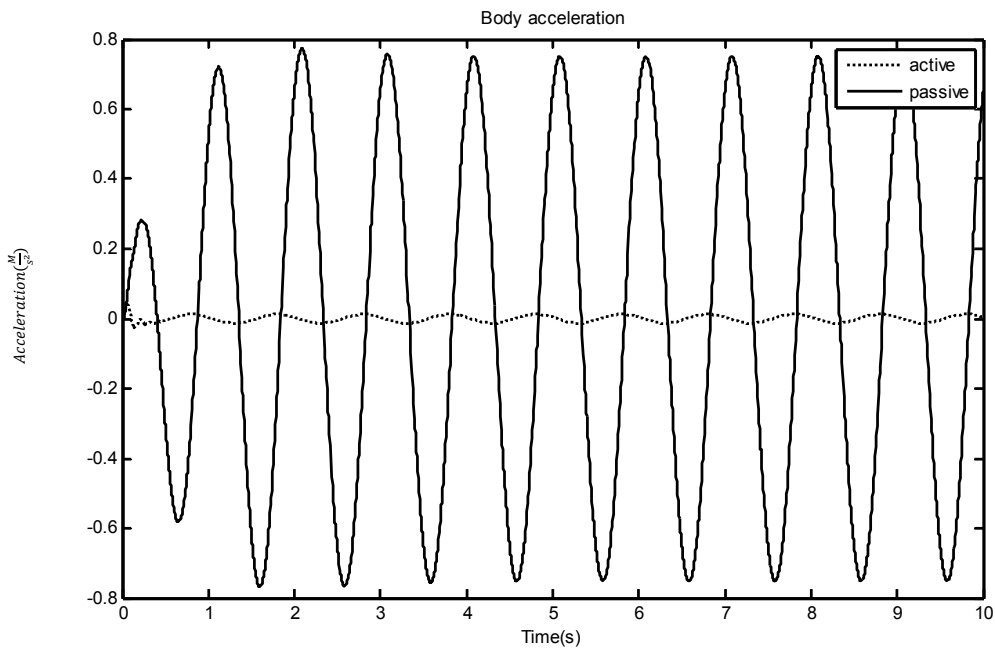
شکل (۱۷-۷): جابجایی چرخ با عدم قطعیت

شکل (۱۸-۷) جابجایی عمودی بدن خودرو (جرم فعال) برای دو حالت تعليق فعال و غير فعال نمایش داده شده که توانایی سیستم تعليق فعال در دفع اغتشاش جاده مشاهده می شود. جابجایی سیستم تعليق غير فعال برای دست انداز جاده در حدود 119m است، در حالی که جابجایی سیستم تعليق فعال در حدود 200m می باشد که بهبودی در حدود 98% را نشان می دهد.



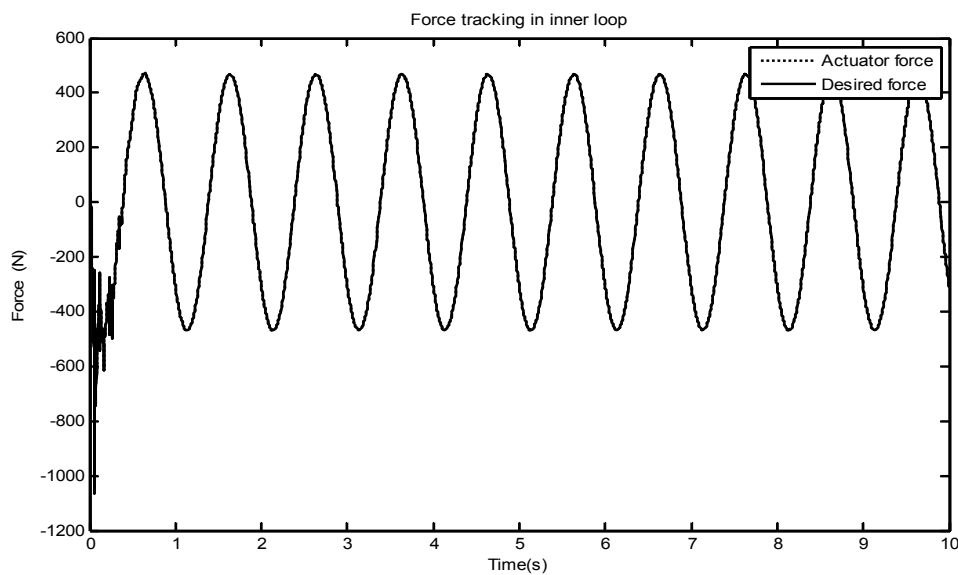
شکل (۱۸-۷): جابجایی بدن با عدم قطعیت

شکل (۱۹-۷) شتاب عمودی بدن برای دو حالت تعليق فعال و غير فعال و توانایی سیستم تعليق فعال در کاهش شتاب عمودی را نشان می دهد. همانگونه که مشاهده می شود شتاب عمودی بدن در حالت تعليق فعال در حدود 12m/s^2 در حالی که شتاب عمودی بدن در حالت تعليق غير فعال در حدود 751m/s^2 می باشد که بهبودی حدود 98% را نشان می دهد.

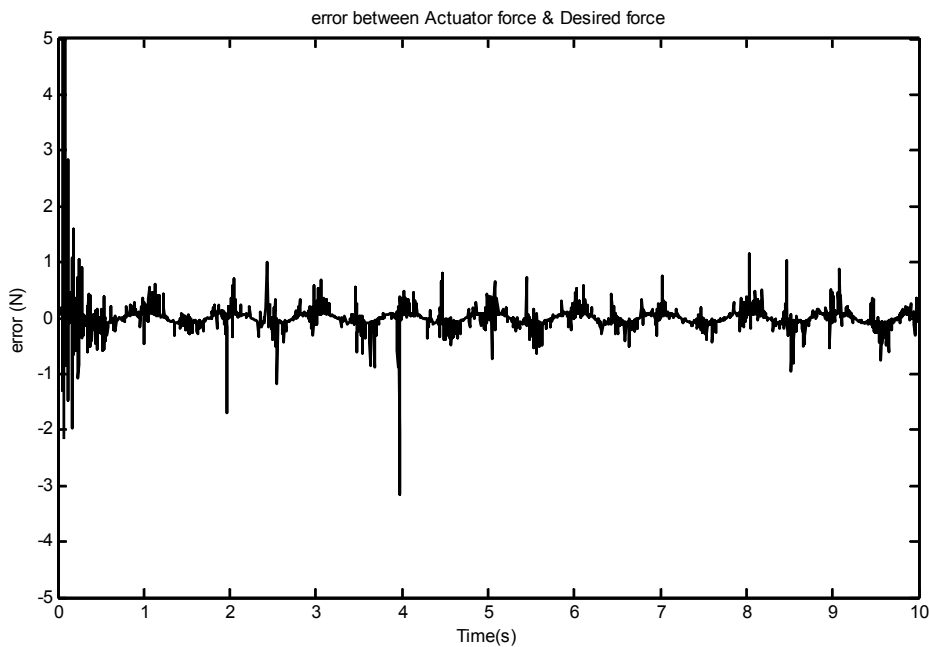


شکل (۱۹-۷): شتاب بدن با عدم قطعیت

شکل (۲۰-۷) نیروی تولیدی توسط محرک هیدرولیکی و نیروی حاصل از کنترل کننده تطبیقی نشان داده شده است و همانطور که مشاهده می شود با توجه به شکل (۲۱-۷) که خطای بین این دو را نشان می دهد، هر دو بر هم منطبق هستند که نشان از ردگیری خوب نیرو در حضور عدم قطعیت دارد.

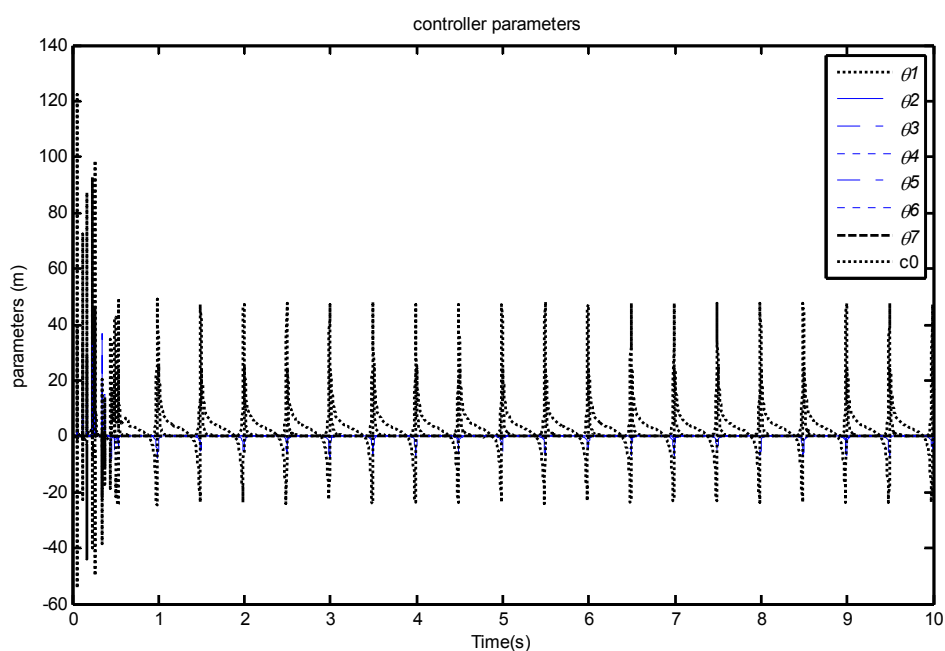


شکل (۲۰-۷): نیروی محاسبه شده مطلوب و نیروی محرکه با عدم قطعیت



شکل (۲۱-۷): خطای ردگیری نیرو با عدم قطعیت

شکل (۲۲-۷) پارامترهای کنترلر را نشان می دهد و همانطور که مشاهده می شود همه پارامترهای کنترلر کراندار هستند.

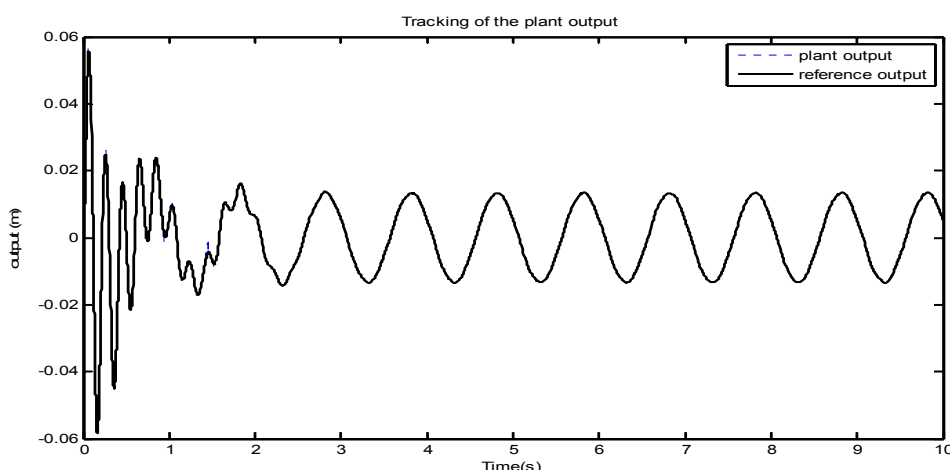


شکل (۲۲-۷): پارامترهای کنترلر با عدم قطعیت

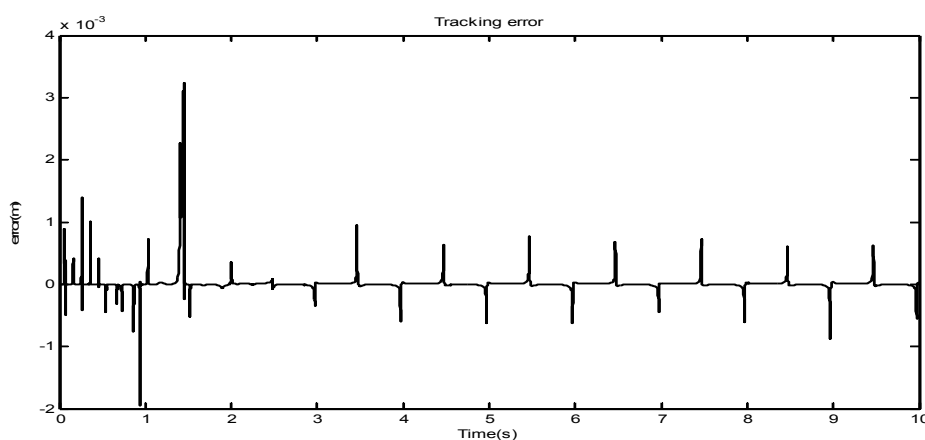
۴-۷ شبیه سازی سیستم کنترل با وارد کردن محرکه هیدرولیکی به سیستم حلقه بسته با استفاده از کننده تناسبی

حال برای مقایسه این روش با روش های دیگر کنترل سیستم تعليق، دینامیک محرک هیدرولیکی را با استفاده از کننده تناسبی وارد سیستم حلقه بسته می کنیم. نتایج شبیه سازی در ادامه آمده است :

در شکل (۲۳-۷) خروجی سیستم و خروجی مطلوب آورده شده، که با توجه به شکل (۲۴-۷) که خطای بین این دو را نشان می دهد، می توان به توانایی خوب سیستم کنترل در ردگیری خروجی مطلوب پی برد.

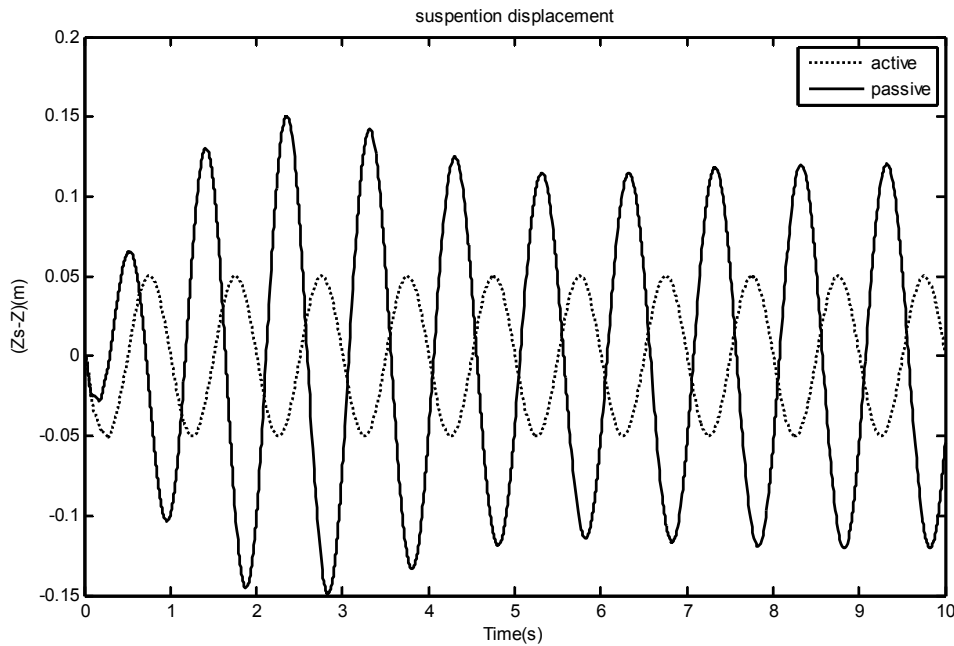


شکل (۲۳-۷): ردگیری خروجی سیستم و خروجی مدل مرجع



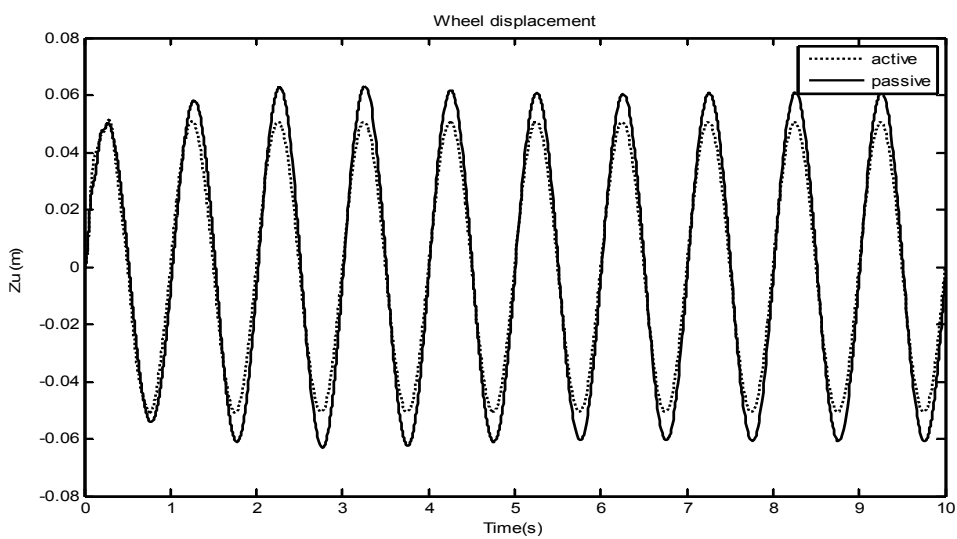
شکل (۲۴-۷): خطای ردگیری

شکل (۲۵-۷) جابجایی سیستم تعليق برای دو حالت فعال و غير فعال را نشان می دهد. همان گونه که مشاهده می شود در سیستم تعليق فعال نوسان به سرعت میرا گردیده است.



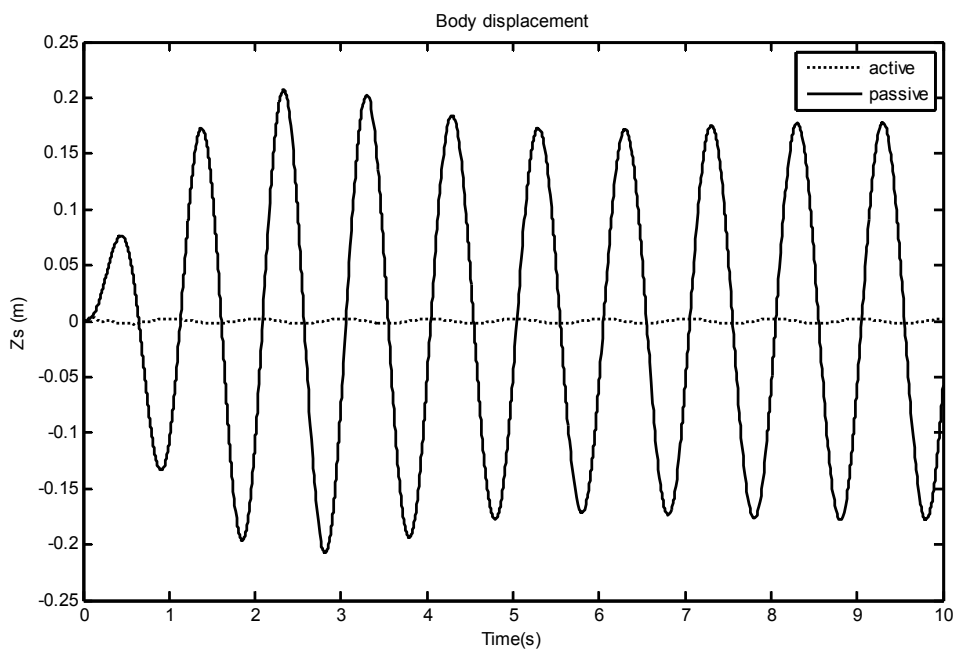
شکل (۲۵-۷): جابجایی سیستم تعليق در حالت فعال و غير فعال

شکل (۲۶-۷) جابجایی عمودی چرخ در دو حالت فعال و غير فعال را نشان می دهد.



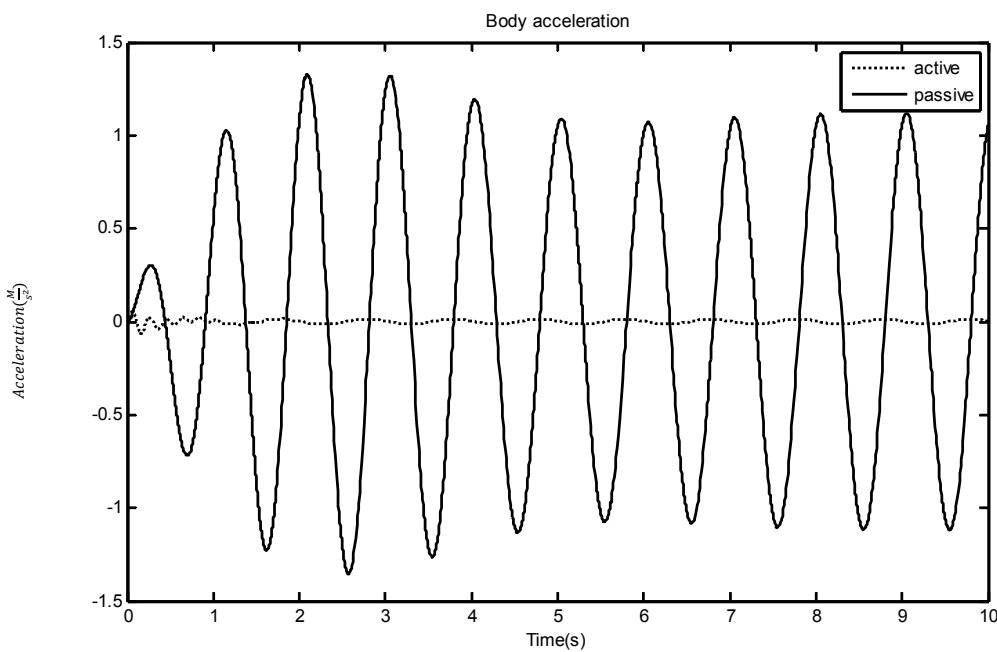
شکل (۲۶-۷): جابجایی چرخ

شکل (۲۷-۷) جابجایی عمودی بدن خودرو (جرم فعال) برای دو حالت تعليق فعال و غير فعال نمایش داده شده که توانایی سیستم تعليق فعال در دفع اغتشاش جاده مشاهده می شود. جابجایی سیستم تعليق غير فعال برای دست انداز جاده در حدود $177m^3$ است، در حالی که جابجایی سیستم تعليق فعال در حدود $0.003m^3$ می باشد که بهبودی در حدود ۹۶٪ را نشان می دهد.



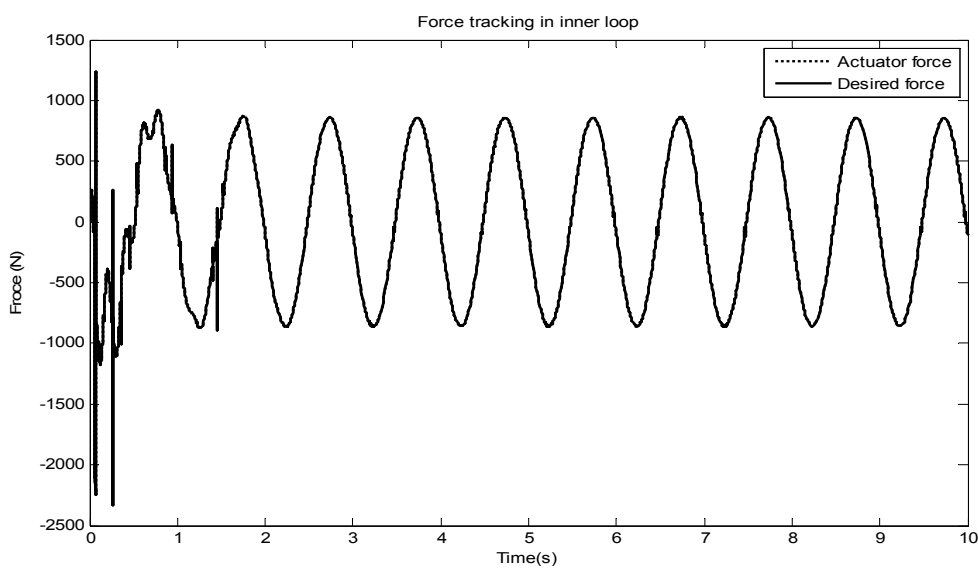
شکل (۲۷-۷): جابجایی بدن

شکل (۲۸-۷) شتاب عمودی بدن برای دو حالت تعليق فعال و غير فعال و توانایی سیستم تعليق فعال در کاهش شتاب عمودی را نشان می دهد. همانگونه که مشاهده می شود شتاب عمودی بدن در حالت تعليق فعال در حدود $14m/s^2$ در حالی که شتاب عمودی بدن در حالت تعليق غير فعال در حدود $1.1m/s^2$ می باشد که بهبودی حدود ۹۸٪ را نشان می دهد.



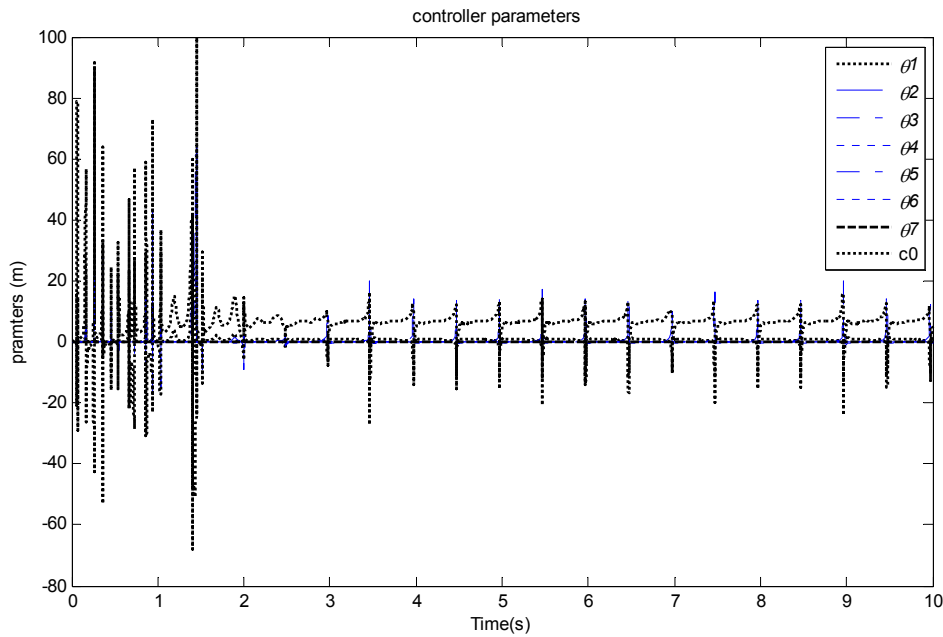
شکل (۲۸-۷): شتاب بدن

شکل (۲۹-۷) نیروی تولیدی توسط محرک هیدرولیکی و نیروی حاصل از کنترل کننده تطبیقی نشان داده شده است و همانطور که مشاهده می شود هر دو کاملاً بر هم منطبق هستند که نشان از ردگیری خوب نیرو دارد.



شکل (۲۹-۷): ردگیری نیرو

شکل (۳۰-۷) پارامترهای کنترلر را نشان می دهد و همانطور که مشاهده می شود همه پارامترهای کنترلر کراندار هستند.



شکل (۳۰-۷): پارامتر های کنترلر

۴-۷ مقایسه روش ها :

همانطور که شبیه سازی ها نشان می دهد در روش دوم چون فقط از یک کنترل کننده تناوبی برای وارد کردن محرکه هیدرولیکی به سیستم حلقه بسته استفاده شده، بنابراین سیستم در مقابل عدم قطعیت های محرکه مقاومت چندانی ندارد. در صورتی که یکی از ویژه گیهای خوب مود لغزشی که در روش اول استفاده شده مقاوم بودنش در مقابل عدم قطعیت هاست. جابجایی و شتاب بدنه در هر دو حالت بسیار خوب است. خطای رد گیری در روش اول کمتر از روش دوم است و بدلیل حذف اختشاش قبل از اعمال کنترل کننده در روش اول، نیروی لازم برای کنترل سیستم از حالت دوم کمتر است.

فصل هشتم:

نتایج و پیشنهادات

۱-۸ نتایج و پیشنهادات

همانطور که در فصل قبل نشان داده شد کنترل تطبیقی مدل مرجع با هدایت سیستم به ردیابی خروجی مرجع که حاصل فیلتر شدن ورودی به وسیله قانون کنترل امپدانس است عملکرد خوبی در کاهش نیروی عمودی وارد بر سرنشین و کاهش انحراف چرخ دارد. به علاوه به دلیل مقاوم بودن سیستم کنترل، سیستم حلقه بسته دارای عملکرد مقاوم و مطلوب در حضور دینامیک غیر خطی محركه هیدرولیکی با پارامتر های متغیر با زمان است. همچنین به دلیل ماهیت متغیر با زمان کنترل کننده سیستم حلقه بسته در مقابل تغییرات زمانی پارامتر های سیستم بخوبی مقاوم است. یعنی این ساختار توانایی دفع هر گونه اغتشاشی را بدون تنظیم دوباره پارامتر های کنترلی دارد. به عبارت دیگر لازم نیست که برای هر نوع اغتشاش پارامتر های کنترلی دوباره تنظیم شوند. سیستم کنترل شامل دو حلقه است، در حلقه داخلی ردیابی و تثبیت نیرو با استفاده از تکنیک مود لغزشی صورت می گیرد و در حلقه خارجی کنترل کننده تطبیقی مقاوم اثر اغتشاش را تضعیف می کند.

برای ادامه این پایان نامه پیشنهاد های زیر ارائه می شود:

۱- استفاده از روش های دیگر کنترل تطبیقی مثل کنترل تطبیقی ساختار متغیر و

رگولاتور های خود تنظیم

۲- استفاده از کنترل هوشمند

۳- پیاده سازی الگوریتم ارائه شده بر روی مدل کامل خودرو

۹- مراجع

[1] اسپانگ و ویدیاساگار، مترجم فاتح محمد مهدی، " کنترل و دینامیک ربات" ، چاپ اول، انتشارات دانشگاه صنعتی شاهروود، ۱۳۸۳

[2] سعید بنجامین نیکو، مترجم فاتح محمد مهدی، "رباتیک تحلیل سیستم ها و کار برد ها" ، چاپ اول، انتشارات دانشگاه صنعتی شاهروود، ۱۳۸۶

[3] مالکی نرگس، "کنترل تطبیقی مرکز سیستم های ارتعاشی" ، پایان نامه کارشناسی ارشد برق-کنترل، دانشگاه خواجه نصیرالدین طوسی، ۱۳۸۶

- [4] J.Y.Wong, "Theory of Ground Vehicle", 3rd Edition John Wiley, 2001.
- [5] H.Chen and S.Huang, "A New Model-free Adaptive Sliding Controller for Active Suspension system", International Journal of Systems Science, Vol.39, No.1, , 57-69, January 2008.
- [6] J.Shan and L.Kanell , "Nonlinear Design of Active Suspensions", Proceeding of the 34th conference on Decision & control New orieans , 60-69, December 1995.
- [7] M.Mihajlov and D.Antic, " Position Control of an electro-hydraulic servo system using sliding mode control enhanced by fuzzy PI controller ", Mechanical Engineering , vol.1, N 9, pp.1217-1230, 2002.
- [8] M.youngho , Ka.C.Cheok, " Model Reference Adaptive Control for Vehicle Active Suspension Systems", IEEE transactions on industrial electronics, vol.38, no.3, june 1990, pp.1220-1230.
- [9] N.maleki, A.Khaki sedigh, Batool.L, " Robust Model Reference Adaptive Control of Active Suspension System", 14th Mediterranean Conference on Control and Automation, June 2006, Page(s):1 – 6
- [10] S.Chantranuwathana and H.Peng , "Practical Adaptive Robust Controllers for Active Suspension", Proceedings of the 2000 ASME International congress and Exposition, Orlando, Florida, 80-84, 2000.
- [11] A.B.Sharkawy, " Fuzzy and Adaptive fuzzy Control for the automobiles' active suspension system", Vehicle system Dynamics , Vol.43, No.11, 759-806, November 2005.

- [12] M.G.sharpetis and F.Koumboulis," Robust Controller Design for Active Hydraulic Suspension",709-715, IEEE 2007.
- [13] D.E.Miller,"Model reference adaptive control for nonminimum phase systems", Elsevier , Control Letters 1995 ,pp.167-176,2006.
- [14] D. Kamnik," Adaptive impedance control of the industrial robot",IEEE/ASME International Conference on Advanced Intelligent Mechatronics .Volume , Issue , 16-20, Jun 1997.
- [15] Y.M.sam and K.Hudha," Modelling and Tracking Control of Hydraulic Actuator for an Active Suspension System"1ST IEEE Conference on Industrial Electronics and Applications, Issue 2006 , Page(s):1 – 6,May 2006.
- [16] Y.Toshio and T.Itaru," Active Suspension Control of a one-wheel carusing single input rule modules fuzzy reasoning and a disturbance observer", Journal of Zhejiang University Science, ISSN 1009-3095, pp.251-256,June 2005.
- [17] C.B.Konik," Intelligent Vehicle Active Suspension Control Using Fuzzy Logic", IFAC World Congress,Sydne,Vol.2,pp.231-236,1993.
- [18] R.S.titli," Design of Active and Semiactive Autmotive Suspension Using Fuzzy logic",IFAC World Congress,Sydne,Vol.2,pp.253-257,1993.
- [19] A.Chamseddine and H.Noura," Sensor Fault-tolerant Control of Active Suspension Using Sliding Mode Techniques", Laboratoire des Sciences de l' information et des systems,50-57,1900.
- [20] P.Chang and C.Huang," Adaptive sliding control of active suspension systems with uncertain hydraulic actuator dynamics", Vehicle system Dynamics ,Vol.44,No.5, 337-368,May 2006.
- [21] N.Holou and D.Sung , "Sliding Model-based Fuzzy Logic Controller for a vehicle Suspension System", Proceeding of the American Control Conference, San Diego, California, 337-368, June 1999.
- [22] M.Sam , "Proportional-Integral Sliding Mode Control of a Quarter Car Active Suspension", Proceeding of IEEE Tencon'02, 340-346,2002.
- [23] X.Shen and H.peng," Analysis of Active Suspension Systems With Hydraulic Actuators", Proceeding of the 2003 IAVSD conference, Atsugi, japan, 37-41,August 2003.
- [24] D.Xuan and J.Wan," A Study on Active Suspension System using Time Delay Control", International Conference on control ,Automation and Systems 2007,oct.17-20,2007.
- [25] V.Wick and C.Yong," Smart Spring: A novel adaptive impedance control approach for active vibration suppression application", National Research Council Canada.On, Canada Kia OR6, 90-95,2005.

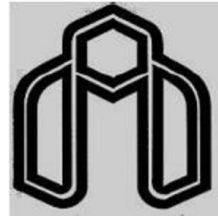
- [26] J.Shan and L.Kanell,"Nonlinear Design of Active Suspensions", IEEE control system magazine, Vol.17, pp.45-49,1997.
- [27] H.Merrit," Hydraulic Control System', John Wiley , 1997.
- [28] S.Jean,"Applied Nonlinear Control",Pentice Hall,1991.
- [29] H.Asada and Slotine, "Robot analysis and control", Johe Wilay and Sons.INC,1900.
- [30] A.Hogan," Stable Execution of contact Tasks Using Impedance Control", Department of Mechanical Engineering And Laboratory For Manufacturing And Productivity MIT,78-84,2001.
- [31] H.Land , " Adaptive Impedance Control of Constrained Robotic", Dep.of Electric and Communication Singapore Poly Technique ,Shanghai,430-435,July 2000.
- [32] J.Liand," Passive Velocity Field Control (PVFC) Approach to Robot Force Control and Counter Fallowing", DEp.of Mechanical Engineering of Minnesota, 23-26, July 2000.
- [33] A.Hace , " Robust Impedance Controls".
- [34] L.E.Molfino," Mechatronic Design of A Parallel Robot For High Speed, Impedance Controlled Manipulation", Proc.of the 11 Mediterranean Conference on Control , 18-20 , June 2003.
- [35]M.M.fateh and S.alavi," Impedance control of an active suspenstion system",Mechatronics journal, ,Esevier ,page 1-7,feburay 2008
- [36] Astrom and B.Wittenmark,"Adaptive control",1998.
- [37] P.loannou and Jing Sun,"Robust Adaptive Control",2003.
- [38] G.Tao,"adaptive conrol Design and analysis",2003.
- [39] G.Tao," Inherent Robustness of MRAC schemes", Elsevier, control Letters 29,1996
- [40] B.Mohan and S.B.Phadke , "Variable Structure Active Suspension System",40-46, IEEE1996.
- [41] M.Rao and A.Hassan," New Adaptive Laws for Model Reference Adaptive Control Using a Non-Quadratic Lyapunov Function", IEEE Melecon ,12-15, May 2004.
- [42] R.Jing and W.Tong Sie," Self Organizing Fuzzy Control of Active Suspension System", International Journal of Systems Science,Vol.36,No.3,20 February 2005.

Abstract

An active suspension system establishes a tradeoff between the comfort and handling which are the two desired goals and however are opposite to each other. The proposed control system includes two loops namely a position control loop and a force control loop. A model reference adaptive control is used in the position control loop for tracking purpose. This controller is robust against varying parameters such as the sprung mass and the stiffness of tire. The reference model which is defined by an impedance rule, relates the displacement of body to the produced force due to road disturbances. The required feedbacks are only the body displacement and body acceleration. The sliding mode method is used in the force control of hydraulic actuator which results in a robust system subject to parametric uncertainties. Comparing this method with proportional control shows that the proposed approach is more robust against parametric uncertainties and produces a less tracking error.

The stability of control system is analyzed and simulation results confirm that the adaptive impedance control of an active suspension system is robust subject to parametric uncertainties with a good performance.

Keywords: Active suspension system, adaptive control, impedance control, sliding mode method.



Shahrood University of Technology

Department of Electrical and Robotic Engineering

Adaptive Impedance Control of an Active Suspension System

A Thesis

*Presented in Partial Fulfillment of the
Requirements for the Master of Science Degree in
Control engineering*

Supervisor:

Professor M.M. Fateh

By:

Majid Moradi

September 2008